



دانشکده علوم زمین
پایان نامه کارشناسی ارشد

عنوان

بررسی پترولوژی و ژئوشیمی گنبدهای ساب ولکانیک منطقه باشتین،
(جنوب غربی سبزوار)

نگارش

حمیده صالحی نژاد

اساتید راهنما

دکتر محمود صادقیان

دکتر حبیب ا... قاسمی

استاد مشاور

دکتر فرج ا. فردوست

بهار ۱۳۸۷

تشکر و قدردانی

سپاس بی کران خدائی را که به من توانائی بخشید تا این تحقیق را به سر منزل مقصود رسانم. اکنون که گرداوری این پایان نامه به پایان رسیده، فرصت را غنیمت شمرده تا از تلاش‌های بی‌شایبه پدر و مادر مهربانم، استاد راهنمای، مشاور و داوران محترم صمیمانه تشکر نمایم.

از استاد راهنمای دکتر محمود صادقیان و دکتر حبیب‌ا... قاسمی که در گرداوری این مجموعه با راهنمایی‌های مشفقاره و پی‌گیرهای مستمر خود اینجانب را یاری کردند تشکر می‌نمایم. از دکتر فرج‌ا... فردوست که در مقام استاد مشاور از نقطه نظرات و راهنمایی‌های سودمندشان بهره جستم و کمکهای بی‌دریغشان شامل اینجانب شد سپاس‌گذاری می‌کنم. از داوران محترم این رساله آقای دکتر حسین مهدی‌زاده شهری و سرکار خانم دکتر آرزو عابدی و که با نکته سنجی این پایان نامه را مطالعه نمودند و نقایص و کاستی‌های آن را گوشزد نمودند تشکر و قدردانی می‌نمایم.

از دوستان عزیزم خانم‌ها الهام شاه‌حسینی، سارا حاج‌ملک، مليحه خاکشور، نسرین زرین‌دست، سهیلا کلوانی، مریم فرهادی، زری بلاغی، زهره فارسی، مهتابش بهمنی و آقایان مشکین و خانعلی‌زاده، و سایر دوستانی که ذکر نامشان در اینجا مقدور نیست تشکر می‌نمایم.

از خانم‌ها ساناز محمدرضاei و وحیده صالحی که در تایپ و تدوین این مجموعه مرا یاری کردند، نهایت تشکر را دارم.

چکیده

منطقه باشتن، با مساحت تقریبی ۱۵۰ کیلومترمربع در غرب سبزوار، در استان خراسان رضوی قرار گرفته است. این منطقه، بخشی از زون افیولیتی سبزوار است. که تعداد زیادی گنبد نیمه عمیق با ترکیب آندزیت تا ریولیت در مجموعه افیولیتی مذکور و سنگهای همراه آنها نفوذ کرده‌اند. قطعاتی از سنگهای میزبان شامل توفهای سیلیستونی، ولکانی کلاستها و هارزبورژیتها به صورت آنکلاو در این گنبدها یافت می‌شوند. حضور حجم زیادی از قطعات تخریبی نشأت گرفته از این گنبدها در کنگلومرها پلیوسن- پلیستوسن و عدم حضور آنها در واحدهای مارنی میوسن نشان می‌دهد که احتمالاً این گنبدهای در مرز زمانی میوسن- پلیوسن در سطح زمین رخنمون یافته‌اند. البته در بخش‌های شمالی‌تر یعنی به سمت نوار آتشفسانی اسفراین- قوچان، گنبدهای ساب ولکانیک با ترکیب مشابه ولی بسیار جوانتر نیز یافت می‌شود که سن آنها حدود ۲ ملی‌یون سال می‌باشد. سنگهای نیمه عمیق یا بیرونی دانه ریز تا دانه متوسط هستند. در برخی موارد این سنگها به قدری دانه ریز هستند که شناسایی اجزاء سازنده آنها با چشم غیرمسلح امکان‌پذیر نیست. سنگهای مورد مطالعه عمدتاً بافت پرفیری، گلومروپرفیری، پرفیری میکرولیتی، پرفیروئیدی و میکروگرانولار نشان می‌دهند. این سنگها همچنین دارای ماهیت متاآلومین بوده و به سری کالک-آلکالن پتاسیم متوسط تا بالا تعلق دارند. روندهای مشاهده شده در نمودارهای ژئوشیمیایی مختلف (نمودارهای هارکر، نمودارهای ضریب تفریق و...)، وقوع فرایند تفریق بلوری ماقمایی را برای تحول سنگهای مورد مطالعه تائید می‌کند. سنگهای مورد نظر دارای ویژگیهای ژئوشیمیایی آداسیتیها هستند و در گروه آداسیتیهای غنی از سیلیس قرار می‌گیرند. بررسیهای پتروزنیکی حاکی از آن است که این سنگها از ذوب بخشی ورقه اقیانوسی فرورونده (متابازیت) در یک زون فرورانش قوسی، از طریق نرخ ذوب متوسط و تبلور تفریقی در شرایط فشار بالا، حاصل شده‌اند. ضمناً ماقمای سازنده سنگهای مورد مطالعه در طی صعود به ترازهای بالاتر پوسته یا جایگزینی در نوار افیولیتی، متحمل فرایندهای تفریق و آلایش ماقمایی (AFC) شده‌اند. حضور آنکلاوهایی از جنس سنگهای میزبان در گنبدهای مورد مطالعه شده، مؤید این امر است.

کلمات کلیدی: پترولوژی، گنبدهای ساب ولکانیک، آداسیت، باشتن، سبزوار.

فهرست مطالب

صفحه	عنوان
الف	تشکر و قدردانی
ب	چکیده
ج	فهرست مطالب
و	فهرست جداول
و	فهرست اشکال

فصل اول: کلیات

۱	۱-۱- مقدمه
۱	۱-۲- موقعیت جغرافیایی
۲	۱-۳- راههای ارتباطی
۳	۴-۱- آب و هوا و جغرافیای انسانی
۴	۵-۱- ژئومورفولوژی
۴	۶-۱- مطالعات قبلی
۵	۷-۱- اهداف مطالعه
۶	۸-۱- روش‌های مطالعاتی

فصل دوم: زمین‌شناسی عمومی

۷	۱-۲- مقدمه
۷	۲-۱- زمین‌شناسی عمومی منطقه
۹	۲-۳- واحدهای سنگی منطقه
۱۱	۳-۱-۲- واحد افیولیتی سبزوار
۱۱	۳-۲- واحد رسوبی- آتشفسانی ائوسن
۱۲	۳-۳-۲- واحد مارنی میوسن
۱۳	۴-۳-۲- سنگهای آذرین اسیدی و حدواسط بعد از ائوسن
۱۶	۴-۳-۲- الف- هاله دگرگونی مجاورتی
۱۷	۴-۳-۲- ب- آنکلاوهای موجود در سنگهای نیمه عمیق
۱۹	۴-۳-۲- ج- دگرسانی در گنبدهای نیمه عمیق

۲۱	۵-۳-۲	- واحد کنگلومراپی پلیوسن
۲۱	۴-۳-۲	- واحد کنگلومراپی پلیوکواترنر
۲۳	۷-۳-۲	- واحدهای سنگی کواترنر
۲۳	۷-۳-۲	- الف- واحد رسوبی کواترنر
۲۳	۷-۳-۲	- ب- واحد آذرین کواترنر
۲۳	۴-۴-۲	- زمین شناسی ساختمانی
۲۴	۱-۴-۲	- بررسی عملکرد گسلها و روند کلی آنها
۲۴	۵-۲	- پتانسیل‌های معدنی (معدن سنگ ساختمانی)
۲۶	۶-۲	- نتیجه‌گیری

فصل سوم: پتروگرافی

۲۸	۱-۳	- مقدمه
۲۸	۲-۳	- ویژگی‌های پتروگرافی سنگ‌های منطقه
۲۸	۱-۲-۳	- ریولیتها
۳۵	۲-۲-۳	- داسیت و تراکی داسیت
۳۸	۳-۲-۳	- آندزیت و تراکی آندزیت
۴۳	۳-۳	- ترتیب تبلور
۴۴	۴-۳	- نتیجه‌گیری

فصل چهارم: ژئوشیمی

۴۶	۱-۴	- مقدمه
۴۶	۲-۴	- آماده‌سازی و تجزیه شیمیایی نمونه‌ها
۴۷	۳-۴	- آماده‌سازی و تصحیح نتایج آنالیز شیمیایی
۵۵	۴-۴	- کاربرد نتایج آنالیز شیمیایی نمونه‌ها در رده‌بندی و نامگذاری آنها
۵۵	۵-۴	- رده‌بندی و نامگذاری سنگ‌های نیمه عمیق
۵۶	۱-۵-۴	- طبقه‌بندی نورماتیو
۵۶	۲-۵-۴	- طبقه‌بندی شیمیایی
۵۸	۴-۶	- بررسی تغییر و تحولات ژئوشیمیایی به کمک نمودارهای تغییرات
۵۹	۱-۶-۴	- نمودارهای هارکر

۶۱	۲-۶-۴ - نمودارهای هارکر برخی عناصر کمیاب
۶۱	۳-۶-۴ - نمودارهای شاخص تفریق
۶۲	۴-۶-۴ - نمودارهای شاخص انجاماد
۶۲	۷-۴ - تعیین سری ماقمایی سنگهای منطقه
۶۸	۸-۴ - نمودارهای عنکبوتی
۷۰	۹-۴ - بررسی ویژگیهای ژئوشیمیایی سنگهای نیمه عمیق
۷۲	۱-۹-۴ - تقسیم‌بندی آداسیت‌ها
۷۴	۱۰-۴ - نتیجه‌گیری

فصل پنجم: پتروژنز و جایگاه تکتونیکی

۷۵	۱-۵ - مقدمه
۷۵	۲-۵ - آداسیت چیست؟
۷۷	۱-۲-۵ - تقسیم‌بندی آداسیت‌ها بر اساس میزان سیلیس
۷۸	۲-۲-۵ - تقسیم‌بندی آداسیت‌ها بر اساس زنز
۸۰	۲-۲-۵ - الف - نمودار La/Yb در مقابل Yb
۸۱	۲-۲-۵ - ب - نمودارهای ژو و همکاران
۸۳	۲-۲-۵ - ج - نمودار Sr/Y در مقابل Y
۸۳	۳-۵ - بررسی نقش هضم، آلایش و تفریق ماقمایی در تحول سنگهای نیمه عمیق مورد مطالعه
۸۴	۴-۵ - بررسی جایگاه تکتونیکی آداسیت‌ها
۸۷	۵-۵ - مدل تکتونیکی برای تشکیل ماقماهای آداسیتی مورد مطالعه
۹۳	۶-۵ - نتیجه‌گیری

فصل ششم: نتیجه‌گیری نهایی و پیشنهادات

۹۴	۱-۶ - نتیجه‌گیری نهایی
۹۵	۲-۶ - پیشنهادات

منابع

۹۶	منابع فارسی
۹۹	منابع لاتین

فهرست جداول

جدول ۱-۲ - فسیلهای شاخص اؤسن یافت شده در سنگهای منطقه مورد مطالعه	۱۲
جدول ۱-۴ - مشخصات و مختصات جغرافیایی محل برداشت نمونه‌های سنگی آنالیز شده بر حسب UTM	۴۸
جدول ۲-۴ - نتایج آنالیز شیمیایی سنگهای نیمه عمیق منطقه باشتن سیزوار	۴۹
جدول ۳-۴ - مقادیر نورماتیو نمونه‌های سنگی مورد مطالعه	۵۳
جدول ۴-۴ - مقایسه ویژگیهای ژئوشیمیایی سنگهای مورد مطالعه با ویژگیهای ژئوشیمیایی مطرح شده توسط کاستیلو	۷۱
جدول ۱-۵ - مقایسه ویژگیهای ژئوشیمی آدکیتها با مآگماهای مشابه	۷۸
جدول ۲-۵ - مقایسه ویژگیهای ژئوشیمیایی آدکیتها مورد مطالعه با دیگر مآگماهای آدکیتی جهان	۹۱

فهرست اشکال

شکل ۱-۱ - نقشه پهنه‌های رسوبی - ساختاری عمدۀ ایران و موقعیت منطقه مورد مطالعه بر روی آن	۲
شکل ۱-۲ - نقشه راههای دسترسی به منطقه مورد مطالعه	۳
شکل ۱-۳ - تصویر ماهواره‌ای Landsat منطقه مورد مطالعه	۳
شکل ۴-۱-الف - تصویری از گنبد ریولیتی ساروق واقع در شمال روستای ساروق	۴
شکل ۴-۱-ب - تصویری از گنبد ریولیتی زردکوهی (دید به سمت شمال شرق)	۴
شکل ۱-۲ - بخشی از نقشه زمین شناسی ۱:۱۰۰۰۰۰ منطقه مورد مطالعه	۹
شکل ۲-۲ - نقشه زمین شناسی ساده و اصلاح شده واحدهای سنگی منطقه مورد مطالعه	۱۰
شکل ۳-۲ - تصویری از گنبد ریولیتی شمال ساروق که در بین مجموعه هارزبورزیتی سرپانتینی شده شمال روستای ساروق	۱۲
شکل ۴-۲ - تصویری از جایگزینی گنبد ریولیتی در بین مجموعه هارزبورزیتی سرپانتینی شده شمال روستای ساروق	۱۲
شکل ۵-۲ - تناوب شیل و ماسه سنگهای اؤسن (جنوب شرق گنبد کلاته‌سادات)	۱۳
شکل ۶-۲ - تناوب شیل و ماسه سنگهای توافقی اؤسن که توسط گدازه‌های بازالتی پوشیده شده و قطع شدگی آن توسط یک دایک دریتی	۱۳
شکل ۷-۲ - قطع شدگی توالی آتشفسانی - تخریبی اؤسن توسط دایک آندزیتی (شمال روستای دهنو)	۱۳
شکل ۸-۲ - نمای نزدیکی از واحد مارنی میوسن و الگوی شاخه درختی آبراهه‌های ایجاد شده در آن (شمال روستای بهانگر)	۱۳
شکل ۹-۲ - گنبد ریولیتی شمال روستای ساروق	۱۵
شکل ۱۰-۲ - گنبد ریولیتی کوه سفید (شمال غرب کلاته‌سادات)	۱۵
شکل ۱۱-۲ - گنبد ریولیتی کلاته‌سادات	۱۵
شکل ۱۲-۲ - توده‌های ریولیتی شمال غرب امامزاده سلطان سید قریش (روستای ساروق)	۱۵

شکل ۱۳-۲	- گندب ریولیتی سفید نهر
شکل ۱۴-۲	- تصویری از هاله دگرگونی مجاورتی تحمل شده بر هارزبورژیتهای سرپانتینی شده (شمال روستای کلاته-سادات)
شکل ۱۵-۲	- تصویر میکروسکوپی منیزیت زایی ناشی از دگرگونی مجاورتی در حد واصل ریولیتها و آنکلاوهای هارزبورژی
شکل ۱۶-۲	- تصویر میکروسکوپی تجمع اکسیدهای آهن در امتداد درز و شکافها
شکل ۱۷-۲ الف	- تصویری از حضور آنکلاوهای هارزبورژیتی در آنذیتهای شمال شرق روستای آبرود
شکل ۱۷-۲ الف	- تصویری از حضور آنکلاوهای هارزبورژیتی در آنذیتهای شمال شرق روستای آبرود
شکل ۱۸-۲	- تصویری از آنکلاوهای توفی - شیلی (گندب ریولیتی کلاته-سادات)
شکل ۱۹-۲	- تصویری از حضور آنکلاوهای توفی - سیلتستونی در سنگهای ریولیتی گندب کلاته-سادات
شکل ۲۰-۲	- تصویر ماهواره‌ای گنبدهای ریولیتی زردکوهی، ساروق، کلاته-سادات، مهر و سفید نهر
شکل ۲۱-۲	- نمونه ریولیتی برداشت شده از معدن گرانیت مهرگان
شکل ۲۲-۲	- نمای نزدیکی از کنگلومرا پلیوسن (شرق روستای ساروق)
شکل ۲۳-۲	- تصویری از کنگلومرا پلیوسن که حاوی مقادیر قابل توجهی قطعات ریولیتی می‌باشد (شمال ساروق)
شکل ۲۴-۲	- تصویری از حضور قطعات دسیمتری ریولیت در کنگلومرا پلیوسن (شمال ساروق)
شکل ۲۵-۲	- تصویری از راندگی کنگلومرا پلیوسن بر روی کنگلومرا پلیوکواترنر در شرق روستای آبرود
شکل ۲۶-۲	- تصویری از راندگی هارزبورژیتهای مجموعه افیولیتی سبزوار بر روی کنگلومرا پلیوسن و راندگی کنگلومرا پلیوسن بر روی کنگلومرا پلیوکواترنر در جنوب شرق روستای آبرود
شکل ۲۷-۲	- تصویری از مخروط افکنهای، تراستهای آبرفتی و رسوبات آبراههای عهد حاضر
شکل ۲۸-۲	- نقشه پراکندگی گسلها در منطقه باشتن، بر اساس نقشه‌های زمین‌شناسی و مشاهدات صورت گرفته
شکل ۲۹-۲	- نمایی از سنگهای ریولیتی معدن دنیا مهرگان واقع در جنوب روستای بهانگر
شکل ۳۰-۲	- دیواره‌های حاصل از برش سنگهای ریولیتی به روش سیم الماسه
شکل ۳۱-۲	- تصویری از چالزنی به منظور تهیه بلوك از سنگهای ریولیتی در معدن گرانیت مهر
شکل ۳-۱	- نمونه ریولیتی برداشت شده از معدن گرانیت مهرگان
شکل ۳-۲	- تصویر میکروسکوپی از حضور سانیدین، پلازیوکلاز و کوارتزهای ریز دانه در ریولیتهای گندب زردکوهی
شکل ۳-۳	- تصویر میکروسکوپی از بافت دانه ریز و جریانی، کوارتزهای ریز فراوان و پلازیوکلازهای مستطیلی شکل در سنگهای ریولیتی روستای مهر
شکل ۳-۴	- تصویر میکروسکوپی از کوارتزهای درشت دارای حاشیه خلیج خوردگی در نمونه ریولیتی گندب زردکوهی
شکل ۳-۵	- تصویر میکروسکوپی از سانیدین کاملاً شکل دار، که آثار دگرسانی به کانیهای رسی در سطح آن مشاهده می‌شود

..... شکل ۳-۶- تصویر میکروسکپی از فنوکریست پلازیوکلاز نیمه شکل دار با ماکل پلی سینتیک در ریولیتهای معدن دنیا مهرگان	۳۳
..... شکل ۳-۷- تصویر میکروسکپی از بافت گلومروپرفیری در نمونه ریولیتی مربوط به معدن دنیا مهرگان	۳۳
..... شکل ۳-۸- تصویر میکروسکپی از دگرسانی و تخریب بیوتیت و هورنبلند به کلریت و کانیهای اوپک در نمونه ریولیتی مربوط به روستای زردکوهی	۳۳
..... شکل ۳-۹- تصویر میکروسکپی از بیوتیتهای رشتہای و پیج و تاب خورده در ریولیتهای گند زردکوهی	۳۴
..... شکل ۳-۱۰- تصویر میکروسکپی از مسکوویت درشت ثانویه که در اثر دگرسانی بیوتیت حاصل شده است	۳۴
..... شکل ۳-۱۱- تصویر میکروسکپی از آنکلاو هارزبورژیتی موجود در ریولیتهای شرق روستای ساروق	۳۴
..... شکل ۳-۱۲- تصویر میکروسکپی از آنکلاو توفی- سیلتستونی در سنگهای ریولیتی روستای کلاته سادات	۳۴
..... شکل ۳-۱۳- تصویر میکروسکوپی از کلریتزایی و کلسیتزرایی در نمونه ریولیتی برداشت شده از معدن گرانیت مهر	۳۴
..... شکل ۳-۱۴- تصویر میکروسکپی از دگرسانی پلازیوکلازها به سریسیت در ریولیتهای روستای مهر	۳۵
..... شکل ۳-۱۵- نمونه داسیتی برداشت شده از روستای کنه	۳۵
..... شکل ۳-۱۶- تصویر میکروسکپی از بافت پرفیری حاصل حضور فنوکریستهای هورنبلندهای تقریباً شکل دار در یک زمینه ریز دانه متشکل از هورنبلند، پلازیوکلاز و کوارتز	۳۵
..... شکل ۳-۱۷- تصویر میکروسکپی از پلازیوکلازهای شکل دار با منطقه بندی ترکیبی در آندزیتهای روستای مقیسه	۳۶
..... شکل ۳-۱۸- تصویر میکروسکپی از فنوکریست هورنبلند حاوی ادخالهایی از مگنتیت و اسفن	۳۶
..... شکل ۳-۱۹- تصویر میکروسکپی از اپیدوتزرایی گسترده در تراکی داسیتلهای روستای کنه	۳۶
..... شکل ۳-۲۰- آنکلاو هارزبورژیتی موجود در آندزیتهای پرفیری شمال شرق روستای آبرود	۳۹
..... شکل ۳-۲۱- تصویر میکروسکپی از بافت پرفیری ناشی از فنوکریستهای هورنبلند و پلازیوکلاز در آندزیتهای پرفیری روستای جلمبادان	۳۹
..... شکل ۳-۲۲- تصویر میکروسکپی از پلازیوکلاز شکل دار دارای منطقه بندی ترکیبی در آندزیتهای پرفیری منطقه آبرود	۴۰
..... شکل ۳-۲۳- تصویر میکروسکپی از وفور هورنبلندهای لوزی شکل با حاشیه سوخته در آندزیتهای روستای جلمبادان	۴۰
..... شکل ۳-۲۴- تصویر میکروسکپی از بافت غربالی در پلازیوکلازهای موجود در نمونه آندزیتی برداشت شده از روستای جلمبادان	۴۰
..... شکل ۳-۲۵- تصویر میکروسکپی از حضور آپاتیت در پلازیوکلازهای موجود در نمونه تراکی آندزیتی روستای کنه	۴۰
..... شکل ۳-۲۶- تصویر میکروسکپی از آندزیتهای پروپیلیتی شده متعلق به شمال شرق روستای آبرود	۴۰
..... شکل ۳-۲۷- تصویر میکروسکپی از کلریتزایی گسترده در آنکلاوهای هارزبورژیتی موجود در آندزیتهای شمال شرق روستای آبرود	۴۰
..... شکل ۳-۲۸- نمایش گرافیکی ترتیب تبلور کانیهای سازنده سنگهای مورد مطالعه	۴۳

شکل ۱-۴- نمودار رده‌بندی سنگهای نیمه عمیق مورد مطالعه با استفاده از ترکیبات نورماتیو و پارامترهای 'Q' و Anor	۵۶
شکل ۲-۴- نمودار طبقه‌بندی سنگهای آتشفشاری (میدلموست)	۵۷
شکل ۳-۴- نمودار طبقه‌بندی سنگهای آتشفشاری (فلوید و وینچستر)	۵۸
شکل ۴-۴- نمودارهای درصد اکسیدهای عناصر اصلی در مقابل SiO_2	۶۳
شکل ۴-۵- نمودارهای عناصر کمیاب در مقابل درصد SiO_2	۶۴
شکل ۴-۶- نمودارهای هارکر مربوط به نمونه‌های نیمه عمیق منطقه مورد مطالعه، همراه با نمونه‌های متعلق به توده‌های نفوذی چاه سالار، ششتند و نامن.	۶۵
شکل ۴-۷- نمودارهای شاخص تفریق در مقابل درصد وزنی اکسیدهای عناصر اصلی	۶۶
شکل ۴-۸- نمودارهای شاخص انجماد در مقابل درصد وزنی اکسیدهای عناصر اصلی	۶۶
شکل ۹-۴- الف- نمودار AFM برای تعیین سری ماگمای سنگهای منطقه	۶۷
شکل ۹-۴- ب- نمودار درصد وزنی K_2O در مقابل SiO_2	۶۷
شکل ۱۰-۴- نمودار A/NK در مقابل A/CNK	۶۷
شکل ۱۱-۴- نمودار عنکبوتی عناصر کمیاب خاکی (REE) هنجار شده به مقادیر متئوریت کندریتی	۷۰
شکل ۱۲-۴- نمودار عنکبوتی چند عنصری هنجار شده نسبت به گوشه‌های اولیه و قدیمی	۷۰
شکل ۱۳-۴- نمودار عنکبوتی چند عنصری هنجار شده نسبت به متئوریت کندریتی	۷۰
شکل ۱۴-۴- نمودار عنکبوتی عناصر کمیاب خاکی (REE) هنجار شده به مقادیر کندریتی که به صورت گروههای سنگی مورد مقایسه قرار گرفته است	۷۰
شکل ۱۵-۴- نمودار نسبت Y/Sr در مقابل Y (ppm)	۷۲
شکل ۱۶-۴- الف- نمودار O/MgO در مقابل SiO_2	۷۳
شکل ۱۶-۴- ب- نمودار Sr در مقابل $\text{Na}_2\text{O} + \text{K}_2\text{O}$	۷۳
شکل ۱-۵- نمودار نسبت La/Yb _N در مقابل La/Yb _N (۱۹۹۵)	۸۰
شکل ۲-۵- نمودار نسبت La/Yb _N در مقابل La/Yb _N (۱۹۹۰)	۸۱
شکل ۳-۵- نمودار SiO ₂ در مقابل نسبت Zr/TiO ₂	۸۲
شکل ۴-۵- نمودار TiO ₂ در مقابل SiO_2	۸۲
شکل ۵-۵- نمودار Yb در مقابل SiO_2	۸۲
شکل ۶-۵- نمودار نسبت FeO/MgO در مقابل SiO_2	۸۲
شکل ۷-۵- نمودار Th در مقابل SiO_2	۸۲
شکل ۸-۵- نمودار Yb در مقابل SiO_2	۸۲
شکل ۹-۵- نمودار نسبت Sr/Y در مقابل Y	۸۳

۸۴.....	شکل ۵-۱۰-۵-الف-نمودار نسبت Rb/Th در مقابل Rb
۸۴.....	شکل ۵-۱۰-۵-ب-نمودار نسبت Rb/Zr در مقابل نسبت K ₂ O/Na ₂ O
۸۷.....	شکل ۵-۱۱-محدوده شرایط دما و فشار لازم برای ذوب ورقه اقیانوسی جوان
۸۸.....	شکل ۵-۱۲-مدل تکتونیکی تشکیل مagmaهای سازنده توodeهای نفوذی چاه سالار، ششتمد، نامن و آدکیتهای مورد مطالعه

۱-۱- مقدمه

منطقه مورد مطالعه که به باشتنی معروف است، در غرب شهر سبزوار واقع شده است و منطقه‌ای به وسعت ۱۵۰ کیلومتر مربع را شامل می‌شود. این منطقه دارای روند کلی شرقی- غربی یا شمال غربی- جنوب شرقی است و عمدتاً نواحی کوهستانی و مرتفع شمال و جنوب جاده شاهروド- سبزوار را دربر می‌گیرد. این منطقه دارای آب و هوای نسبتاً معتدل است و چشمه‌ها و رودخانه‌های فصلی زیادی در آن جاری است. به واسطه وجود آب فراوان، دامداری، باغداری و کشاورزی از رونق خاصی برخوردار است. در ضمن، به واسطه وجود معادن کرومیت، سنگ ساختمانی و سنگ لاسه معدنکاری از رواج نسبتاً خوبی برخوردار است.

منطقه مورد نظر از لحاظ زمین شناسی بخشی از زون ایران مرکزی (آقاباتی، ۱۳۸۳) یا به عبارت دقیق‌تر بخشی از زون سبزوار (علوی، ۱۹۹۱) به حساب می‌آید. سنگ‌های آذرین نفوذی و خروجی بعد از ائوسن که به صورت توده نفوذی، دایک، پلاگ، آپوفیز، گنبد و گهگاه روانه‌های بین‌لایه‌ای ظاهر می‌شوند، دارای ترکیب دیوریت، کوارتزدیوریت، تونالیت گرانودیوریت، گرانیت، آندزیت، تراکی آندزیت، داسیت و ریولیت می‌باشند. سنگ‌هایی با ترکیب بازیکتر نظیر سنگ‌های بازالتی منسوب به کواترنر نیز در محدوده مورد مطالعه یافت می‌شوند. رخنمون این سنگ‌ها در تصاویر ماهواره‌ای به وضوح قابل رديابي است.

۱-۲- موقعیت جغرافیایی

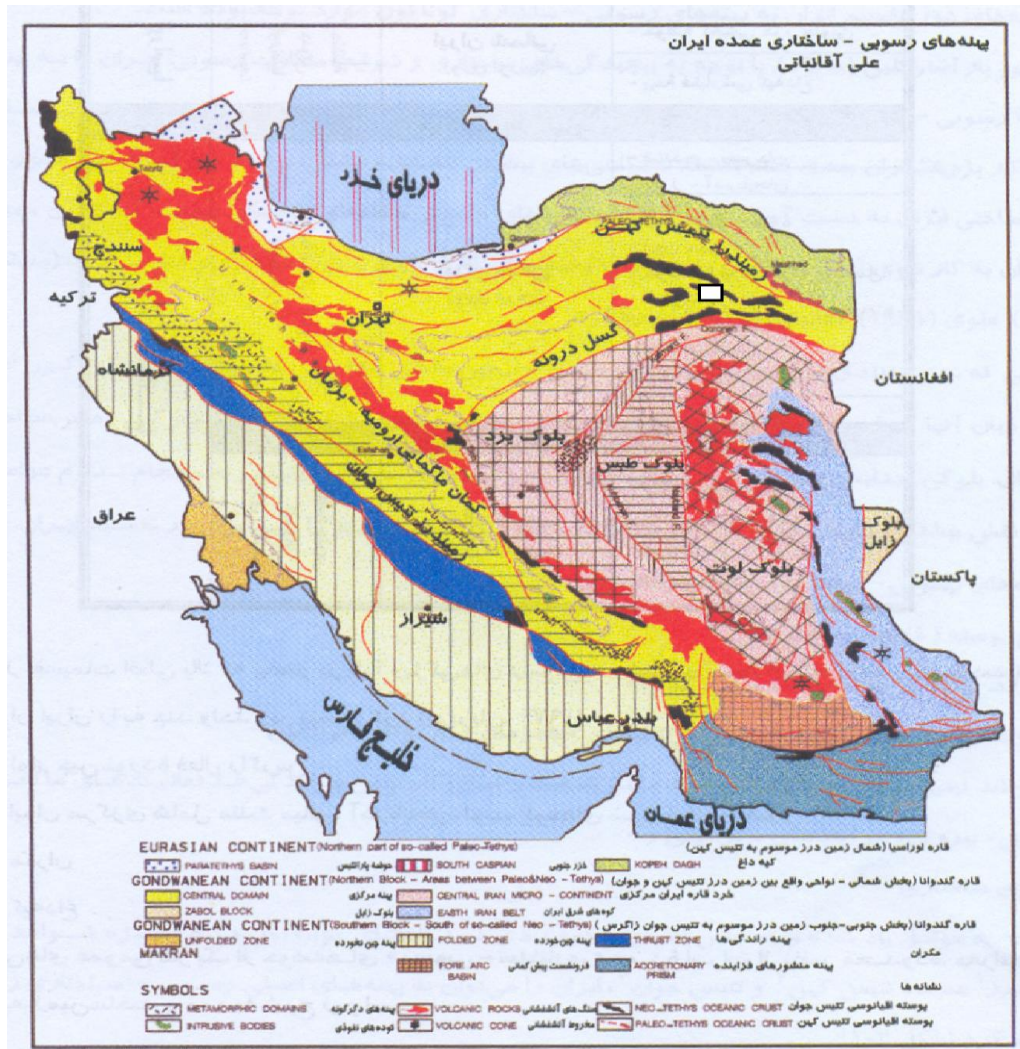
منطقه مورد مطالعه با مختصات جغرافیایی "۳۶° ۴۵' ۳۶° تا ۴۸' ۳۰' طول جغرافیایی شرقی و "۰۰' ۳۰' تا ۳۶° ۷' عرض جغرافیایی شمالی، در غرب شهر سبزوار قرار دارد. این منطقه حدود ۱۵۰ کیلومتر

مربع وسعت دارد و بخشی از زون ایران مرکزی (آقانباتی، ۱۳۸۳) و به عبارت دقیق‌تر بخشی از زون سبزوار (علوی، ۱۹۹۱) به شمار می‌آید (شکل ۱-۱).

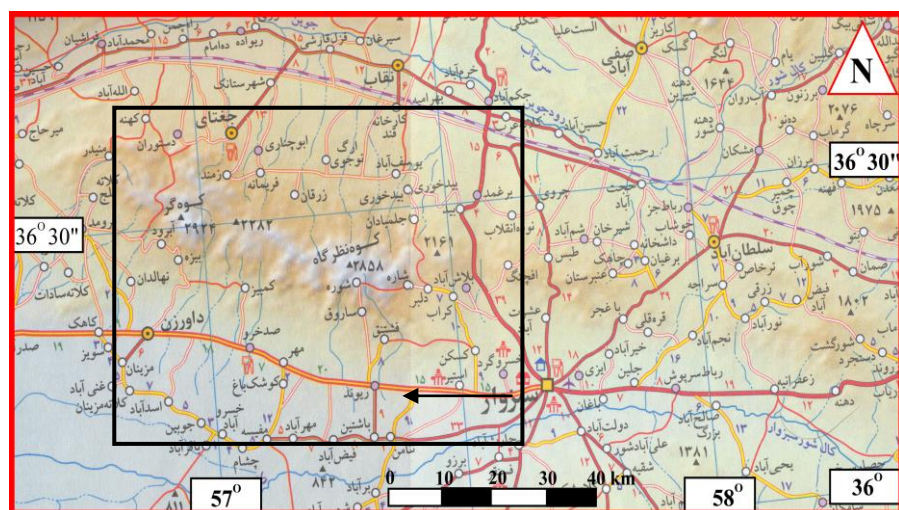
۳-۱- راههای ارتباطی

از طریق جاده سبزوار- داورزن می‌توان به منطقه مورد مطالعه دسترسی پیدا کرد.

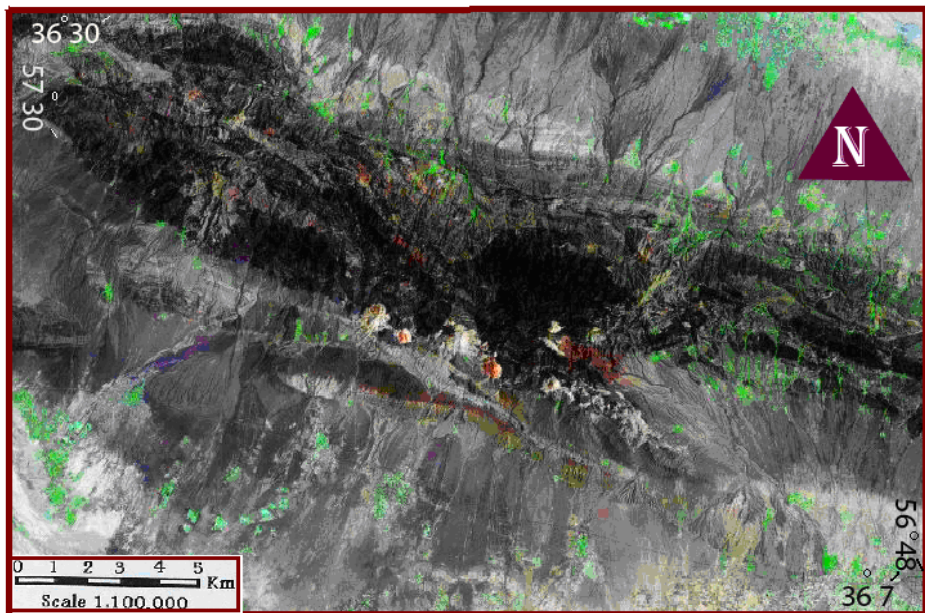
از طریق این جاده می‌توان به روستاهای نوده صرصره، زردکوهی، ساروق، کلاته‌سادات، مهر، آبرود، بیزه و فرومد دسترسی پیدا کرد. در ضمن از همین جاده می‌توان به مناطق جنوبی‌تر، یعنی روستاهای مقیسه، نامن و باشتین دست یافت. عمدۀ راههای ارتباطی منطقه از نوع خاکی- شنی درجه دو می‌باشد (به شکل ۲-۱ نگاه کنید). تصویر ماهواره‌ای منطقه مورد مطالعه در شکل ۳-۱ نشان داده شده است. در این شکل، موقعیت گنبدها با رنگ روشن‌تر مشخص می‌باشد.



شکل ۱-۱- نقشه پهنه‌های رسویی- ساختاری عمدۀ ایران (آقاباتی، ۱۳۸۳). موقعیت منطقه مورد مطالعه بر روی این نقشه با علامت ۱ نشان داده شده است.



شکل ۱-۲- نقشه راههای دسترسی به منطقه مورد مطالعه.



شکل ۱-۳- تصویر ماهواره‌ای Landsat منطقه مورد مطالعه.

۱-۴- آب و هوا و جغرافیای انسانی

این منطقه از لحاظ آب و هوایی، جزء مناطق معتدل کوهستانی به شمار می‌آید و دارای آب و هوای حاشیه کویری با تابستان‌های معتدل و زمستان‌های سرد است. حداقل دما به -۲۰ و حداکثر آن به ۴۵ درجه سانتیگراد می‌رسد. میانگین بارش سالیانه پایین و در حدود ۱۵۰ تا ۲۰۰ میلیمتر در سال می‌باشد. پوشش گیاهی ناحیه مورد مطالعه به بوته‌ها و درختچه‌های کوتاه محدود می‌شود که در مقابل خشکی مقاوم می‌باشند. دامپروری و کشاورزی از مشاغل عمده منطقه می‌باشند. معنیکاری نیز سهمی قابل توجهی از اشتغال مردم را به خود اختصاص داده است.

۱-۵- ژئومورفولوژی

ژئومورفولوژی منطقه متأثر از آب و هوا، جنس سنگها و فعالیتهای تکتونیکی است. بطور کلی محدوده مورد مطالعه مرتفع بوده و گنبدهای نیمه عمیق، بلندترین ارتفاعات منطقه را تشکیل می‌دهند (شکل ۱-۴). اختلاف ارتفاع بلندترین و پست‌ترین بخش منطقه مورد نظر به حدود ۲۰۰۰ متر می‌رسد. کوه گر در

شمال غربی روستای بیزه با ارتفاع ۲۷۰۸ متر بلندترین نقطه منطقه مورد مطالعه می‌باشد. مخروط افکنه‌های کواترنر، رسوبات آبراهه‌ای و پهنه‌های رسی مناطق کم ارتفاع و پست را به خود اختصاص می‌دهند.



ب



الف

شکل ۱-۴- تصاویری از مورفولوژی گنبدهای ساب ولکانیک (نیمه عمیق) مورد مطالعه.

الف- گنبد ریولیتی ساروق واقع در شمال روستای ساروق.

ب- گنبد ریولیتی زردکوهی (دید به سمت شمال شرق).

۱-۶- مطالعات قبلی

افیولیت‌های سبزوار به وسیله محققین متعددی نظیر فورستر (۱۹۶۸)، صدرالدینی (۱۹۷۴)، علوی تهرانی (۱۹۷۵-۱۹۷۶-۱۹۷۷)، نقره‌ئیان (۱۹۸۲)، باروز و همکاران (۱۹۸۳)، شجاعت و همکاران (۲۰۰۳)، فتاحی (۲۰۰۶)، رهگشای و همکاران (۲۰۰۴)، ایدون (۱۳۶۹)، تقوی‌پور و همکاران (۱۳۶۹)، چنانی و همکاران (۱۳۶۹)، بازوبندی (۱۳۷۲)، سودی‌شعار (۱۳۷۵)، ادھمی (۱۳۷۶)، ایزدپناه (۱۳۷۷)، امینی (۱۳۷۸)، حمزه‌پور (۱۳۷۹)، مصلحی (۱۳۸۳) و...، مورد بحث و بررسی قرار گرفته‌اند. سنگهای آذرین بعد از اوسن که در زون افیولیتی سبزوار رخنمون دارند، توسط اکرمی و عسکری (۱۳۷۵)، بهروdi و عمرانی (۱۹۹۹)، حسنی‌پاک (۱۳۷۷)، مجیدی (۱۳۷۸)، بغدادی (۱۳۷۹)، رادفر (۱۳۸۰)، علی‌زاده و همکاران (۱۳۸۱)، قریب و فتوئی (۱۳۸۲) و فارسی (۱۳۸۶) مورد بررسی قرار گرفته‌اند. اما با توجه به اهمیت مطالعه گنبدهای نیمه عمیق، آن طور که شایسته آنهاست مورد توجه جدی قرار نگرفته‌اند. لذا در این تحقیق سعی شده است با نمونه‌برداری گستردگ و دقیق، بررسی روابط صحرایی، مطالعات آزمایشگاهی و آنالیز نمونه‌های سنگی به

بسیاری از سؤالات مطرح شده درباره گنبدهای نیمه عمیق منطقه پاسخ داده شود و به روشن شدن بخشی از مسائل مرتبط با مagmaتیسم سنوزوئیک ایران کمک کنیم.

۱-۷-۱- اهداف مطالعه

این مطالعه به منظور بررسی دقیق ویژگیهای سنگ شناسی و ژئوشیمیایی گنبدهای نیمه عمیق ورقه زمین شناسی ۱:۱۰۰۰۰ باشتن صورت گرفته است. اگرچه تکامل ساختاری و تحولات پترولوزیکی زون افیولیتی سبزوار که یکی از مهمترین زونهای افیولیتی ایران محسوب می‌شود، از دیرباز توجه بسیاری از زمین شناسان را به خود معطوف داشته است، با این وجود تودههای نفوذی و گنبدهای نیمه عمیق بعد از اوسن موجود در آن که از زیباترین پدیدهای زمین شناسی منطقه می‌باشند، کمتر مورد توجه قرار گرفته‌اند و سرنوشت این گنبدها از نظر پتروژئن و موقعیت تکتونیکی مبهم می‌باشد. لذا در این مطالعه، سعی شده است که این گنبدها از نظر روابط صحرایی، پتروگرافی و به خصوص ژئوشیمی مورد مطالعه دقیق قرار گیرند تا بتوان در مورد منشاء، سازوکار تشکیل و تکامل آنها اظهار نظر نمود. این امر ما را در درک تحولات این بخش از ایران مرکزی یاری خواهد کرد. در همین راستا اهداف زیر دنبال گردیده است:

- بررسی روابط صحرایی بین واحدهای سنگی موجود در منطقه از لحاظ سنی و ساختاری.

- بررسی پتروگرافی سنگهای سازنده گنبدهای نیمه عمیق مورد مطالعه و سنگ میزان آنها.

- بررسی ماهیت ژئوشیمیایی سنگهای مورد مطالعه به ویژه از لحاظ عناصر کمیاب و کمیاب خاکی.

- تعیین پتروژئن و جایگاه تکتونیکی رخداد گنبدهای نیمه عمیق مورد مطالعه.

- کمک به تهیه نقشه‌های زمین شناسی و اصلاح نقشه‌های تهیه شده قبلی.

- مطالعه پتانسیل‌های معدنی احتمالی مرتبط با این گنبدها

- نتایج حاصل از این بررسی در مطالعه magmaتیسم سنوزوئیک ایران مرکزی حائز اهمیت است.

۱-۸-۱- روش‌های مطالعاتی

- خرید نقشه‌های زمین شناسی ۱:۱۰۰۰۰۰ (از سازمان زمین شناسی کشور)، نقشه‌های توپوگرافی ۱:۵۰۰۰۰ (از سازمان نقشه‌برداری کشور) و تصاویر ماهواره‌ای منطقه مورد مطالعه (از سازمان فضایی کشور).

- بررسی مطالعات قبلی.
- عملیات صحرایی و نمونه‌برداری از واحدهای سنگی، تهیه مقاطع نازک و انجام آنالیز شیمیایی از نمونه‌های منتخب.
- تجزیه و تحلیل داده‌های ژئوشیمیایی توسط نرم‌افزارهای پترولوزیکی مختلف از جمله GCDkit و Petrograph.
- جمع‌بندی اطلاعات و داده‌های به دست آمده و مقایسه آنها با مناطق مشابه در دیگر نقاط کره زمین.
- جهت دستیابی به اهداف مذکور، منطقه مورد مطالعه در ۶۰ ایستگاه مورد بررسی و نمونه‌برداری قرار گرفت و از نمونه‌های برداشت شده، بیش از ۲۰۰ عدد مقطع نازک تهیه گردید. پس از انجام مطالعات میکروسکوپی، ۲۸ نمونه از واحدهای سنگی منطقه بر اساس تنوع سنگ شناسی آنها انتخاب و جهت آنالیز شیمیایی به آزمایشگاه ACME در کشور کانادا ارسال گردید. نتایج به دست آمده از مشاهدات صحرایی، پتروگرافی و آنالیز نمونه‌ها به روشهای مختلف پردازش و با سایر مناطق مشابه در جهان، مقایسه و مورد تجزیه و تحلیل قرار گرفته است و حاصل تلفیق داده‌ها، مجموعه‌ای است که در حال حاضر تهیه و تدوین شده است.

۱-۲ - مقدمه

منطقه مورد مطالعه در حاشیه شمالی زون ایران مرکزی واقع شده است و بخشی از زون سبزوار را شامل می‌شود (علوی، ۱۹۹۱). این منطقه به لحاظ موقعیت زمین شناسی، از تنوع سنگ شناسی فوق العاده‌ای برخوردار است، لذا توجه زمین شناسان و معدنکاران را به خود معطوف ساخته است و هر یک از دیدگاه

خاصی آن را مورد بحث و بررسی قرار داده‌اند. ولی آنچه کمتر مورد توجه واقع شده و یا توجه کافی به آن مبذول نشده است، سنگهای آذرینی هستند که به صورت توده‌های نفوذی، نیمه عمیق و به شکل باتولیت، استوک، گنبد و دایک رخنمون پیدا کرده‌اند. با توجه به بررسیهای انجام گرفته مشخص گردید که سنگهای آذرین خروجی و نفوذی بعد از ائوسن در بین سنگهای میزان افیولیتی کرتاسه- پالئوسن، سنگهای آتشفسانی و آتشفسانی- رسوبی ائوسن، مارنها و ماسه‌سنگهای میوسن و حتی کنگلومراپلیستوسن نفوذ کرده‌اند. سنگهای آذرین مورد مطالعه عمدتاً به صورت گنبد، توده‌های نفوذی عمیق و نیمه عمیق، دایک یا آپوفیز ظاهر شده‌اند و دارای ترکیب ریولیت، داسیت، تراکی‌داسیت، آندزیت و تراکی‌آندزیت و یا معادلهای درونی آنها می‌باشند. در این فصل سعی می‌کنیم با توجه به ترتیب سنی واحدهای سنگی میزان و سنگهای آذرین مورد مطالعه، ویژگیهای صحرایی آنها را مورد بحث و بررسی قرار دهیم.

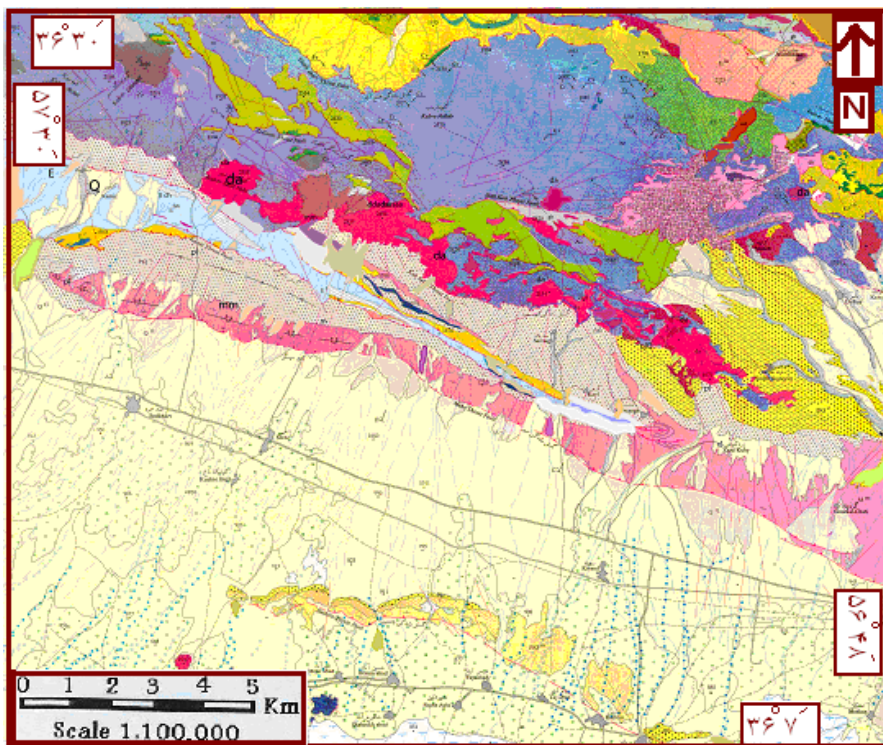
۲-۲- زمین شناسی عمومی منطقه

بر اساس مطالعات صورت گرفته توسط اسپایس و همکاران (۱۹۸۰)، حدود ۸۰ میلیون سال قبل حوضه اقیانوسی فعالی در منطقه سبزوار وجود داشته، که در فاصله کرتاسه تا اوایل ترشیری بسته شده است. در ائوسن انباسته‌های آتشفسانی- رسوبی ائوسن را بر جای گذاشته شده است. حرکات کوهزایی ائوسن پایانی- الیگوسن سبب تغییر رژیم دریایی ائوسن به قاره‌ای شده و پس از آن، فعالیتهای آتشفسانی (فاز کوهزایی پیرینه) در مرز زمانی الیگوسن- میوسن و حتی بعد از آن موجب پیدایش ولکانیسم حد بواسطه تا اسیدی شده که در این منطقه به صورت توده‌های نفوذی، گنبدهای نیمه عمیق یا دایک تجلی پیدا کرده است. در خارج از منطقه مورد مطالعه (به سمت شمال شرق و به سمت قوچان)، توده‌های سابولکانیک متعددی وجود دارد که از لحاظ مکانیسم کلی تشکیل، با توده‌های سابولکانیک مورد مطالعه شباخت دارند. این توده‌ها نسبت به توده‌های آذرینی که در منطقه مورد مطالعه قرار دارند، جوانتر می‌باشند و سن آنها حتی به ۱ تا ۲ میلیون سال می‌رسد. در میوسن حوضه‌های رسوبی پراکنده‌ای از جمله کنگلومرا، ماسه سنگ و مارن نهشته شده است. کوهزایی آلپی پسین موجب چین‌خوردگی ملایم نهشته‌های میوسن شده است. پیشروی دریا در ایران مرکزی در اوائل پلیوسن به این منطقه رسیده و موجب بر جای نهاده شدن کنگلومرا، مارن، گچ، به طور ناپیوسته بر روی مجموعه سنگهای کهن‌تر شده است. حرکات کوهزایی آلپی پسین در دگرشیبی بین کنگلومراپلیوسن و مارن‌های میوسن مشهود است که احتمالاً در اثر رویداد زمین ساختی آتکین صورت گرفته است. به دنبال آن نهشته‌های آواری- قاره‌ای پلیوسن به گونه‌ای پیشرونده بر روی این واحدهای

چین خورده قرار می‌گیرند. حرکات کوهزایی بعد از پلیوسن در اوائل کواترنر موجب چین خورده‌گی نهشته‌های پلیوسن و دگرشیبی در قاعده تشکیلات کواترنر شده است و منطقه شکل پایانی و امروزی خود را به دست آورده است. در شکل ۱-۲ بخشی از نقشه زمین‌شناسی ۱:۱۰۰۰۰۰ باشتین و داورزن را که منطقه مورد مطالعه را دربر می‌گیرد، مشاهده می‌کنید. نقشه زمین‌شناسی منطقه مورد مطالعه بر مبنای نقشه‌های زمین‌شناسی ۱:۱۰۰۰۰ باشتین و داورزن، برداشت‌های صحرایی و نتایج جدید بدست آمده، اصلاح و به صورت

خلاصه توسط نرم‌افزار

Adobe Illustrator بازسازی و ترسیم گردیده، که در شکل ۲-۲ نشان داده شده است.



شکل ۱-۲- بخشی از نقشه زمین‌شناسی ۱:۱۰۰۰۰ باشتین، که منطقه مورد مطالعه را دربر می‌گیرد (بهروزی و عمرانی، ۱۹۹۹).

۳-۲- واحدهای سنگی منطقه

واحدهای سنگی موجود در منطقه مورد مطالعه، شامل موارد ذیل است:

- واحد افیولیتی

- واحد آتشفشاری - رسوبی ائوسن (E^{rs})

- واحد مارنی میوسن (Mm)

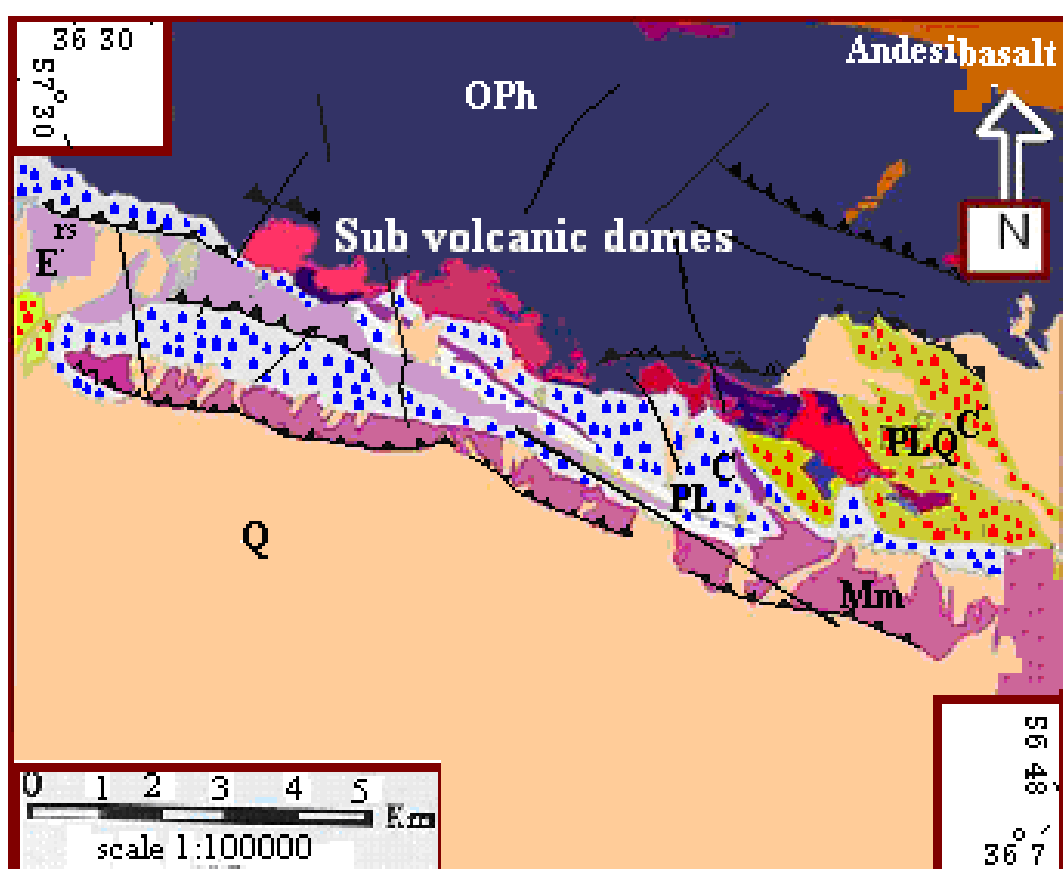
- سنگهای آذرین اسیدی و حدوداً سطح بعد از ائوسن (گنبدهای نیمه عمیق)

- کنگلومرای پلیوسن (PI^c)

- کنگلومرای پلیوکواترنر (PIQ^c)

- واحدهای سنگی کواترنری (رسوبات آبرفتی عهد حاضر)

نقشه تفکیک واحدهای مذکور در شکل ۲-۲ آمده است.



SYSTEM	SERIES	SYMBOL	DESCRIPTION
QUATERNARY	QUATERNARY		Andesibasalt
	PLIO-QUATERNARY		Q : Alluvial
TERTIARY	PLIOCENE		PLQ ^C Conglomerate
	MIOCENE		PL ^C Conglomerate
	POST EOCENE		Mm : Marl and Sandstone
	EOCENE		Sub volcanic domes E ^{IS} Lava and volcanosedimentary rocks
CERETACEOUS			Ophiolite
			Main fault
			Thrust fault

شکل ۲-۲- نقشه زمین شناسی ساده و اصلاح شده واحدهای سنگی منطقه مورد مطالعه.

۲-۳-۱- واحد افیولیتی سبزوار

مجموعه افیولیتی سبزوار به سن کرتاسه پایانی - پالئوسن دارای تنوع سنگ شناسی زیادی می‌باشد و سنگهای هارزبورژیتی سرپانتینی شده، دونیت سرپانتینی شده، گابروهای لایه‌ای، دایکهای ورقه‌ای، بازلتهای بالشی و گهگاه اسپلیتی شده، لیستوینیت و سنگهای سیلیسی قرمز رنگ رسوبی (چرت‌های قرمز نواری)، سنگهای آهکی قرمز رنگ و آهکهای خاکستری پلازیک را شامل می‌شود. قطعاتی از مجموعه افیولیتی در سنگهای آندزیتی به صورت آنکلاو به دام افتاده‌اند. مجموعه افیولیتی سبزوار دارای اندیس‌هایی از کرومیت، منیزیت، ترکیبات مس‌دار و طلا می‌باشد. این مجموعه در اثر جابجایی و راندگی، به هم ریختگی پیدا کرده و اکثر واحدهای سنگی آن دارای کنتاكت گسله می‌باشند. این مجموعه افیولیتی در برخی نقاط توسط سنگهای نیمه عمیق اسیدی تا حد واسط پس از ائوسن قطع شده است (به شکلهای ۳-۲ و ۴-۲ نگاه کنید).

۲-۳-۲- مجموعه آتشفسانی- رسوبی ائوسن

مجموعه ائوسن، سنگهایی از قبیل توف ماسه‌سنگی، توف شیلی، گدازه‌های داسیتی، آندزیتی و بازالتی را شامل می‌شود. این مجموعه هم ارز سازند کرج می‌باشد و دارای رخساره‌های آتشفسانی و رسوبی متنوعی از جمله آگلومرا، لیتیک توف می‌باشد. این سنگها توسط تعدادی گنبد و دایکهای ریولیتی تا آندزیتی و به

ندرت بازالتی قطع شده‌اند (به شکلهای ۲-۵ تا ۷ نگاه کنید). برخی از واحدهای آهکی متعلق به این مجموعه دارای فسیلهای شاخص دوره ائوسن می‌باشد. برخی از فسیلهای یافت شده در این واحد آهکی، در جدول ۱-۲ ارائه شده‌اند.

جدول ۱-۲- فسیلهای شاخص ائوسن که در واحد آهکی منطقه مورد مطالعه یافت شده‌اند.

Echinoids spin	Nummulites globulus milioids	Nummulites sp textularids.	Piscocyclina Sp
Assilina sp	Cuvilierina	Aleolina sp	potalidasp

۳-۲- واحد مارنی میوسن

واحد مارنی میوسن متشکل از مارنهای قرمز رنگ حاوی مقادیری زیپس با ضخامت و گسترش قابل توجه، در جنوب نوار افیولیتی و در حد فاصل داورزن- سیزووار رخمنون دارد. این واحد که در نقشه ۱:۱۰۰۰۰۰ باشتنی و شکل ۲-۲ با نماد Mm نشان داده شده است، به علت قابلیت فرسایش‌پذیری زیاد، دارای آبراهه‌های زیاد با الگوی شاخه درختی و دندانه دندانه می‌باشد. واحد موردنظر معادل سازند قرمز فوکانی است و در برخی نقاط به صورت یک واحد برگشته معرفی شده است (شمال مهر و شمال کلاته‌سادات). در منطقه سرولایت از توابع قوچان قطعاتی از این سنگهای مارنی به صورت آنکلاوهای زینولیتی توسط گدازه‌های آندزیتی به دام افتاده‌اند. در برخی از این آنکلاوهای دگرگونی تحمیل شده بر آنکلاوهای مارنی تا حد تشکیل کردیزیت پیش رفته است (فتاحی، ۲۰۰۳).



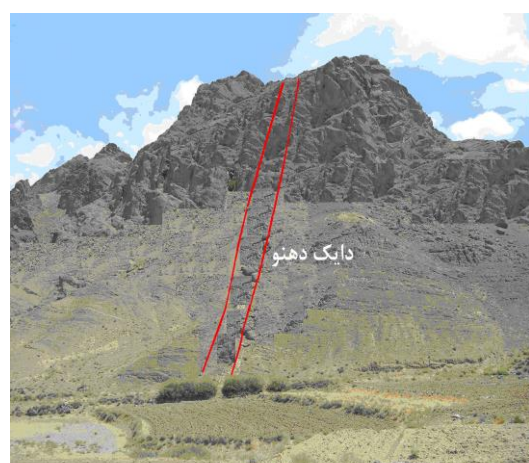
شکل ۲-۴-۵- تصویری از جایگزینی گنبد ریولیتی در بین مجموعه هارزبورزیتی سرپانتینی شده شمال روستای ساروق (دید به سمت شمال غرب).

شکل ۲-۳-۶- تصویری از گنبد ریولیتی شمال ساروق که در بین مجموعه افیولیتی نفوذ کرده است (دید به سمت شمال غرب).



شکل ۲-۶- تناوب شیل و ماسه سنگهای انوسن (جنوب شرق گنبد کلاله)- گدارهای بازالتی پوشیده شده و همچنین توسط یک دایک دریتی قطع شده است (جنوب شرق گنبد کلاله سادات، دید به سمت شمال).

شکل ۲-۵- تناوب شیل و ماسه سنگهای انوسن (جنوب شرق گنبد کلاله)- سادات).



شکل ۷-۲- قطعه شدگی توالی آتشفسانی- تخریبی ائوسن توسط دایک شکل ۸-۲- نمای نزدیکی از واحد مارنی میوسن و الگوی شاخه درختی آبراهه‌های ایجاد شده در آن (شمال روستای بهانگر). آندزیتی (شمال روستای دهنو، دید به سمت شمال).

۴-۳-۲- سنگهای آذرین اسیدی و حدواسط بعد از ائوسن

با توجه به بررسیهای انجام گرفته مشخص گردید که سنگهای آذرین خروجی و نفوذی بعد از ائوسن در بین سنگهای میزبان افیولیتی کرتاسه- پالئوسن، آتشفسانی و آتشفسانی- رسوبی ائوسن، مارنها و ماسه سنگهای میوسن و حتی کنگلومراپلیستوسن نفوذ کرده‌اند. سنگهای آذرین مورد مطالعه عمده‌تاً به صورت گنبد، توده‌های نفوذی عمیق و نیمه عمیق، دایک یا آپوفیز ظاهر شده‌اند. رنگ گنبدها از سفید تا خاکستری مایل به صورتی متغیر است و دارای ترکیب ریولیت، داسیت، تراکی داسیت، آندزیت و تراکی آندزیت می‌باشند. این گنبدها با امتداد شمال غربی- جنوب شرقی به گونه‌ای آشکار، سنگهای هارزبورژیتی وابسته به مجموعه افیولیتی سبزوار را قطع کرده‌اند. به تنوع مکانی و مورفولوژی مرتفع این گنبدها در شکلهای ۹-۲ تا ۱۳-۲ توجه کنید. در اثر جایگزینی این گنبدها در بین سنگهای هارزبورژیتی میزبان، در برخی نقاط هاله دگرگونی مجاورتی کم عرضی در محل تماس آنها دیده می‌شود که با تغییر و تحولات کانی شناسی عمدہ‌ای همراه است (شکل ۲-۱۴). با توجه به مطالعات صحرایی صورت گرفته سن سنگهای نیمه عمیق رخمنون یافته در منطقه مورد مطالعه، احتمالاً جوانتر از میوسن و قدیمی‌تر از پلیوسن می‌باشد. حضور قطعات ریولیتی گنبدهای نیمه عمیق در کنگلومراپلیوسن و عدم حضور قطعات تخریبی ناشی از این گنبدها در واحدهای سنگی- رسوبی قدیمی‌تر یعنی در مارن‌های قرمز میوسن یا توالی‌های آتشفسانی- رسوبی ائوسن تأییدی بر این مدعای است. البته در محور آتشفسانی اسفراین- قوچان، سنگهای مشابه جوانتر نیز یافت می‌شوند. سنگهای آذرین نیمه عمیق- در مجموع دانه ریز تا دانه متوسط هستند. در برخی موارد شناسایی اجزاء سازنده سنگ با چشم غیرمسلح تقریباً امکان‌پذیر نیست. در مقاطع نازک نیز عمده‌تاً بافت پورفیری، گلومروپورفیری، پورفیری جریانی، پرفیروئیدی و میکروگرانولار نشان می‌دهند و دارای آنکلاوهایی از هارزبورژیتها، بازالتها، ولکانی‌کلاستها، مارن و ماسه سنگها می‌باشند. بخش عمدہ‌ای از سنگهایی که دارای ترکیب آندزیت، تراکی آندزیت، داسیت و تراکی داسیت هستند، دارای میزبانی از سنگهای آتشفسانی و آتشفسانی- رسوبی با سن ائوسن می‌باشند. این سنگها دارای ظاهری بسیار ریز دانه و رنگ غالباً کرم تا کرم متمایل به خاکستری یا قهوه‌ای می‌باشند. این سنگها غالباً در محدوده شمالی مورد مطالعه نظیر جنوب غرب

شهر جفتای و حول و حوش روستاهای دستوران، حطیطه، نوده انقلاب، بید، طبس و ... رخمنون دارند. سنگهایی با ترکیبات مشابه بصورت گنبد یا مخروطهای آتشفشاری در حد فاصل اسفراین- قوچان رخمنون دارند که با توجه به تعیین سن‌های انجام شده (اسپایس و همکاران، ۱۹۸۳ و قاسمی، ۱۳۸۳) بسیار جوان هستند و حتی سن آنها به ۲ تا ۳ میلیون نیز می‌رسد. قطع شدن کنگلومرای پلیستوسن توسط گنبد داسیتی- آندزیتی مؤید این امر است.



شکل ۱۰-۲- گبید ریولیتی کوه سفید، شمال غرب کلاته‌سادات.



شکل ۹-۲- گبید ریولیتی شمال روستای ساروق.



شکل ۱۲-۲- توده‌های ریولیتی شمال غرب امامزاده سلطان سید قریش در شمال روستای ساروق.



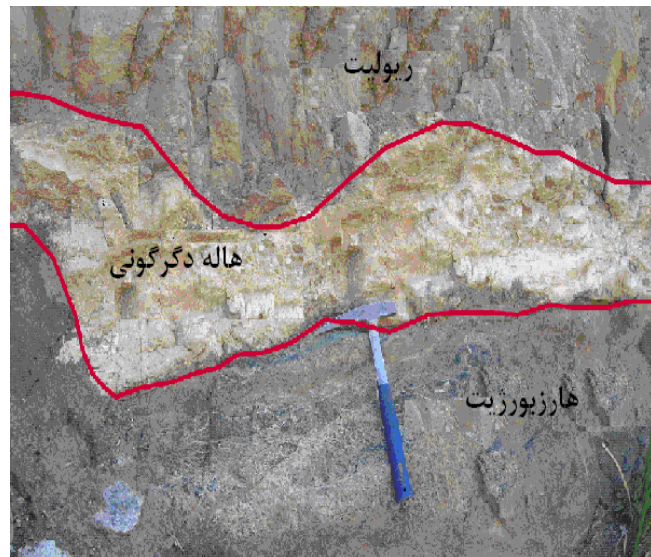
شکل ۱۱-۲- گنبد ریولیتی کلاته‌سادات.



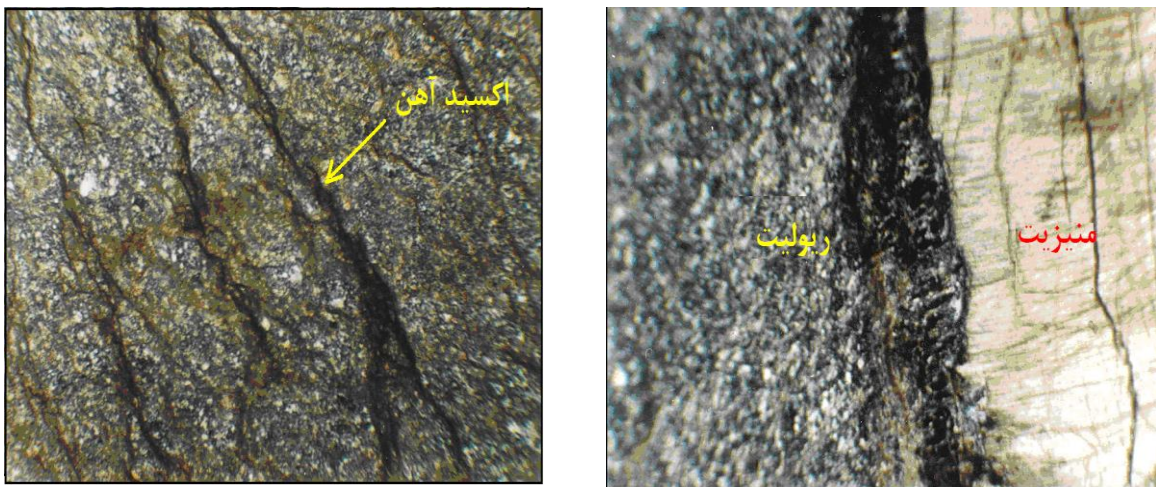
شکل ۱۳-۲ - گند ریولیتی سفید نهر.

۴-۳-۲-الف- هاله دگرگونی مجاورتی

در مرز تماس بین هارزبورژیتهای شمال کلاتهسادات و سنگهای نیمه عمیق محدوده‌ای به عرض ۳۰ تا ۱۰۰ سانتیمتر در سنگهای هارزبورژیتی با تغییر رنگ شدیدی مشاهده می‌شود، به طوری که رنگ سنگهای هارزبورژیتی از سبز تیره به سفید مایل به کرم تغییر پیدا کرده است (شکل ۱۴-۲). بررسی پتروگرافی زون تحول یافته نشان می‌دهد که در اثر وجود سیالات غنی از CO_2 ، کانیهای منیزیم‌دار از جمله الیوین و پیروکسن به منیزیت تبدیل گردیده‌اند. بدین صورت که، منیزیم موجود در شبکه الیوین و پیروکسن با محلولهای حاوی CO_2 واکنش داده و منیزیت ساخته‌اند (شکل ۱۵-۲). آهن اضافی نیز به صورت اکسیدهای آهن‌دار در امتداد درز و شکافها تجمع یافته است (شکل ۱۶-۲). سیلیس مازاد بر انجام این واکنش نیز به صورت دانه‌های ریز کوارتز در متن این سنگها مشاهده می‌شود.



شکل ۱۴-۲ - تصویری از هاله دگرگونی مجاورتی (بخش سفید رنگ وسط تصویر) تحمیل شده بر هارزبورژیتهای سرپانتینی شده در شمال روستای کلاتهسادات.



شکل ۱۵-۲- تصویر میکروسکوپی منیزیت زای ناشی از دگرگونی درز و شکافها (XPL، بزرگنمایی ۴۰ برابر) در حد و اصل ریولیتها و آنکلاوهای هارزبورزیتی (XPL، بزرگنمایی ۴۰ برابر).

۲-۳-۴- ب- آنکلاوهای موجود در سنگهای نیمه عمیق

گنبدهای نیمه عمیق در برخی نقاط قطعاتی از سنگ میزانهای هارزبورزیتی خود را به صورت آنکلاو دربر گرفته‌اند (شکلهای ۱۷-۲- الف و ۱۷-۲- ب). دسته دیگری از آنکلاوهای که احتمالاً از واحدهای سنگی آتشفسانی و آتشفسانی- تخریبی ایوسن نشأت گرفته‌اند و اندازه آنها حداقل به ۴ سانتیمتر می‌رسد، دارای ماهیت توفی- سیلتسنونی و توفی- شیلی هستند (شکلهای ۱۸-۲ و ۱۹-۲). فراوانی و اندازه این آنکلاوهای در نقاط مختلف گندها متفاوت است. هر دو نوع آنکلاو ذکر شده در طی اقامت خود در مagma‌های سازنده گندهای مورد مطالعه، تحولات عمدی را متحمل شده‌اند که شامل منیزیتی، کلریتی و سرپانتینی شدن می‌باشد.

ترکیب آنکلاوهای موجود در سنگهای نیمه عمیق منطقه باشتن، اغلب توفی- سیلتسنونی، توفی- شیلی و هارزبورزیتی می‌باشد، اما آنکلاوهای پیروکسنیتی نیز ندرتاً در این سنگها یافت می‌شوند. در ادامه به شرح خصوصیات ماکروسکوپی آنکلاوهای مشاهده شده می‌پردازیم:

- رنگ

رنگ آنکلاوهای موجود در سنگهای منطقه با توجه به ترکیب سنگها متنوع بوده و از تیره و قهوهای در آنکلاوهای هارزبورژیتی تا قهوهای کم رنگ و سبز در آنکلاوهای توفی و توفی-سیلتستونی متغیر است.

- مورفولوژی

آنکلاوهای موجود در سنگهای منطقه مورد مطالعه غالباً زاویدار و نیمه گرد شده می‌باشند. این آنکلاوها، زینولیت‌هایی از سنگ میزبان هستند که توسط ماقمای سازنده گنبدها در خلال صعود و جایگزینی کنده و بالا آورده شده‌اند.

- فراوانی و اندازه

آنکلاوهای توفی-سیلتستونی به صورت لکه‌های سبز رنگ فراوان در اغلب ریولیت‌های منطقه یافت می‌شوند. اندازه این آنکلاوها از چند میلیمتر تا حدود ۳ سانتیمتر متغیر است. آنکلاوهای هارزبوریتی نیز اغلب در آندزیتها و ریولیت‌های منطقه به اندازه‌های درشت (تا حدود ۲۰ سانتیمتر) یافت می‌شوند. این آنکلاوها شواهدی از دگرگونی و دگرسانی را در خود نشان می‌دهند (شکل ۲-۱۷-ب).

- شکل مرز تماس

سطح تماس آنکلاوها با سنگ میزبان بارز (شارپ) و مشخص است. با توجه به شواهد صحرایی موجود در منطقه، این آنکلاوها زینولیت‌هایی از سنگ میزبان (هارزبورژیت‌های مربوط به مجموعه افیولیتی و توفهای اثوسن) هستند، که توسط ماقمای سازنده گنبدها در خلال صعود و جایگزینی کنده شده و به بالا آورده شده‌اند. بنابراین حضور این آنکلاوها، انجام و قوع فرایند آلایش ماقمایی در حین صعود ماقما به ترازهای بالاتر پوسته را تأیید می‌کند.



ب



الف

شکل ۱۷-۲- تصاویری از حضور آنکلاوهای هارزبورژیتی سرپانتینی شده در آندزیتهای پرفیری شمال شرق روستای آبرود.



شکل ۱۹-۲- تصویری از حضور آنکلاوهای توفی-شیلی (گنبد ریولیتی در سنگهای ریولیتی گنبد کلاته‌سادات. اندازه آنکلاوها در حدود ۱ سانتیمتر می‌باشد.

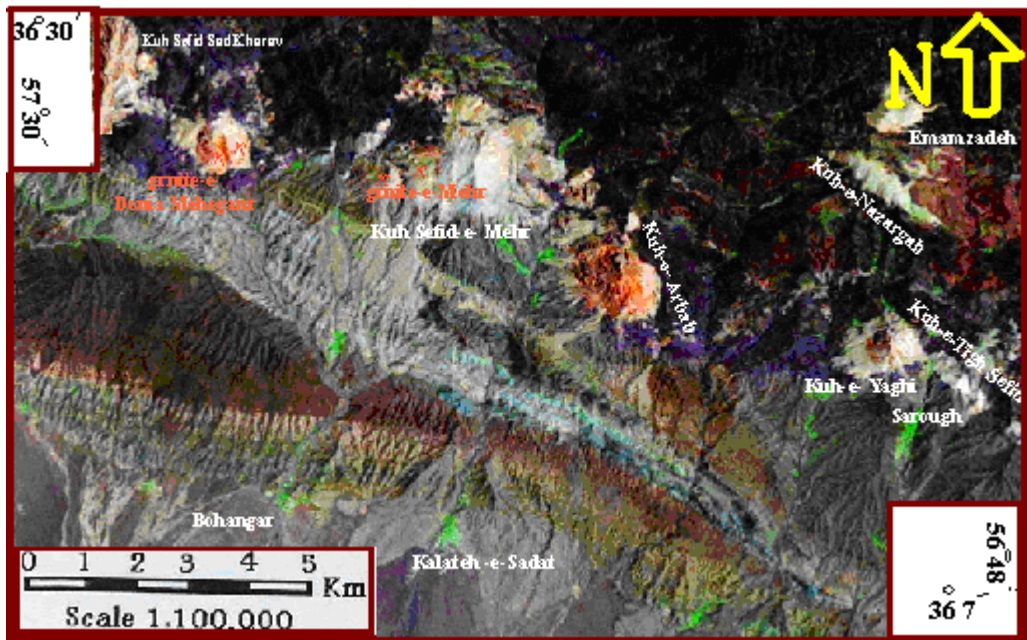


شکل ۱۸-۲- تصویری از آنکلاوهای توفی-شیلی (گنبد ریولیتی کلاته‌سادات). به حضور قابل توجه و آرایش‌یافتنگی این آنکلاوها که متأثر از جریانات ماقمایی می‌باشد، توجه نمایید.

۴-۳-۲- ج- دگرسانی در گنبدهای نیمه عمیق

تعدادی از گنبدهای نیمه عمیق، نظیر گنبد کلاته‌سادات، کوه‌سفید و صدخر، نسبت به دیگر گنبدها، دگرسانی قابل توجهی را متحمل شده‌اند. در منطقه مورد مطالعه دگرسانی پروپیلیتی در سنگهای آندزیتی مشاهده می‌شود. دیگر سنگهای منطقه، از جمله ریولیت‌ها و داسیت‌ها نیز از دگرسانی مصون نمانده و تحت دگرسانی آرزیلیتی قرار گرفته‌اند. آثار دگرسانی به صورت لکه‌های سبز رنگ مت Shank از کلریت و اپیدوت

ظاهر شده‌اند (شکل ۲۱-۲). ضمناً در مقاطع نازک این سنگها نیز آثار دگرسانی آرژیلیتی به صورت سریسيتی شدن و کائولينيتی شدن فلدسپارها و تولید مسکوویت ثانویه از بیویتها مشاهده می‌شود. با توجه به تصاویر ماهواره‌ای در برخی گنبدها به ویژه گنبد ریولیتی کلاته‌سادات تغییر رنگ شدیدی به صورت آجری رنگ شدن مشاهده می‌شود که با شدت دگرسانی در این گنبد متناسب می‌باشد. این وضعیت در شکل ۲۰-۲ نشان داده شده است.



شکل ۲۰-۲- تصویر ماهواره‌ای گنبدی ریولیتی زردکوهی، ساروق، کلاته‌سادات، مهر و سفید نهر (به ترتیب از شرق به غرب) (طول تصویر ۴۰ کیلومتر).



شکل ۲۱-۲- نمونه ریولیتی برداشت شده از معدن گرانیت مهرگان. آثار دگرسانی پرفیرهای بیویت به کلریت به صورت لکه‌های سبز رنگ مشاهده می‌شود.

۳-۵-۵- واحد کنگلومرا بی پلیوسن

در بخش جنوبی ارتفاعات منطقه باشتنی واحد نسبتاً گسترده و ضخیمی از کنگلومرا وجود دارد که بر روی واحد مارنی میوسن قرار گرفته است (این واحد در نقشه ۱:۱۰۰۰۰ باشتنی با نماد PIQ^C نشان داده شده است). این واحد رسوبی در برخی نقاط به صورت دیواره‌های قائمی مشاهده می‌شود (شکل ۲۲-۲).

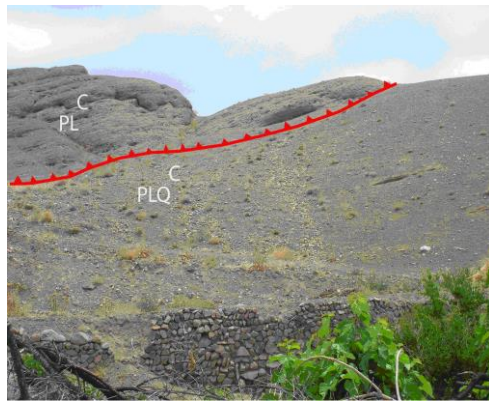
این واحد عمدتاً از قطعات تخریبی سنگهای قدیمی‌تر از جمله سنگهای وابسته به مجموعه افیولیتی، سنگهای رسوبی-آتشفسانی ائوسن و گنبدهای ریولیتی تشکیل شده است. رنگ این کنگلومرا بسته به فراوانی قطعات ساب ولکانیک موجود در آن از کرم تا سفید متغیر است (شکل ۲۳-۲). جورشدگی و گردشگی در این کنگلومرا متوسط تا ضعیف بوده و قطعات عمدتاً زاویه‌دار هستند. اندازه قطعات ریولیتی در برخی موارد به بیش از یک متر می‌رسد (شکل ۲۴-۲). ارتباط این واحد با واحدهای جوانتر، هماهنگ ولی ناپیوسته است. در برخی نقاط سنگهای هارزبورژیتی دارای سن کرتاسه-پالئوسن بر روی این واحد کنگلومرا ای رانده شده است (شکل ۲۶-۲).

۳-۶- واحد کنگلومرا ای پلیوکواترنر

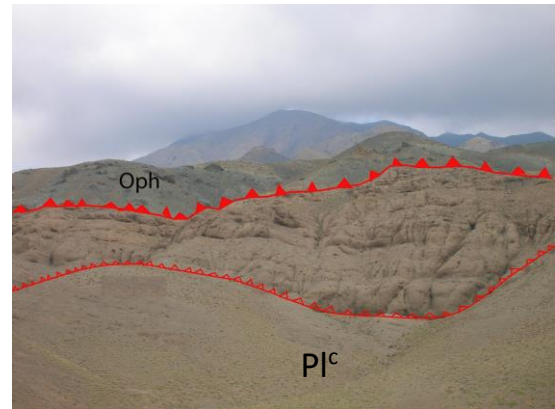
این واحد تخریبی، کنگلومرا ای سست و دارای جورشدگی ضعیف است و شیب بسیار ملایمی در حدود ۵ تا ۱۰ درجه) به سمت شمال و شرق دارد. این کنگلومرا که در نقشه ۱:۱۰۰۰۰ باشتنی با نماد PIQ^C نشان داده شده است، نسبت به کنگلومرا پلیوسن از ضخامت کمتری برخوردار است. ضمناً نسبت به کنگلومرا پلیوسن دانه ریزتر بوده و از شیب کمتری نیز برخوردار است. این واحد به طور دگرشیب کنگلومرا پلیوسن را می‌پوشاند (این دگرشیبی در شمال روستای کیف و کوه وجهه مشاهده می‌شود). همچنین راندگی کنگلومرا پلیوسن بر روی کنگلومرا پلیوکواترنر در برخی نقاط از جمله جنوب شرق روستای آبرود مشاهده می‌شود (شکهای ۲۵-۲ و ۲۶-۲).



شکل ۲-۲۳-۲- تصویری از کنگلومرای پلیوسن (شرق روستای توجهی قطعات ریولیتی می‌باشد (شمال ساروق). ساروق).



شکل ۲-۲۵-۲- تصویری از راندگی کنگلومرای پلیوسن (PI^c) بر روی کنگلومرای پلیوکواتربر (PIQ^c) در شرق روستای آبرود.



PIQ^c

شکل ۲-۲۶- تصویری از راندگی هارزبورژیتهای مجموعه افیولیتی شکل ۲-۲۷- تصویری از مخروط افکنهای، تراسهای آبرفتی و سبزوار بر روی کنگلومراپلیوسن و راندگی کنگلومراپلیوسن بر رسوبات آبراههای عهد حاضر، که محیط مساعدی را برای کشت و کار و تمرکز روستاها فراهم آورده است.

۷-۳-۲- واحدهای سنگی کواترنر

جوانترین رسوبات که مربوط به عهد حاضر میباشند، به صورت مخروط افکنه، تراسهای آبرفتی و رسوبات آبراههای رخنمون دارند و بیشتر موارد محیط مساعدی برای کشت و کار یا تمرکز و تشکیل روستاها فراهم ساخته است (شکل ۲-۲۷).

۷-۳-۲- الف- واحدهای رسوی

رسویات آبرفتی- دشتی، رسویات رودخانهای، جوانترین واحدهای زمین شناسی منطقه هستند که عمدتاً در دشتها و مناطق پست رخنمون دارند.

۷-۳-۲- ب- واحد آذرین کواترنر

در حول و حوش روستاهای مقیسه و نامن سنگهای بازالتی جوان رخنمون دارند. بر اساس نقشه زمین شناسی باشتنی این سنگهای بازالتی به کواترنر تعلق دارند، ولی تعیین سن دقیقی از آنها در دست نیست. این سنگها دارای رنگ سیاه و بسیار دانه ریز هستند و در مقاطع میکروسکپی بازالتها حاوی اوزیت و پلاژیوکلاز (از نوع لابرادوریت) میباشند.

۴-۲- زمین شناسی ساختمانی

فعالیت‌های تکتونیکی منطقه به صورت گسل خوردگی، شکستگی و چین خوردگی میباشند. گسلهای راندگی با روند شمال غربی- جنوب شرقی از مهمترین عناصر ساختاری منطقه هستند. جوانترین گسلش مربوط به کواترنر بوده که احتمالاً از نظر زمین ساختی در عهد حاضر نیز فعال بوده است. جابجایی آبراههای در چند نقطه مشاهده شده است که حاکی از عملکرد جدید و چپگرد گسلهای اصلی منطقه میباشد (مجیدی، ۱۳۷۸). شکستگی‌های متعددی با روند شمالی- جنوبی یا شمال غرب- جنوب شرق نیز در منطقه وجود دارند که امکان تعیین جابجایی و روند حرکتی آنها میسر نیست.

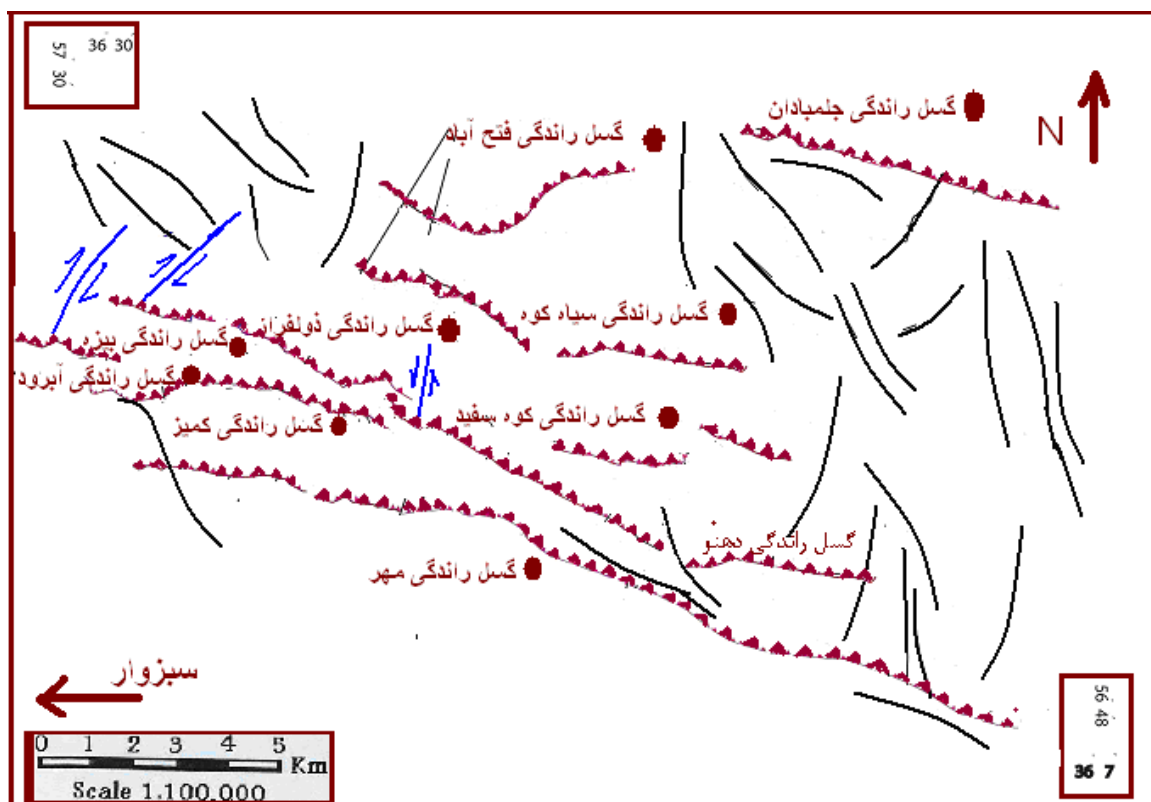
۱-۴-۲- بررسی عملکرد گسلهای و روند کلی آنها

گسلهای راندگی با روند شمال غربی - جنوب شرقی از مهمترین عناصر ساختاری منطقه می‌باشند. گسلهای راندگی آبرود، بیزه و دهنو از گسلهای مهم منطقه هستند که به ترتیب منجر به رانده شدن برونزدهای هارزبورژیتی، کنگلومرای پلیوسن، مارن و توفهای اوسن میانی بر روی کنگلومرای پلیوکواترنر شده‌اند (شکلهای ۲۵-۲ و ۲۶-۲). علاوه بر این، گسلهای راندگی منطقه عبارتند از: گسل راندگی مهر، کمیز، ساروق، کوه سفید، ذولفراز، فتح آباد، سنگ سفید، بلاش آباد، قز- سلیمانیه، علیک، عنبرستان، افچنگ، بید- طبس- برقبان و مهمترین راندگی جلمبادان، که مجموعه پیروکلاستیک و گدازهای اوسن و رسوبات آتشفسانی- رسوبی را بر روی صفحه راندگی فتح آباد رانده است. این گسل از شرق به گسل بید- طبس- برقبان می‌پیوندد. سیستم گسلهای مذکور به صورت یک سیستم فلسفی عمل کرده و شیب گسلها در مقاطع مختلف زمین شناسی متغیر است. چندین گسل امتدادلغز نیز در منطقه وجود دارد که جهت‌گیری آنها به صورت عمود یا تقریباً عمود بر گسلهای راندگی است. نقشه پراکندگی گسلهای مذکور در شکل ۲-۲۸ نشان داده شده است.

۲-۵- پتانسیل‌های معدنی (معدن سنگ ساختمانی)

در چند نقطه از ناحیه مورد مطالعه سنگهای نیمه عمیق به عنوان سنگ ساختمانی مورد توجه قرار گرفته و برای تهیه سنگ نما استخراج می‌شوند. معدن گرانیت دنیا مهرگان و گرانیت مهر از جمله معدن فعال این منطقه می‌باشند (شکلهای ۲۹-۲ تا ۳۱-۲). معدن گرانیت کمر سفید نیز اگر چه برای مدت ۴ سال مورد بهره‌برداری قرار می‌گرفته است، اما در حال حاضر غیر فعال می‌باشد. سنگهای مورد بهره‌برداری در واقع از نوع ریولیت می‌باشند ولی در اصطلاح معدنکاری به گرانیت معروف هستند. این سنگها به علت داشتن ظاهر زیبا، استحکام فوق العاده و حجم زیاد برای استفاده به عنوان سنگ نما از اهمیت خاصی برخوردار هستند. همچنین با توجه به استحکام فوق العاده این سنگها، می‌توان از آنها به عنوان سنگ لاشه، جهت جاده‌سازی و پل‌سازی استفاده کرد. جلوه زیبای این سنگها در گنبدهایی که دگرسانی کمتری را متحمل شده‌اند یا فاقد

دگرسانی هستند، نمایان تر است. در این گنبدها از جمله گنبد ریولیتی مهرگان، سنگها به طور یکنواخت سفید رنگ هستند و تقریباً فاقد کانیهای مافیک می‌باشد. لازم به ذکر است، از آنجایی که منطقه مورد مطالعه در یک زون گسلی واقع شده است، سنگهای ریولیتی عمدتاً خرد شده هستند و به ندرت قابلیت بلوكدهی دارند. به طوری که مشکلات عدیدهای را برای استخراج به همراه دارند و در برخی موارد معدنکاری در آنها مقرن به صرفه نیست.



شکل ۲۸-۲- نقشه پراکندگی گسلها در منطقه باشتین، بر اساس نقشه‌های زمین‌شناسی و مشاهدات صورت گرفته.



شکل ۲۹-۲- نمایی از سنگهای ریولیتی معدن دنیا مهرگان واقع در شکل ۳۰-۲- دیوارهای حاصل از برش سنگهای ریولیتی به جنوب روستای بهانگر.



شکل ۳۱-۲- تصویری از چالزنی به منظور تهیه بلوک از سنگهای ریولیتی در معدن گرانیت مهر.

۶-۲- نتیجه‌گیری

- منطقه مورد مطالعه در غرب شهر سبزوار واقع شده و بخشی از زون ساختاری ایران مرکزی محسوب می‌شود.
- واحدهای سنگی در منطقه مورد مطالعه متنوع بوده و عبارتند از: واحد افیولیتی، واحد آتشفسانی- رسوی ائوسن، واحد مارنی میوسن، گنبدهای نیمه عمیق، کنگلومرای پلیوسن، کنگلومرای پلیوکواترنر و واحدهای رسوی آبرفتی کواترنر (رسوبات آبرفتی عهد حاضر).
- فعالیتهای آتشفسانی پس از ائوسن، موجب پیدایش ولکانیسم حدواسط تا اسیدی شده که در منطقه باشتین به صورت گنبدهای نیمه عمیق تجلی پیدا کرده است.

- گنبدهای نیمه عمیق با امتداد شمال غربی - جنوب شرقی، در ارتباط با گسلهای بزرگ به گونه‌ای آشکار سنگهای هارزبورژیتی وابسته به مجموعه افیولیتی سبزوار را قطع کرده‌اند. در اثر جایگزینی این گنبدها در بین سنگهای هارزبورژیتی میزبان، در برخی نقاط هاله دگرگونی مجاورتی کم عرضی در محل کن tact آنها با سنگهای میزبانشان مشاهده می‌شود.

- با توجه به مطالعات صحرایی صورت گرفته، سن گنبدهای نیمه عمیق احتمالاً جوانتر از میوسن و قدیمی‌تر از پلیوسن می‌باشد. حضور قطعات ریولیتی در کنگلومراپلیوسن و عدم حضور آنها در واحدهای سنگی قدیمی‌تر، یعنی در مارنهای قرمز میوسن یا توالی‌های آتشفسانی - رسوبی ائوسن تأییدی بر این مدعای است. به سمت شمال شرق و خارج از منطقه مورد مطالعه سنگهای مشابه ولی با سن کمتر یافت می‌شود.

- گنبدهای نیمه عمیق در برخی نقاط، قطعاتی از سنگ میزبانهای هارزبورژیتی خود را به صورت آنکلاو دربر گرفته‌اند. دسته دیگری از آنکلاوها از واحدهای سنگی آتشفسانی و آتشفسانی - رسوبی ائوسن نشأت گرفته‌اند. با توجه به شواهد موجود، حضور این آنکلاوها، مبین انجام فرایند آلایش ماقمایی در حین صعود ماقما به ترازهای بالاتر پوسته می‌باشد.

- گنبدهای مورد مطالعه از دگرسانی مصون نمانده و تحت دگرسانی پروپیلیتی و آرژیلیتی قرار گرفته‌اند.

- منطقه از لحاظ تکتونیکی فوق العاده فعال بوده و گسلهای راندگی با روند شمال غربی - جنوب شرقی از مهمترین عناصر ساختاری منطقه هستند.

- معادن سنگ ساختمانی از پتانسیلهای معدنی و مهم مرتبط با گنبدهای نیمه عمیق منطقه مورد مطالعه می‌باشند.

پتروگرافی یا سنگ نگاری قسمتی از علم سنگ شناسی است که با توجه به آن، ترکیب کانی شناسی و نام سنگهای مورد مطالعه مشخص می‌گردد. در این فصل سعی شده است، با تأکید بر مطالعات میکروسکپی و تعیین درصد حجمی کانیها و نوع رابطه بین آنها، نام دقیق سنگها تعیین گردد. از آنجایی که سنگهای مورد مطالعه بسیار دانه ریز هستند و بخش زیادی از مواد سنگ به صورت خمیره است، لذا شناسایی کانیها و تعیین نام سنگ به راحتی امکان پذیر نیست. بنابراین در تعیین نام سنگها و رده‌بندی آنها از نتایج آنالیز شیمی آنها نیز به طور همزمان استفاده شده است (اگرچه مبحث ژئوشیمی به طور مجزا در فصل بعدی ارائه خواهد شد). سنگهای نیمه عمیق موجود در منطقه در گروههای ترکیبی ذیل قرار می‌گیرند:

- ریولیتها

- داسیت و تراکی داسیت

- آندزیت و تراکی آندزیت

۳-۲-۳- ویژگیهای پتروگرافی سنگهای منطقه

۳-۲-۱- ریولیتها

این سنگها، بخش بزرگی از سنگهای نیمه عمیق مورد مطالعه را تشکیل می‌دهند. تقریباً دانه ریز و میکروکریستالین بوده و در اکثر موارد کانیهای آنها در نمونه دستی قابل تشخیص نمی‌باشند. اغلب گنبدهای نیمه عمیق منطقه از جمله گنبد زردکوهی، ساروق، کلاته‌سادات، مهر و طبس، دارای ترکیب ریولیتی می‌باشند.

این سنگها در نمونه دستی به رنگ سفید تا خاکستری بوده ولی در برخی موارد لکه‌های سبز تا قهوه‌ای رنگی که حاصل دگرسانی کانیهای مافیک از جمله بیوتیت و هورنبلند می‌باشند، در آنها یافت می‌شود (شکل ۱-۳). فراوانی و اندازه این لکه‌ها در سنگهای ریولیتی با توجه به میزان دگرسانی متغیر می‌باشد. در نمونه‌های برداشت شده از معدن دنیا مهرگان، میزان لکه‌ها حداقل بوده، سنگها سفید رنگ هستند و ندرتاً بیوتیت‌های کشیده (رشته‌ای) در آنها مشاهده می‌شود. اما به طور کلی می‌توان گفت، محدود سنگهای ریولیتی را می‌توان یافت، که دگرسان نشده باشد. در مقاطع نازک سنگهای ریولیتی، آثار دگرسانی آرژیلیتی

به صورت سریسیتی شدن و کائولینیتی شدن فلدسپارها و تولید مسکوویت ثانویه از بیوتیتها مشاهده می‌شود (شکل‌های ۳-۵، ۳-۱۰ و ۳-۱۴). با بررسی مغزه‌های برداشت شده از اعماق ۱۰ تا ۱۰۰ متری معدن دنیا مهرگان مشخص شد که نمونه‌های متعلق به اعماق بیشتر اندکی دانه درشت‌تر بوده و دگرسانی کمتری را نسبت به نمونه‌های سطحی متحمل شده‌اند. در مطالعات قبلی، در سنگهای ریولیتی محدوده معدن دنیا مهرگان، به وجود سودالیت و آنالسیم اشاره شده بود، که حضور کانیهای مذکور در این سنگها منتفی می‌باشد.

در مقاطع میکروسکوپی، بافت غالب آنها پرفیری با زمینه میکروکریستالین می‌باشد. پرفیرها غالباً فنوکریست‌های درشت کوارتز، سانیدین و پلاژیوکلاز می‌باشند (شکل ۳-۲). از دیگر بافت‌های مشاهده شده بافت جریانی دانه ریز و گلومرپورفیری می‌باشند. ریولیت‌های مربوط به روستای طبس و برخی از ریولیت‌های برداشت شده از روستای مهر دارای بافت دانه‌ریز و جریانی هستند (شکل ۳-۳). وفور بیوتیت‌های رشته‌ای از دیگر ویژگیهای پتروگرافی ریولیت‌های منطقه است (شکل ۳-۱۰). دانه‌های ریز سانیدین، کوارتز، آلبیت، بیوتیت و مگنتیت ترکیب کانی شناسی زمینه سنگ را تشکیل می‌دهند.

وجود آنکلاوهایی با ترکیب متنوع (توفی، توفی-سیلتیتون، توفی-شیلی و هارزبورژیتی) از دیگر ویژگیهای این سنگها می‌باشد (شکل‌های ۳-۱۱ و ۳-۱۲).

الف- کانیهای اصلی

کوارتز

این کانی بیش از ۲۰ درصد از حجم کانیهای تشکیل دهنده سنگ را تشکیل می‌دهد. اندازه فنوکریست‌های آن حداقل به ۳ میلیمتر می‌رسد. فنوکریست‌ها از شکل‌دار تا نیمه شکل‌دار متغیر هستند و برخی از آنها دارای خلیج خوردگی می‌باشند (شکل ۳-۴). خلیج‌های خوردگی، در اثر عدم تعادل ترکیبی فنوکریست‌ها با زمینه سنگ به وجود آمده‌اند.

سانیدین

این کانی در صد زیادی از کانیهای سنگ را به خود اختصاص داده و اکثرأ به صورت شکل دار (سرنیزهای) می باشد (شکل ۳-۵). در اثر کائولینیتی شدن، سطح این کانی در نور پلاریزه عادی کدر مایل به قهوه ای دیده می شود. سانیدین به صورت ریز بلور در متن سنگ نیز یافت می شود.

پلاژیوکلاز

این کانی به صورت فنوکریست (که ابعاد آن گاهی به ۴ میلیمتر می رسد) یا به صورت دانه های ریز موجود در زمینه سنگ به وفور یافت می شود. ماکل پلی سینتیک و منطقه بندی ترکیبی از مشخصات پلاژیوکلازهای موجود در ریولیتهای منطقه است (شکل ۳-۶). شکل این کانی از تیغه ای تا کاملاً شکل دار متغیر بوده و ردیف شدگی پلاژیوکلازهای تیغه ای شکل به تشکیل بافت جریانی در این سنگها منجر شده است. این کانی در اکثر موارد تحت تأثیر دگرسانی سریسیتی قرار گرفته است (شکل ۳-۱۴). لازم به ذکر است ترکیب پلاژیوکلازها در حد آلبیت تا الیگوکلاز متغیر می باشد.

ب - کانیهای فرعی

بیوتیت

این کانی فنوکریست مافیک باز این سنگهاست. بیوتیت به اشکال کشیده و تا حدودی پیچ و تاب خورده (شکل ۳-۹) و دارای ادخالهایی از مگنتیت یافت می شود. این کانی به طور جزئی تا کامل به سریسیت و در مراحل پیشرفته تر به مسکوویت دگرسان شده است.

هورنبلند

این کانی یکی دیگر از کانیهای مافیک موجود در ریولیتهای مورد مطالعه می باشد. تجمع آن با پلاژیوکلاز به تشکیل بافت گلومروپرفیری منجر شده است (شکل ۳-۷). در اثر دگرسانی به کلریت، اسفن و کانیهای اوپک تبدیل شده است (شکل ۳-۸).

مگنتیت

مگنتیت به صورت ادخال در داخل بیوتیت و هورنبلند یافت می شود. این کانی در نمونه های دگرسان شده به هماتیت و سایر هیدروکسیدهای آهن تبدیل شده است.

آپاتیت

این کانی ندرتاً و به صورت ادخال در برخی از پلازیوکلазها یافت می‌شود.

کانیهای ثانویه

کلریت

کلریت در اثر دگرسانی بیوتیت و هورنبلند به وجود آمده است. در برخی موارد کلریت، اسفن و کلسیت جایگزین هورنبلند شده‌اند. کلریتهای حاصل از تخریب بیوتیت و هورنبلند در نور پلاریزه متقطع، دارای رنگ آبی نفتی زیبایی می‌باشند (۱۳-۳).

کلسیت

از دیگر کانیهای ثانویه‌ای که در اثر دگرسانی پلازیوکلاز و هورنبلند به وجود می‌آید، کلسیت می‌باشد. این کانی ثانویه به صورت بلورهای قوس و قزحی همراه هورنبلندها و پلازیوکلازهای دگر سان شده موجود در این سنگها یافت می‌شود.

کانیهای رسی

دگرسانی فلدسپارهای آلكالن به ویژه سانیدین به کانیهای رسی، به صورت کائولینیتی شدن به وضوح در مقاطع نازک این سنگها مشاهده می‌شود و منظره ابر مانند و غبارآلودی در سطح کانی به وجود آورده است (شکل ۳-۵).

سریسیت

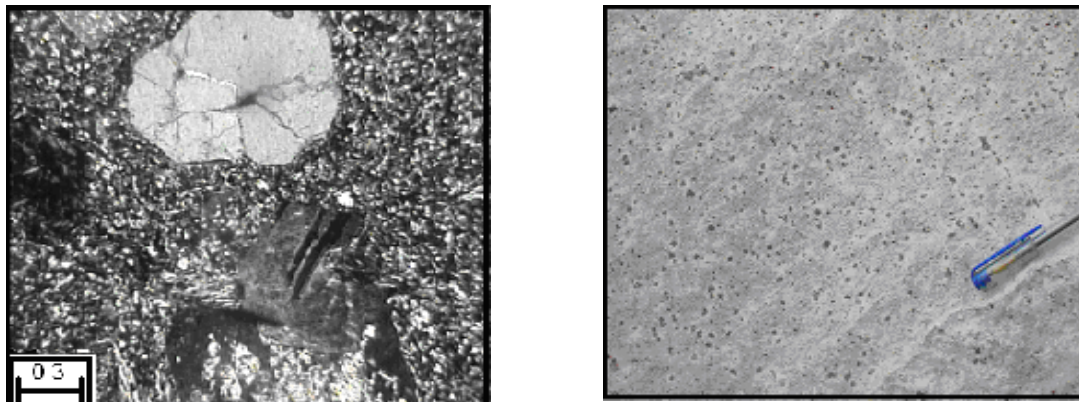
پلازیوکلاز و سانیدین در برخی نمونه‌ها به طور گستردگی به سریسیت تبدیل شده‌اند (شکل ۳-۱۴).

اکسیدهای آهن

در اثر دگرسانی بیوتیت و هورنبلند مقداری مگنتیت ثانویه در این سنگها به وجود آمده است.

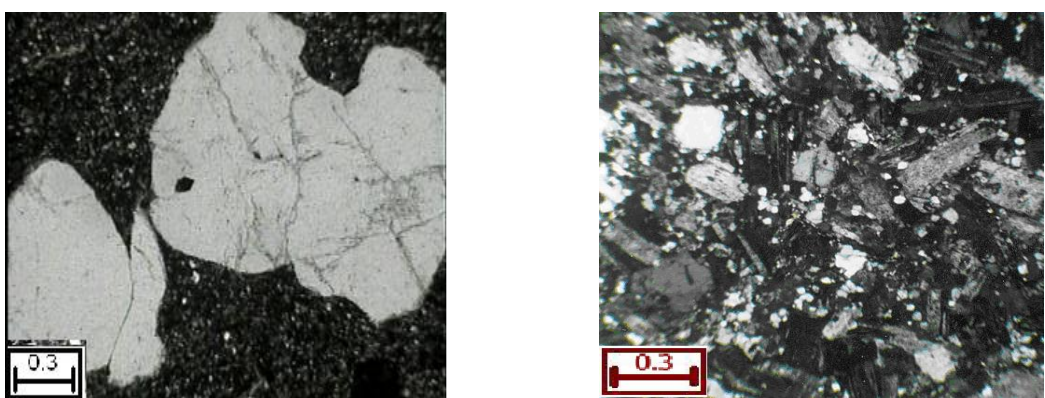
مسکوویت (سریسیت‌های درشت)

در وله اول به علت شکل مشخص و ابعاد درشت این بلورهای مسکوویت ممکن است تصور کنیم که این بلورها، اولیه هستند اما با بررسی دقیق‌تر و یافتن بقایای بیوتیت در حواشی بلورهای مسکوویت مشخص شد که این بلورها در اثر دگرسانی بیوتیت حاصل شده‌اند (شکل ۳-۱). در صورت مقایسه فرمول شیمیایی بیوتیت $[K(Mg, Fe^{+2})AlSi_3O_{10}](OH, F)_2$ با مسکوویت $KAl_2[AlSi_3O_{10}]$ متوجه می‌شویم که تبدیل بیوتیت به مسکوویت، با خروج آهن و منیزیم از شبکه بیوتیت همراه است. در ضمن Al به مقدار قابل توجهی افزایش پیدا می‌کند. Al مورد نیاز می‌تواند از طریق سیالات گرمابی و به خرج تخریب فلدسپارها تأمین گردد. آهن و منیزیم (به مقدار کم) به کمک سیال از محیط خارج می‌گردند و به صورت اکسید و هیدروکسید در فضاهای خالی نهشته می‌شوند و غالباً در امتداد درزهای شکستگی‌ها تجمع می‌یابند.



شکل ۳-۲- تصویر میکروسکوپی از حضور سانیدین، پلاژیوکلاز و کوارتزهای ریز دانه در ریولیت‌های گنبد زردکوهی (XPL، بزرگنمایی ۴۰ برابر).

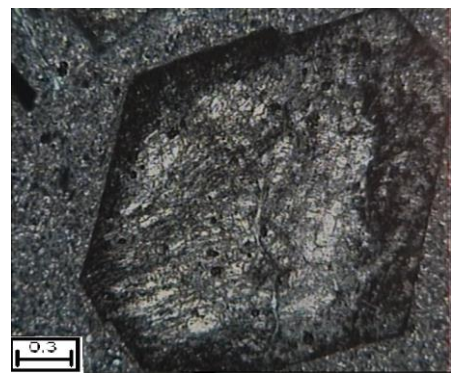
شکل ۳-۳- نمونه ریولیتی برداشت شده از معدن گرانیت مهرگان. آثار دگرسانی پرفیرهای مافیک به کلریت و اپیدوت به صورت لکه‌های سبز رنگ مشاهده می‌شود.



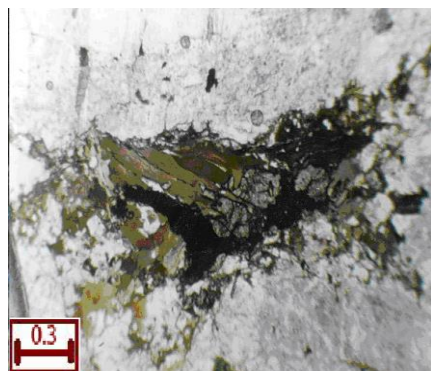
شکل ۳-۳- تصویر میکروسکوپی از بافت دانه ریز و جریانی، کوارتزهای ریز فراوان و پلاژیوکلازهای مستطیلی شکل در سنگهای ریولیتی روستای مهر (XPL، بزرگنمایی ۴۰ برابر).



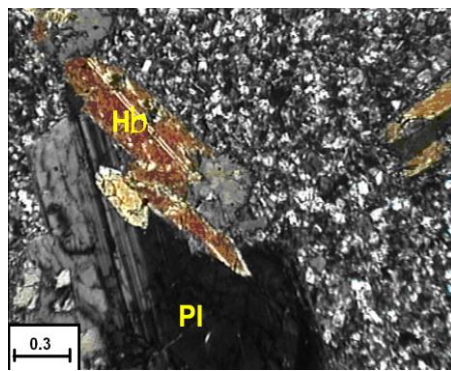
شکل ۳-۶- تصویر میکروسکپی از فنوکریست پلاژیوکلاس نیمه
شکل دار با ماکل پلیسینتیک در ریولیتهای معدن دنیا مهرگان
۴۰ بزرگنمایی XPL (برابر).



شکل ۳-۵- تصویر میکروسکپی از سانیدین کاملاً شکل دار، که
آثار دگرسانی به کانیهای رسی در سطح آن مشاهده می شود
(XPL، بزرگنمایی ۴۰ برابر).



شکل ۳-۸- تصویر میکروسکپی از دگرسانی و تخریب بیوتیت و
هورنبلند به کلریت و کانیهای اوپک در نمونه ریولیتی مربوط به
روستای زردکوهی (PPL، بزرگنمایی ۴۰ برابر).



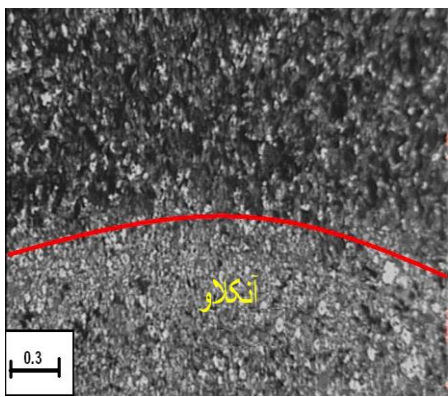
شکل ۳-۷- تصویر میکروسکپی از بافت گلومروپرفسیری در نمونه
ریولیتی مربوط به معدن دنیا مهرگان (XPL، بزرگنمایی ۴۰ برابر)



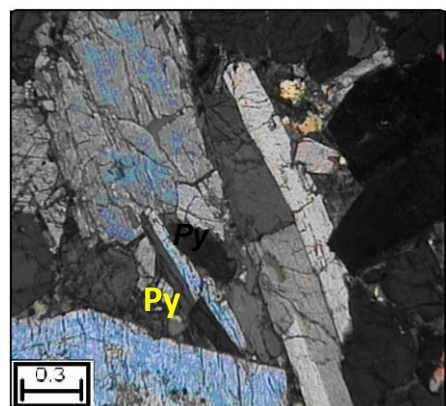
شکل ۳-۱۰- تصویر میکروسکپی از مسکوویت درشت ثانویه که
در اثر دگرسانی بیوتیت حاصل شده است و بقایای بیوتیت در آن
دیده می شود (XPL، بزرگنمایی ۴۰ برابر).



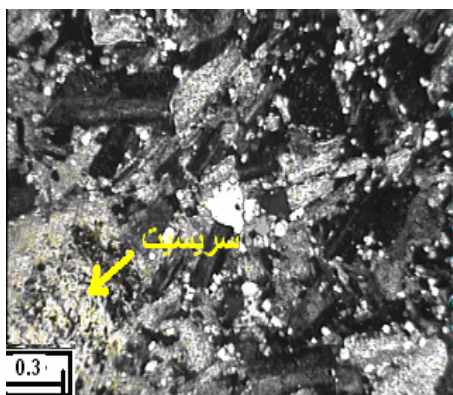
شکل ۳-۹- تصویر میکروسکپی از بیوتیت های رشتی و پیچ و
تاب خورده در ریولیتهای گنبد زردکوهی (PPL، بزرگنمایی ۴۰
برابر).



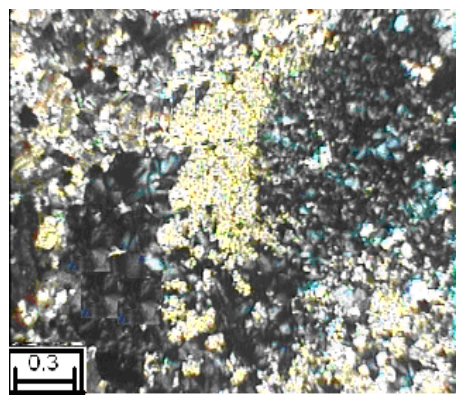
شکل ۱۲-۳- ۱۲-۳- تصویر میکروسکوپی از آنکلاو هارزبورزیتی موجود در سنگهای ریولیتی روستای کلاته سادات (XPL، بزرگنمایی ۴۰ برابر).



شکل ۱۱-۳- تصویر میکروسکوپی از آنکلاو هارزبورزیتی موجود در ریولیت‌های شرق روستای ساروق (XPL، بزرگنمایی ۴۰ برابر).



شکل ۱۴-۳- ۱۴-۳- تصویر میکروسکوپی از دگرسانی پلازیوکلازها به سریسیت در ریولیت‌های روستای مهر (XPL، بزرگنمایی ۴۰ برابر).

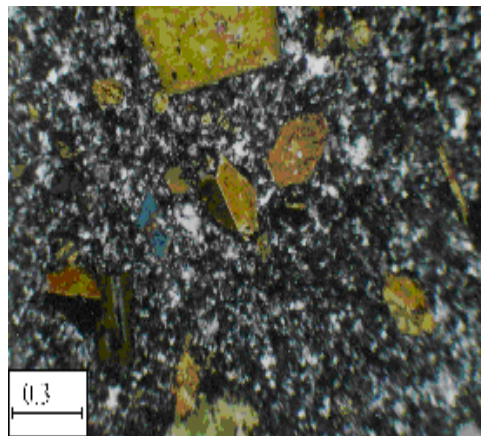


شکل ۱۳-۳- ۱۳-۳- تصویر میکروسکوپی از کلریت‌زایی و کلسیت‌زایی در نمونه ریولیتی برداشت شده از معدن گرانیت مهر (XPL، بزرگنمایی ۴۰ برابر).

۳-۲-۲- داسیت و تراکی‌داسیت

این سنگها در نمونه دستی به رنگ کرم تا خاکستری و حاوی بلورهای درشت هورنبلند سیز می‌باشند. ساخت آنها پرفیری و از نوع آفانیتیک تا فانروکریستالین است. در برخی موارد نحوه قرارگیری پرفیرها (هورنبلند و پلازیوکلاز) ساخت جریانی را در سنگ به وجود آورده است. در برخی از نمونه‌های داسیتی فنوکریست‌های درشت پلازیوکلاز به وضوح نمایان است (شکل ۱۵-۳). سنگهای نیمه عمیق برداشت شده از روستاهای شادمان، جفتای و کهننه دارای ترکیب داسیت و تراکی‌داسیت می‌باشند.

داسیت‌ها و تراکی داسیت‌های منطقه مورد مطالعه حتی در مقاطع میکروسکوپی قابل تفکیک نمی‌باشند. این سنگ‌ها معمولاً دارای بافت پرفیری با زمینه میکروکریستالین و جریانی هستند (شکل ۱۶-۳). بافت غربالی و گلومروپرفیری، از دیگر بافت‌های مشاهده شده در این سنگ‌ها می‌باشند.



شکل ۱۶-۳- تصویر میکروسکوپی از بافت پرفیری حاصل حضور فوکریستهای هورنبلندهای تقریباً شکل دار در یک زمینه ریز دانه متشکل از هورنبلند، پلازیوکلاز و کوارتز (XPL، بزرگنمایی ۴۰ برابر).



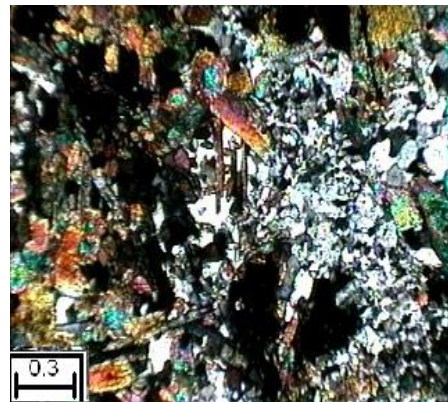
شکل ۱۵-۳- نمونه داسیتی برداشت شده از روستای کهنه، درشت بلورهای پلازیوکلاز به وفور در این نمونه سنگ مشاهده می‌شوند.



شکل ۱۸-۳- فوکریست هورنبلند حاوی ادخالهایی از مگنتیت و اسفن (XPL، بزرگنمایی ۴۰ برابر).



شکل ۱۷-۳- تصویر میکروسکوپی از پلازیوکلازهای شکل دار با آندزیت‌های روستای مقیسه (XPL، بزرگنمایی ۴۰ برابر).



شکل ۳-۱۹- اپیدوت زایی گسترده در تراکی‌داسیتهای روستای کهنه (PL-XPL، بزرگنمایی ۴۰ برابر).

الف-کانیهای اصلی

کوارتز

این کانی به صورت بلورهای ریز و عمدتاً بی‌شکل در فضای بین سایر کانیهای سنگ یافت می‌شود. به علت ریز دانه بودن، برآورد حجم تقریبی آن از طریق پتروگرافی امکان پذیر نیست. این کانی به صورت ادخال در بعضی از هورنبلندها یافت می‌شود. از آنجایی که این سنگها دارای ماهیت نیمه عمیق هستند، لذا وضعیت بافتی آنها با میکروگرانودیوریت قابل مقایسه است و حضور کوارتز در پلاژیوکلاز و هورنبلند امری عادی است و حاصل رشد همزمان آنها می‌باشد.

پلاژیوکلاز

این کانی درصد قابل توجهی از کانیهای سازنده سنگ را به خود اختصاص می‌دهد. ترکیب آن با توجه به بررسیهای ژئوشیمیایی در حد آندزین است. پلاژیوکلازها غالباً دارای منطقه‌بندی ترکیبی و ماکل پلی‌سینتیک هستند. آنها تقریباً شکل دار تا نیمه‌شکل دار (تیغه‌ای) می‌باشند (شکل ۳-۱۷). این کانی در اثر دگرسانی به اپیدوت، کلسیت و سریسیت تبدیل شده است. ادخالهایی از سانیدین و مگنتیت در این کانی مشاهده می‌شود.

هورنبلند

هورنبلند موجود در این سنگها اکثرًا از نوع هورنبلند قهقهه‌ای است اما هورنبلند سبز نیز در این سنگها مشاهده شده است. هورنبلندها در برخی موارد به کلریت و اسفن دگرسان شده‌اند (شکل ۱۸-۳). اکثر هورنبلندها دارای منطقه‌بندی ترکیبی هستند و بافت غربالی ناشی از وجود کانیهای اوپک در آنها دیده می‌شود. در بعضی موارد، در اثر تجمع هورنبلندهای شکل‌دار همراه با پلازیوکلاز، بافت گلومروپرفیری در داسیت‌ها مشاهده می‌شود.

بیوپتیت

این کانی به مقدار کم در سنگهای داسیتی و تراکی داسیتی یافت می‌شود و غالباً در اثر دگرسانی به کلریت و کانیهای اوپک تبدیل شده است.

اسفن

این کانی به صورت اولیه شکل‌دار (گوهای شکل) و یا به صورت بی‌شکل و ناشی از دگرسانی می‌باشد (شکل ۱۸-۳).

سانیدین

این کانی شکل‌دار تا نیمه شکل‌دار بوده و غالباً به کانیهای رسی دگرسان شده است.

ب- کانیهای فرعی

کانیهای اوپک

کانیهای اوپک (احتمالاً مگنتیت) به فراوانی در سنگهای داسیتی و تراکی داسیتی وجود دارند.

ج- کانیهای ثانویه

کلریت

این کانی حاصل دگرسانی هورنبلند و بیوتیت می‌باشد و همراه با اسفن ثانویه یافت می‌شود. حضور کلریت، مؤید حضور آب در حین دگرسانی و خروج پتاسیم از محیط دگرسانی بیوتیتها می‌باشد. پتاسیم خارج شده در تشکیل سریسیت مشارکت کرده است.

سریسیت

بلورهای ریز این کانی در نقاط مختلف سطح پلاژیوکلازها و سانیدین مشاهده می‌شوند.

کانیهای رسی

کانیهای رسی حاصل تجزیه فلدسپارهای آلکالن بوده و به صورت پوششی کدر و غبار مانند سطح آنها را می‌پوشانند و منظره غبارآلودی را به وجود می‌آورند.

اپیدوت

اپیدوت حاصل دگرسانی پلاژیوکلاز و هورنبلند است و به طور گسترده در سنگهای داسیتی و تراکی داسیتی مشاهده می‌شود (شکل ۳-۱۹).

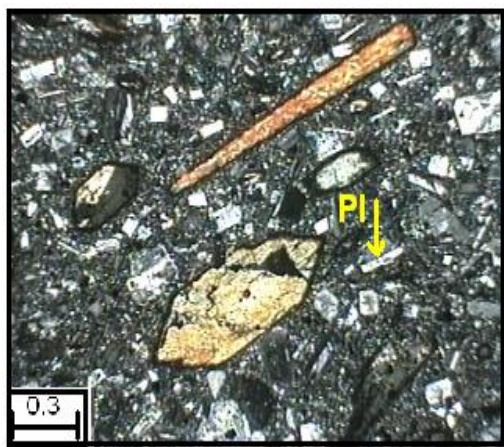
۳-۲-۳-آنذیت و تراکی آندزیت

این سنگها از نظر فراوانی بعد از ریولیتها می‌باشند. در نمونه دستی به رنگ خاکستری تا سبز کم رنگ دیده می‌شوند و سنگهای آندزیتی که متحمل دگرسانی شده‌اند، به رنگ قرمز هستند. آندزیتها سرشار از پرفیرهای بیوتیت و هورنبلند بوده و بافت پرفیری- جریانی نشان می‌دهند. وجود آنکلاوهایی با ترکیب متنوع از مشخصات اصلی آندزیتها و تراکی آندزیتهای منطقه مطالعه شده است. آنکلاوها اکثراً دانه درشت بوده و تیره‌تر از سنگ میزبان می‌باشند. آنکلاوها به ابعاد چندین سانتیمتر و به اشکال بیضوی در این سنگها یافت می‌شوند (شکل ۳-۲۰). برخی نمونه‌های نیمه عمیق برداشت شده از روستاهای آبرود، جلمبادان، مقسیه و جفتای دارای ترکیب آندزیت و تراکی آندزیت می‌باشند.

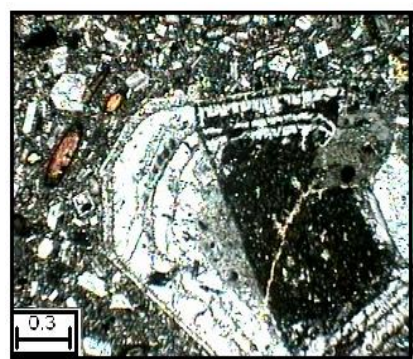
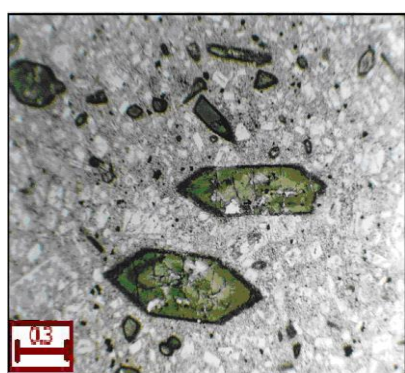
بافت این سنگها در حاشیه و قسمتهای مرکزی توده‌های سنگی متغیر است. نمونه‌های مربوط به بخش‌های حاشیه‌ای دانه ریزتر بوده و بافت غالب در آنها پرفیری با زمینه بسیار دانه ریز است. نمونه‌های متعلق به

بخش‌های مرکزی دارای فنوکریست‌های درشت‌تری نسبت به بخش‌های حاشیه‌ای بوده و از دیگر مشخصات آنها بافت گلومروپرفیری ناشی از تجمع فنوکریست‌های پلازبیوکلаз و هورنبلند می‌باشد.

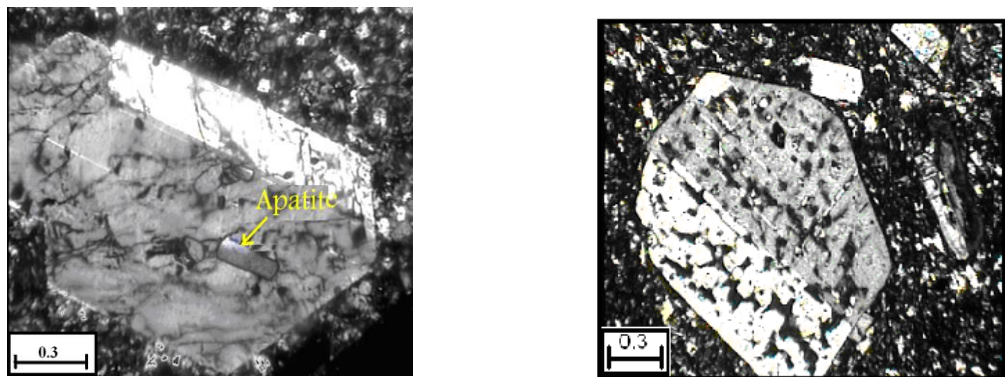
این سنگ‌ها در زیر میکروسکپ دارای کانیهای متنوع و بافت مشخص می‌باشند (شکل ۲۱-۳). بافت پرفیری، پرفیروئیدی، گلومروپرفیری، جریانی و غربالی از بافت‌های مشاهده شده در این سنگ‌هاست. کانیهای اصلی موجود در این سنگ‌ها، پلازبیوکلاز و هورنبلند می‌باشند. وفور هورنبلندهای شکل‌دار با حاشیه سوخته در مقاطع میکروسکپی یکی از ویژگیهای بارز آندزیتها و تراکی آندزیتها مورد مطالعه می‌باشد (شکل ۲۳-۳).



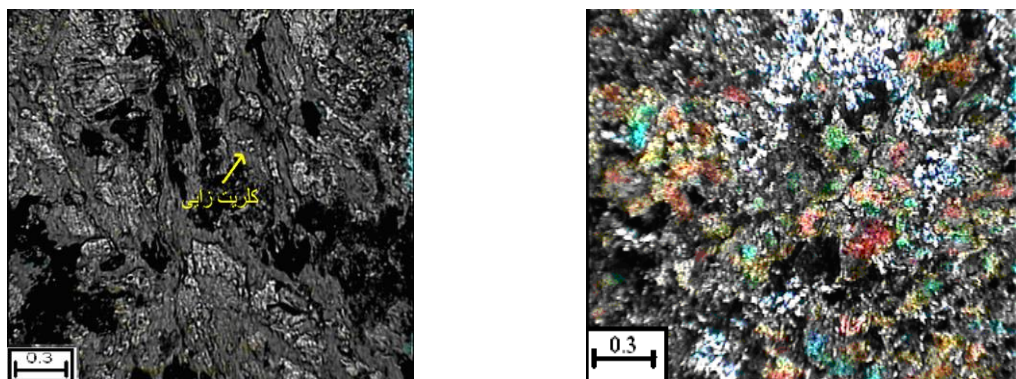
شکل ۲۰-۳ - آنکلاو هارزبوریتی موجود در آندزیتها پرفیری شمال شرق روستای روتای آبرود.
شکل ۲۱-۳ - تصویر میکروسکپی از بافت پرفیری ناشی از فنوکریست‌های هورنبلند و پلازبیوکلاز در آندزیتها پرفیری روستای جلمبادان (XPL، بزرگنمایی ۴۰ برابر).



شکل ۲۲-۳ - تصویر میکروسکپی از پلازبیوکلاز شکل‌دار دارای منطقه‌بندی ترکیبی در آندزیتها پرفیری منطقه آبرود (XPL، بزرگنمایی ۴۰ برابر).
شکل ۲۳-۳ - تصویر میکروسکپی از وفور هورنبلندهای لوزی شکل با حاشیه سوخته در آندزیتها پرفیری منطقه آبرود (XPL، بزرگنمایی ۴۰ برابر).



شکل ۳-۲۴-۳- تصویر میکروسکپی از حضور آپاتیت در پلازیوکلازهای موجود در نمونه آندزیتی برداشت شده از روستای کهنه XPL، بزرگنمایی ۴۰ برابر.



شکل ۳-۲۷-۳- تصویر میکروسکپی از کلریت‌زایی گسترده در آنکلاوهای هارزبورژیتی موجود در آندزیتهای شمال شرق روستای آبرود (PPL، بزرگنمایی ۴۰ برابر).

الف- کانیهای اصلی

پلازیوکلاز

این کانی به وفور در آندزیتها و تراکی‌آندزیتها یافت می‌شود و به صورت فنوکریست و ریز بلور مشاهده می‌گردد. فنوکریستهای پلازیوکلاز اکثراً منطقه‌بندی واضحی نشان می‌دهند. این بلورها اکثراً اتومورف بوده و دارای ماکل پلی‌سینتیک می‌باشند (شکل ۳-۲۲). پلازیوکلازهای منطقه غالباً دارای ادخالهایی از کانیهای اوپک هستند و بافت غربالی واضحی در آنها مشاهده می‌شود (شکل ۳-۲۴). بعضی از بلورهای پلازیوکلاز در اثر دگرسانی به سریسیت، کلسیت و اپیدوت دگرسان شده‌اند.

هورنبلند

هورنبلندهای شکل دار غالباً با حاشیه سوخته، درصد قابل توجهی از پرفیرهای مافیک این سنگها را به خود اختصاص داده‌اند (شکل ۲۳-۳). منطقه‌بندی ترکیبی، کلریت‌زاوی و اسفن‌زاوی بعضاً در این کانی مشاهده می‌شود. رنگ این کانی از سبز تا قهوه‌ای متغیر است. در اثر تجمع این کانی با پلاژیوکلازها بافت گلومروپرفیری در آندزیتها مشاهده می‌شود. این کانی تحت تأثیر دگرسانی به کلریت، اپیدوت و کلسیت دگرسان شده است.

بیوپتیت

این کانی ندرتاً در نمونه‌های آندزیتی مشاهده می‌شود. بیوپتیت به صورت رشتہ‌ای در این سنگها یافت می‌گردد. بیوپتیت معمولاً در این سنگها تحت تأثیر دگرسانی به کلریت تبدیل شده است. همچنین این کانی دارای ادخالهایی از مگنتیت است.

ب- کانیهای فرعی

کانیهای اوپک

این کانیها اکسیدهای آهن (مگنتیت و تیتانومگنتیت) را شامل می‌شوند و به صورت ادخال در بیوپتیت و هورنبلند یافت می‌شوند.

آپاتیت

این کانی به میزان نادر و به صورت بلورهای کشیده (مستطیلی شکل) و ادخال مانند در بعضی از پلاژیوکلازها یافت می‌شود (شکل ۲۵-۳).

ج- کانیهای ثانویه

با مشاهدات پتروگرافی مشخص شد که آندزیتها و تراکی آندزیتهای منطقه، تحت تأثیر دگرسانی پروپیلیتی قرار گرفته‌اند (شکل ۲۶-۳).

کلریت

کلریت‌زایی گستردہ در محل کنتاکت آندزیت‌های آبرود و هارزبورژیت‌های میزبان به وفور مشاهده می‌شود (شکل ۳-۲۷).

اسفن

اسفن به صورت بی‌شکل و معمولاً ناشی از دگرسانی در داخل هورنبلندها یافت می‌شود.

سریسیت

این کانی در اثر دگرسانی پلاژیوکلازها به وجود آمده است.

اپیدوت

اپیدوت در اثر دگرسانی هورنبلند و پلاژیوکلاز حاصل شده است.

کلسیت

این کانی در اثر دگرسانی پلاژیوکلاز و هورنبلند به وجود آمده است.

زئولیت

از دیگر کانیهای ثانویه مشاهده شده در این سنگها زئولیت می‌باشد. این کانی در اثر دگرسانی پلاژیوکلاز به وجود آمده است.

۳-۳- ترتیب تبلور

با توجه به شکل کانیها، فراوانی آنها و نحوه دربرگرفته شدن آنها توسط یکدیگر، ترتیب تبلور کانیهای سازنده سنگهای مورد مطالعه به صورت ترسیمی در شکل ۳-۲۸ نمایش داده شده است.

کانیهای تشکیل دهنده	ریولیت
---------------------	--------

Hb	_____
Pl	_____
San	_____
Bio	_____
Qtz	_____
Apa	_____
داسیت و تراکی داسیت	
Hb	_____
Pl	_____
San	_____
Qtz	_____
Sph	_____
آندرزیت و تراکی آندرزیت	
Hb	_____
Pl	_____
Sph	_____
Apa	_____

شکل ۳-۲۸- نمایش گرافیکی ترتیب تبلور کانیهای تشکیل دهنده سنگهای مورد مطالعه.

۴-۳- نتیجه گیری

- گنبدهای نیمه عمیق منطقه باشتنی از نظر سنگ شناسی متنوع بوده و دارای ترکیب سنگ شناسی آندزیت، تراکی آندزیت، داسیت، تراکی داسیت و ریولیت هستند. از بین سنگهای نامبرده ریولیتها دارای بیشترین فراوانی می‌باشند.

- این سنگها تنوعی از بافت‌های پرفیری، جریانی، گلومروپرفیری و غربالی نشان می‌دهند.

- کانیهای فلسیک غالب در اغلب سنگهای منطقه سانیدین (به طور کلی فلدسپارهای آلکالن)، پلازیوکلаз و کوارتز هستند. آلکالی فلدسپارهای موجود در توده‌های مورد مطالعه از نوع سانیدین با رنگ سفید تا طوسی و غالباً شکل دار (سرنیزه‌ای) می‌باشند. پلازیوکلازها معمولاً ترکیبی در حد الیگوکلاز-آندزین دارند.

- هورنبلندهای شکل دار با حاشیه سوخته و بیوتیت‌های کشیده (رشته‌ای)، کانیهای فرومیزین غالب در سنگهای منطقه هستند. در واقع هورنبلندهای شکل دار (لوزی شکل با حاشیه سوخته) و بیوتیت‌های رشته‌ای به ترتیب از مشخصات بارز آندزیتها و ریولیتها منطقه می‌باشند. از دیگر مشخصات بارز ریولیتها منطقه وفور کوارتزها و سانیدین‌های درشت است، که کوارتزها اغلب با حاشیه خلیج خورده‌گی همراه هستند.

- سنگهای نیمه عمیق منطقه باشتنی غالباً دگرسان شده‌اند. دگرسانی آرژیلیتی ریولیتها و داسیتهای منطقه را تحت تأثیر قرار داده است و آندزیتها مورد مطالعه نیز تحت تأثیر دگرسانی پروپیلیتی قرار گرفته‌اند. کلریت زایی و اسفنازایی در هورنبلندها از مهمترین دگرسانی‌های مشاهده شده در این سنگها هستند. وجود کانیهای ثانویه فراوان نظیر کانیهای رسی، سریسیت، اپیدوت و کلسیت در اکثر نمونه‌ها، ناشی از عملکرد دگرسانی گرمابی دمای متوسط تا پایین است.

- آنکلاوهایی با ترکیب متنوع (توفی، توفی-شیلی، توفی-سیلتستونی و هارزبورژیتی) با ابعاد میلیمتری تا سانتیمتری در این سنگها وجود دارند. وجود آنکلاوهایی از سنگهای میزبان در نمونه‌های مورد مطالعه حاکی از آن است که فرایند آلایش پوسته‌ای در تکوین و تحول گنبدهای مورد مطالعه نقش داشته است. آنکلاوهای نامبرده تحت تأثیر سیالات گرمابی به شدت دگرسان شده‌اند و به کانیهایی نظیر کلریت، کلسیت و منیزیت تبدیل گردیده‌اند.

- از دیگر ویژگیهای سنگهای مورد مطالعه وجود اسفن‌های ثانویه است که حاصل تخریب هورنبلند و بیوتیت هستند. اسفن اولیه به ندرت در این سنگها مشاهده شد.

- با توجه به مطالعات پتروگرافی سنگهای نیمه عمیق منطقه مورد مطالعه، ترتیب تبلور کانیهای مهم تشکیل دهنده این سنگها، در مجموع به صورت زیر می‌باشد:

هورنبلند، پلازیوکلاز، ساندین و کوارتز.

۱-۴ مقدمه

ژئوشیمی علمی است که ترکیب یک سنگ نسبتاً پیچیده را به یک سری اعداد ساده قابل فهم تبدیل می‌کند. به منظور استفاده از ژئوشیمی اولین گام درک اصول دقیق آن و رفتار ژئوشیمیابی عناصر در ماقماں سیلیکاتی و سیالات وابسته به آنها می‌باشد (هندرسون^۱، ۱۹۸۲). به عبارت دیگر ژئوشیمی قویترین ابزارهای قابل دسترس برای تشریح منشأ و تحول سنگها را در اختیار ما قرار می‌دهد. پس از مطالعات پتروگرافی سنگهای منطقه مورد مطالعه، تعداد ۲۸ نمونه از سنگهای نیمه عمیق منطقه باشتن، با توجه به تنوع سنگ

^۱-Henderson

شناسی آنها و حداقل هوازدگی جهت آنالیز شمیایی سنگ کل عناصر اصلی، کمیاب و کمیاب خاکی انتخاب و در کارگاه کانه‌آرایی پودر دانشکده معدن دانشگاه صنعتی شهرود آماده‌سازی شد و سپس به آزمایشگاه ژئوشیمی ACME کانادا جهت آنالیز به روش ICP-MS ارسال شد و آنالیز گردید. مختصات جغرافیایی نمونه‌های برداشت شده بر حسب UTM در جدول ۱-۴ آمده است.

۲-۴-آماده‌سازی و تجزیه ژئوشیمیایی نمونه‌ها

قبل از بحث و بررسی در مورد روابط ژئوشیمیایی سنگها باید به فرایندهایی که ممکن است نتایج تجزیه شمیایی سنگها را تحت تأثیر قرار دهد اشاره نمود. در زیر به مهمترین این عوامل اشاره خواهد شد.

- آلایش در طول آماده‌سازی نمونه، یک منبع مهم خطا در تجزیه شمیایی است. به احتمال زیاد این اتفاق در طول خرد کردن و پودر کردن نمونه‌ها رخ می‌دهد که هم به صورت آلایش منتقل شده از نمونه‌هایی که قبلًاً آماده شده‌اند و هم از خود دستگاه آسیاب ناشی می‌شود. آلایش منتقل شده، توسط تمیز کردن دقیق آسیاب برطرف خواهد شد. برای تجزیه‌هایی با بیشترین دقت، باید از آسیاب آگاتی استفاده کرد. با این حال آسیاب آگاتی نیز ممکن است آلایش کمی ایجاد کند (Rowlinson^۲, ۱۹۹۳). از این رو، نمونه‌های مورد مطالعه توسط آسیاب آگاتی در کارگاه کانه‌آرایی دانشکده معدن پودر گردید.

- منابع دیگر آلایش، در طبیعت هستند و آن زمانی است که نمونه به وسیله پوشش نازکی از رسوبات ناشی از مواد محلول در آبهای زیرزمینی یا آب دریا پوشیده شود و یا به دلیل طولانی بودن زمان بین نمونه‌برداری و پودر کردن، نمونه‌ها در معرض عوامل جوّی قرار گرفته و آلودگی یابند. این موارد بوسیله شستشوی تکه‌های سنگ پس از بریدن و قبل از پودر کردن با HCl یک مolar، به مدت چند دقیقه مرتفع می‌شود.

- از دیگر منابع خطا می‌توان به خطای ناشی از کالیبراسیون، خطای ناشی از همپوشانی پیک‌ها و خطای آشکارسازی داده‌های ژئوشیمیایی اشاره کرد.

- با توجه به اینکه جهت آسیاب کردن نمونه‌های سنگی منطقه مورد مطالعه، از آسیاب آگاتی استفاده شده است، می‌توان تنها عامل آلایش در این مرحله را اضافه شدن مقادیر جزئی سیلیس دانست. از طرفی بدليل اینکه سیلیس جزء عناصر اصلی تشکیل دهنده سنگهاست و به مقدار فراوان در سنگها یافت می‌شود، آلایش

^۱- Rowlinson

مقادیر ناچیز این عنصر نمی‌تواند نقش مهمی در ایجاد خطا داشته باشد. بدین ترتیب آلایش عناصر فلزی در مرحله آسیاب نقشی ندارد.

- از آنجائیکه نمونه‌های منطقه به روش ICP-MS مورد تجزیه شیمیایی قرار گرفته‌اند، می‌توان با اطمینان بیشتری نتایج بدست آمده را مورد تجزیه و تحلیل قرار داد.

۴-۳-۴- آماده سازی و تصحیح نتایج آنالیز شیمیایی

قبل از استفاده داده‌های تجزیه شیمیایی در ترسیم نمودارها و تجزیه و تحلیل داده‌ها، تصحیحاتی در مورد آنها اعمال می‌شود. از جمله این تصحیحات می‌توان به حذف مواد فرّار و تصحیح نسبت $\text{Fe}_2\text{O}_3/\text{FeO}$ اشاره کرد. این موارد، در رابطه با نمونه‌های مورد مطالعه اعمال گردید و مقادیر تصحیح شده در جدول ۲-۴ ارائه شده است.

نتایج تجزیه شیمیایی و نورم محاسبه شده بر اساس آنها به ترتیب در جداول ۲-۴ و ۳-۴ آورده شده است.

جدول ۱-۴- مشخصات و مختصات جغرافیایی محل برداشت نمونه‌های سنگی آنالیز شده بر حسب UTM.

شماره نمونه	نام سنگ	عرض جغرافیایی شمالی	طول جغرافیایی شرقی
SA-1	تراکی آندزیت	۴۰۴۸۶۶۴	۵۰۲۶۱۹
SA-2	تراکی آندزیت	۴۰۵۵۱۱۸	۴۱۳۴۵۸
SA-3	آندزیت	۴۰۳۷۰۵۷	۴۱۳۶۴۹
SA-4	آندزیت	۴۰۴۸۷۵۰	۵۰۲۱۳۷
SA-5	آندزیت	۴۰۴۳۷۰۵	۴۸۲۶۳۵
SA-6	تراکی آندزیت	۴۰۵۵۱۱۸	۴۱۳۴۵۸
SA-7	داسیت	۴۰۳۲۷۰۶	۴۸۲۶۳۵
SA-8	تراکی داسیت	۴۰۳۷۰۵۷	۴۱۳۶۴۹
SA-9	داسیت	۴۰۲۳۶۲۶	۵۱۴۷۷۸
SA-10	ربولیت	۴۰۲۰۳۰۲	۵۳۶۰۳۶
SA-11	ربولیت	۴۰۲۷۲۸۷	۵۲۱۰۷۲
SA-12	ربولیت	۴۰۲۸۱۴۶	۵۱۴۷۷۸

SA-13	ربولیت	۴۰۲۷۲۳۲	۵۱۷۱۲۶
SA-14	ربولیت	۴۰۲۷۶۶۱	۵۲۱۲۷۶
SA-15	ربولیت	۴۰۲۳۶۲۶	۵۲۸۳۸۱
SA-16	ربولیت	۴۰۲۳۵۵۱	۵۲۹۰۰۴
SA-17	ربولیت	۴۰۲۷۸۶۱	۵۲۴۳۸۱
SA-18	ربولیت	۴۰۲۷۶۶۱	۵۶۳۰۴۲
SA-19	ربولیت	۴۰۲۰۳۰۲	۵۳۶۰۳۶
SA-20	ربولیت	۴۰۲۵۴۵۸	۵۲۱۲۷۶
SA-21	ربولیت	۴۰۲۸۰۰۳	۵۱۳۸۸۴
SA-22	ربولیت	۴۰۲۸۴۶۳	۵۱۶۳۳۹
SA-23	ربولیت	۴۰۵۱۸۵۸	۵۱۳۴۶۹
SA-24	ربولیت	۴۰۳۲۹۳۹	۴۹۴۳۳۱
SA-25	ربولیت	۴۳۲۸۲۷۳	۴۸۴۳۳۱
SA-26	ربولیت	۴۰۲۸۲۷۳	۵۱۴۹۹۲
SA-27	ربولیت	۴۰۳۰۵۶۳	۴۷۷۳۴۱
SA-28	ربولیت	۴۰۳۰۵۶۳	۴۷۷۳۴۱

جدول ۲-۴- نتایج آنالیز شیمیایی سنگهای نیمه عمیق منطقه باشتین سبزوار.

نوع سنگ	تراکی آندزیت		آندزیت			تراکی آندزیت	
	شماره نمونه	SA-1	SA-2	SA-3	SA-4	SA-5	SA-6
		محل نمونه برداری	جفتای	شادمان	آبرود	جفتای	کمر سفید
SiO ₂	%	55.53	56.86	57.42	58.74	60.10	60.41
Al ₂ O ₃	"	18.24	18.22	18.06	18.59	19.07	17.82

FeO	"	3.03	2.69	2.44	2.19	1.68	1.52
Fe ₂ O ₃	"	4.55	4.03	4.53	4.06	3.12	2.28
MgO	"	4.98	4.38	3.91	2.61	2.06	4.62
CaO	"	4.31	4.40	7.06	6.44	5.21	4.12
Na ₂ O	"	6.05	6.68	3.91	4.06	3.98	4.93
K ₂ O	"	1.23	1.10	1.28	0.59	1.73	1.87
TiO ₂	"	0.70	0.64	0.52	0.56	0.50	0.45
P ₂ O ₅	"	0.11	0.15	0.19	0.16	0.18	0.15
MnO	"	0.11	0.11	0.13	0.12	0.04	0.06
Cr ₂ O ₃	"	0.01	0.01	0.01	0.00	0.00	0.02
L.O.I.	"	2.70	2.10	2.10	3.30	3.70	3.10
Ba	ppm	135.70	149.70	357.70	130.10	206.00	381.00
Be	"	1.00	1.00	<1	1.00	<1	<1
Co	"	24.80	21.00	21.90	13.10	8.70	15.60
Cs	"	1.00	0.10	0.60	0.40	0.50	0.60
Ga	"	16.40	17.50	17.40	17.70	16.30	15.80
Hf	"	2.10	2.20	2.00	2.20	2.70	2.90
Nb	"	1.70	1.90	2.00	2.70	4.10	4.80
Rb	"	22.60	10.20	19.80	9.20	22.40	31.80
Sr	"	463.90	208.60	780.60	366.10	470.00	731.70
Ta	"	0.10	0.20	0.10	0.20	0.30	0.40
Th	"	1.10	0.90	2.50	1.30	1.50	3.00
U	"	0.30	0.40	0.80	0.40	0.50	1.20
V	"	207.00	170.00	208.00	134.00	70.00	76.00
W	"	0.10	0.40	0.10	0.20	0.20	0.10
Zr	"	64.60	66.60	69.20	72.60	110.60	103.30
Y	"	17.30	17.10	11.70	14.60	14.50	8.70
La	"	5.80	5.60	10.90	7.50	8.80	11.90
Ce	"	13.10	13.00	23.40	17.20	21.40	22.20
Nd	"	9.60	9.30	12.70	10.70	10.90	10.60
Sm	"	2.70	2.60	2.60	2.30	2.50	2.10
Eu	"	0.77	0.80	0.79	0.72	0.79	0.59
Gd	"	3.12	3.02	2.16	2.81	2.67	1.97
Tb	"	0.55	0.52	0.38	0.45	0.43	0.30
Dy	"	3.21	2.80	2.06	2.62	2.54	1.63
Ho	"	0.61	0.57	0.37	0.50	0.43	0.29

Er	"	1.76	1.84	1.14	1.50	1.35	0.88
Tm	"	0.24	0.26	0.17	0.23	0.19	0.14
Yb	"	1.67	1.73	1.10	1.54	1.35	0.84
Lu	"	0.29	0.28	0.18	0.24	0.23	0.14

.۲-۴ ادامه جدول

نوع سنگ	داسیت	ریولیت					
		تراکی داسیت	داسیت	SA-10	SA-11	SA-12	
		شماره نمونه	SA-7	SA-8	SA-9	نوده صرصمه	کلاته ساده
محل نمونه برداری	کهنه	آبرود	کهنه	نوده	کلاته ساده	دنیا مهرگان	
SiO ₂	%	62.56	62.78	63.60	68.61	69.72	70.23
Al ₂ O ₃	"	17.74	18.31	17.29	18.82	20.64	20.24
FeO	"	1.78	1.63	1.80	0.81	0.25	0.30
Fe ₂ O ₃	"	2.68	1.63	2.70	0.81	0.25	0.30
MgO	"	3.06	2.45	2.92	0.75	0.10	0.18
CaO	"	5.41	3.62	5.25	0.87	1.25	0.46
Na ₂ O	"	4.39	5.27	4.51	6.51	4.57	5.38
K ₂ O	"	0.72	2.05	0.77	2.24	3.57	3.62
TiO ₂	"	0.48	0.41	0.47	0.15	0.02	0.04
P ₂ O ₅	"	0.11	0.22	0.13	0.13	0.03	0.05
MnO	"	0.09	0.05	0.08	0.08	0.06	0.04
Cr ₂ O ₃	"	0.01	0.01	0.01	0.00	0.00	<.001
L.O.I.	"	2.40	3.10	1.90	1.60	1.10	0.70
Ba	ppm	130.30	445.60	132.50	463.90	518.00	545.10
Be	"	<1	1.00	<1	1.00	2.00	2.00
Co	"	13.50	9.30	13.60	1.20	<.5	0.50
Cs	"	0.20	0.90	0.20	0.80	2.60	1.80
Ga	"	15.90	16.80	15.80	17.70	18.70	16.10
Hf	"	2.40	3.20	2.80	2.70	2.10	1.90
Nb	"	2.40	5.80	2.60	7.70	6.80	3.70
Rb	"	10.10	38.70	10.50	43.10	70.10	73.60
Sr	"	507.10	848.50	400.10	673.50	337.80	344.50
Ta	"	0.10	0.40	0.10	0.60	0.60	0.30
Th	"	0.80	3.60	0.70	3.80	1.60	1.70
U	"	0.40	1.20	0.40	1.20	1.80	1.00
V	"	86.00	58.00	90.00	19.00	<5	<5

W	"	<.1	0.50	0.20	3.80	0.20	<.1
Zr	"	85.70	124.30	88.00	90.10	38.40	40.50
Y	"	16.80	9.20	17.00	9.20	6.30	5.70
La	"	6.10	13.00	6.90	15.40	3.80	5.50
Ce	"	15.80	26.40	16.30	31.50	7.50	10.10
Nd	"	10.30	11.10	10.10	12.90	3.50	4.30
Sm	"	2.50	2.10	2.50	1.90	0.80	1.00
Eu	"	0.72	0.61	0.69	0.55	0.26	0.25
Gd	"	2.80	1.59	2.83	1.59	1.02	0.96
Tb	"	0.49	0.27	0.48	0.26	0.18	0.17
Dy	"	2.88	1.46	2.74	1.39	0.96	0.77
Ho	"	0.54	0.29	0.59	0.26	0.18	0.16
Er	"	1.82	0.86	1.70	0.78	0.52	0.43
Tm	"	0.26	0.14	0.25	0.12	0.08	0.07
Yb	"	1.67	0.77	1.73	0.78	0.47	0.38
Lu	"	0.29	0.14	0.30	0.13	0.07	0.06

ادامه جدول .۲-۴

نوع سنگ	ربولیت						
	شماره نمونه	SA-19	SA-20	SA-21	SA-22	SA-23	SA-24
	محل نمونه برداری	نوده صرصمه	روستای زردکوهی	گمانه معدن مهرگان	دنبیا مهرگان	ساروق	شمال روستای آبود
SiO ₂	%	71.39	73.22	72.09	72.30	72.32	72.46
Al ₂ O ₃	"	16.63	16.45	17.64	17.53	17.62	16.88
FeO	"	0.66	0.39	0.32	0.34	0.38	0.34
Fe ₂ O ₃	"	0.66	0.39	0.32	0.34	0.38	0.34
MgO	"	0.53	0.13	0.12	0.18	0.24	0.13
CaO	"	0.97	1.19	1.52	0.40	0.26	0.51
Na ₂ O	"	5.27	5.10	5.12	6.50	7.07	5.57
K ₂ O	"	3.50	3.75	3.48	3.10	2.65	4.21
TiO ₂	"	0.08	0.02	0.03	0.05	0.05	0.02
P ₂ O ₅	"	0.17	0.05	0.06	0.04	0.06	0.03
MnO	"	0.15	0.08	0.06	0.03	0.03	0.06
Cr ₂ O ₃	"	0.00	0.00	<.001	<.001	<.001	<.001
L.O.I.	"	1.40	0.80	0.90	0.70	0.60	1.00

Ba	ppm	558.90	493.80	507.50	466.50	445.50	510.10
Be	"	2.00	3.00	1.00	2.00	1.00	3.00
Co	"	1.10	<.5	0.60	0.70	0.50	<.5
Cs	"	1.30	3.20	2.50	0.70	0.50	1.30
Ga	"	17.40	16.90	18.20	18.40	16.90	18.10
Hf	"	3.20	2.10	2.00	1.90	1.40	2.10
Nb	"	9.40	9.30	7.20	6.40	6.70	9.30
Rb	"	70.90	83.10	72.70	67.80	52.40	92.10
Sr	"	338.80	365.70	475.50	537.70	377.50	459.90
Ta	"	0.80	0.70	0.60	0.50	0.40	0.80
Th	"	4.80	1.70	1.20	1.00	0.10	1.00
U	"	2.60	1.90	1.40	1.70	1.10	2.40
V	"	10.00	<5	<5	5.00	<5	<5
W	"	0.30	1.20	<.1	<.1	0.20	<.1
Zr	"	74.00	39.50	41.10	43.90	31.60	39.40
Y	"	13.10	3.60	5.60	4.70	2.20	3.40
La	"	15.60	5.10	5.10	4.40	1.00	4.60
Ce	"	30.80	9.90	10.00	7.10	1.40	9.00
Pr	"	3.72	1.19	1.19	0.91	0.17	1.08
Nd	"	13.40	5.00	4.70	3.60	0.70	4.10
Sm	"	2.50	1.00	0.90	0.80	0.20	0.80
Eu	"	0.42	0.24	0.24	0.27	0.13	0.24
Gd	"	2.22	0.94	0.87	0.78	0.28	0.83
Tb	"	0.37	0.14	0.17	0.14	0.06	0.14
Dy	"	2.15	0.72	0.85	0.71	0.36	0.63
Ho	"	0.37	0.09	0.14	0.12	<.05	0.07
Er	"	1.07	0.17	0.41	0.33	0.13	0.14
Tm	"	0.15	<.05	0.07	<.05	<.05	<.05
Yb	"	1.06	0.11	0.40	0.33	<.05	0.10
Lu	"	0.17	0.01	0.06	0.05	0.01	0.01

ادامه جدول .۲-۴

نوع سنگ	ریولیت				
	شماره نمونه	SA-25	SA-26	SA-27	
	محل نمونه برداری	کلاته سا دات	دینا مهرگان	کمر سفید	
SiO ₂	%	72.54	72.64	72.92	73.14

Al2O3	"	16.94	17.23	17.52	17.55
FeO	"	0.28	0.37	0.35	0.36
Fe2O3	"	0.28	0.37	0.35	0.36
MgO	"	0.14	0.18	0.16	0.16
CaO	"	0.80	0.60	1.34	1.63
Na2O	"	5.27	6.22	5.58	5.17
K2O	"	3.55	3.17	2.36	2.32
TiO2	"	0.02	0.05	0.01	0.01
P2O5	"	0.01	0.06	0.01	0.01
MnO	"	0.09	0.03	0.07	0.06
Cr2O3	"	0.00	<.001	0.00	0.00
L.O.I.	"	1.50	0.60	0.80	0.70
Ba	ppm	502.80	487.80	310.80	304.00
Be	"	2.00	2.00	1.00	1.00
Co	"	<.5	0.50	<.5	<.5
Cs	"	2.00	1.20	1.20	1.70
Ga	"	16.80	17.20	18.30	19.80
Hf	"	2.10	1.90	1.90	1.70
Nb	"	7.10	6.30	10.60	10.60
Rb	"	71.30	65.90	46.00	47.50
Sr	"	246.70	644.30	283.20	314.10
Ta	"	0.70	0.50	1.00	1.00
Th	"	2.10	1.20	0.40	0.30
U	"	2.00	1.50	1.90	1.70
V	"	<5	<5	<5	<5
W	"	0.20	<.1	0.20	0.10
Zr	"	41.90	43.70	24.80	24.70
Y	"	6.40	4.30	4.80	4.90
La	"	4.10	3.40	3.00	2.90
Ce	"	7.90	6.90	4.70	5.30
Pr	"	0.98	0.84	0.61	0.63
Nd	"	3.30	3.60	2.50	2.50
Sm	"	1.00	0.70	1.00	1.00
Eu	"	0.23	0.26	0.30	0.32
Gd	"	1.04	0.64	1.23	1.20
Tb	"	0.18	0.14	0.19	0.21

Dy	"	0.96	0.68	0.89	1.03
Ho	"	0.16	0.12	0.11	0.11
Er	"	0.45	0.30	0.19	0.21
Tm	"	0.08	0.06	<.05	<.05
Yb	"	0.46	0.32	0.08	0.11
Lu	"	0.07	0.05	0.01	0.01

جدول ۳-۴- مقادیر نورماتیو نمونه‌های سنگی مورد مطالعه.

شماره نمونه	SA-1	SA-2	SA-3	SA-4	SA-5	SA-6
ترکیب سنگ شناسی	تراکی آندزیت			آندزیت		تراکی آندزیت
محل نمونه برداری	جفتای	شادمان	آبرود	جفتای	کمر سفید	کهنه
Apatite	0.26	0.36	0.46	0.39	0.43	0.36
Zircon	0.01	0.01	0.01	0.01	0.02	0.02
Ilmenite	1.33	1.22	0.98	1.06	0.95	0.85
Orthoclase	7.27	6.49	7.57	3.48	10.21	11.05
Albite	51.17	56.50	33.11	34.31	33.71	41.71
Anorthite	19.00	16.51	27.93	30.78	24.86	19.74
Pl-An	27.08	22.61	45.76	47.29	42.44	32.12
Crundum	0.00	0.00	0.00	0.00	1.53	0.45
Magnetite	6.60	5.84	6.56	5.83	4.11	3.31
Hematite	0.00	0.00	0.00	0.04	0.29	0.00
Diopside	1.43	3.47	4.81	0.21	0.00	0.00
Hyperstene	9.99	6.13	7.64	6.41	5.14	11.83
Quartz	0.00	0.00	10.47	15.64	16.49	9.02
Olivine	1.85	2.76	0.00	0.00	0.00	0.00
Nepheline	0.00	0.00	0.00	0.00	0.00	0.00
Sum(%) (Phases)	98.90	99.30	99.50	98.20	97.70	98.30
D.I.	58.44	62.99	51.15	53.43	60.41	61.78

ادامه جدول ۳-۴.

شماره نمونه	SA-7	SA-8	SA-9	SA-10	SA-11	SA-12
ترکیب سنگ شناسی	داسیت	تراکی داسیت	داسیت		ربولیت	
محل نمونه برداری	کهنه	آبرود	کهنه	نوده صرصمه	کلاته سادات	دنیا مهرگان
Apatite	0.26	0.52	0.31	0.31	0.07	0.12
Zircon	0.02	0.00	0.02	0.02	0.01	0.01

Ilmenite	0.91	0.78	0.89	0.29	0.04	0.08
Orthoclase	4.26	12.11	4.56	13.21	21.08	21.38
Albite	37.15	44.59	38.18	55.13	38.70	45.49
Anorthite	26.28	16.52	24.64	3.78	6.22	2.16
Pl-An	41.43	27.03	39.22	6.42	13.85	4.53
Crundum	0.10	1.37	0.00	4.30	6.98	6.68
Magnetite	3.88	2.36	3.92	1.17	0.36	0.43
Hematite	0.00	0.00	0.00	0.00	0.00	0.00
Diopside	0.00	0.00	0.57	0.00	0.00	0.00
Hyperstene	8.07	7.16	7.46	2.59	0.59	0.77
Quartz	18.13	13.01	19.04	19.08	26.48	23.76
Olivine	0.00	0.00	0.00	0.00	0.00	0.00
Nepheline	0.00	0.00	0.00	0.00	0.00	0.00
Sum(%) (Phases)	99.10	944.00	99.60	99.90	100.50	100.90
D.I.	59.54	69.71	61.78	87.42	86.26	90.63

ادامه جدول .۳-۴

شماره نمونه	SA-13	SA-14	SA-15	SA-16	SA-17	SA-18
محل نمونه برداری	مهر	سفید حر	شمال شرقی ساروق	شمال شرقی ساروق	کلاته سادات	طبس
ریولیت						
Apatite	0.10	0.07	0.07	0.14	0.14	0.14
Zircon	0.01	0.01	0.01	0.01	0.01	0.01
Ilmenite	0.19	0.08	0.14	0.14	0.15	0.13
Orthoclase	17.12	20.54	19.82	11.35	15.80	20.48
Albite	45.06	45.41	48.50	41.02	44.55	53.44
Anorthite	9.90	2.09	4.20	13.14	8.92	1.51
Pl-An	18.01	4.40	7.97	24.26	16.68	2.75
Crundum	3.21	6.45	4.07	1.73	3.38	2.45
Magnetite	0.74	0.41	0.60	0.52	0.64	0.35

Hematite	0.00	0.00	0.00	0.00	0.00	0.00
Diopside	0.00	0.00	0.00	0.00	0.00	0.00
Hyperstene	1.06	0.70	0.96	0.91	0.97	1.63
Quartz	23.37	24.61	22.20	29.06	25.72	19.73
Olivine	0.00	0.00	0.00	0.00	0.00	0.00
Nepheline	0.00	0.00	0.00	0.00	0.00	0.00
Sum(%) (Phases)	100.70	100.40	100.60	98.00	100.30	99.90
D.I.	85.55	90.56	90.52	81.43	86.07	93.65

ادامه جدول ۳-۴

شماره نمونه	SA-19	SA-20	SA-21	SA-22	SA-23	SA-24
ترکیب سنگ شناسی	ریولیت					
محل نمونه برداری	نوده صرصمه	روستای زردکوهی	گمانه معدن مهرگان	دنباله مهرگان	شمال شرقی ساروق	شمال روستای آبرود
Apatite	0.41	0.12	0.14	0.10	0.14	0.07
Zircon	0.01	0.01	0.01	0.01	0.01	0.01
Ilmenite	0.15	0.04	0.06	0.10	0.10	0.04
Orthoclase	20.66	22.16	20.54	18.32	15.68	24.87
Albite	44.63	43.17	43.34	55.04	59.86	47.13
Anorthite	3.88	5.78	7.42	1.97	1.12	2.57
Pl-An	8.00	11.81	14.62	3.46	1.84	5.17
Crundum	2.74	1.88	2.74	2.76	2.70	2.22
Magnetite	0.95	0.56	0.46	0.49	0.55	0.49
Hematite	0.00	0.00	0.00	0.00	0.00	0.00
Diopside	0.00	0.00	0.00	0.00	0.00	0.00
Hyperstene	2.13	0.84	0.69	0.77	0.97	0.75
Quartz	24.49	26.26	25.43	21.34	20.01	22.46
Olivine	0.00	0.00	0.00	0.00	0.00	0.00
Nepheline	0.00	0.00	0.00	0.00	0.00	0.00
Sum(%) (Phases)	100.10	100.80	100.80	100.90	101.10	100.60
D.I.	89.78	91.59	89.31	94.70	95.55	94.46

ادامه جدول ۳-۴.

شماره نمونه	SA-25	SA-26	SA-27	SA-28
ترکیب سنگ شناسی	ریولیت			
محل نمونه برداری	کلاته سادات	دنیا مهرگان	کمر سفید	شادمان
Apatite	0.02	0.14	0.02	0.02
Zircon	0.01	0.01	0.00	0.00
Ilmenite	0.04	0.10	0.02	0.02
Orthoclase	20.96	18.74	13.93	13.69
Albite	44.63	52.63	47.21	43.77
Anorthite	4.10	2.88	6.74	8.16
Pl-An	8.41	5.19	12.49	15.71
Crundum	2.92	2.51	3.32	3.54
Magnetite	0.41	0.54	0.50	0.52
Hematite	0.00	0.00	0.00	0.00
Diopside	0.00	0.00	0.00	0.00
Hyperstene	0.78	0.80	0.87	0.87
Quartz	26.10	22.65	28.08	30.20
Olivine	0.00	0.00	0.00	0.00
Nepheline	0.00	0.00	0.00	0.00
Sum(%) (Phases)	100.00	101.00	100.70	100.80
D.I.	91.69	94.02	89.22	87.66

۴-۴- کاربرد نتایج آنالیز شیمیایی نمونه‌ها در رده‌بندی و نامگذاری آنها

در پترولوزی آذرین، داده‌های حاصل از تجزیه شیمیایی و به خصوص عناصر اصلی، بطور گستردگی جهت طبقه‌بندی و نامگذاری سنگ‌های آذرین مورد استفاده قرار می‌گیرند. طبقه‌بندی معمول سنگ‌ها بر اساس نمودارهایی صورت می‌گیرد که در آنها از دو یا چند اکسید اصلی که در طبقه‌بندی سنگ‌های آذرین از اهمیت خاصی برخوردار هستند، استفاده می‌شود.

۵-۴- رده‌بندی و نامگذاری سنگ‌های نیمه عمیق

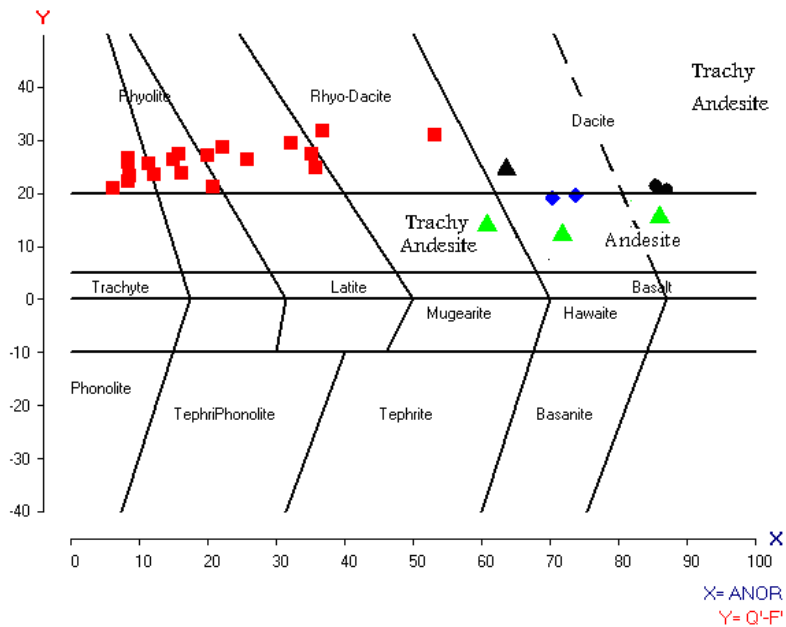
جهت ردهبندی و نامگذاری شیمیایی سنگهای مورد مطالعه از ردهبندی‌های مختلف سنگهای آتششانی استفاده شده است که، مهمترین آنها عبارتند از :

- طبقه‌بندی کانی‌شناسی و شیمیایی (طبقه‌بندی نورماتیو).

- طبقه‌بندی شیمیایی

۴-۱-۵- طبقه بندی نورماتیو

نورم روشنی است که در آن بر مبنای نتایج آنالیز شیمیایی نمونه‌های سنگی، کانیهای مجازی آنها ساخته می‌شود و سپس بر مبنای مقادیر کانیهای ساخته شده، نامگذاری سنگها صورت می‌گیرد یا از آنها در تعریف پارامترهایی نظیر ضریب تفرقه استفاده می‌شود. نتایج مقادیر نورماتیو در جدول ۳-۴ آمده است. در این بخش جهت ردهبندی سنگها با توجه به نتایج آنالیز نورماتیو از نمودار 'Q' و 'Anor' استفاده شده است. در این نمودار، نمونه‌های سنگی مورد مطالعه در محدوده ریولیت، ریوداسیت، داسیت، تراکی‌آندریت و آندزیت قرار می‌گیرند، که با پتروگرافی آنها سازگار است و همدیگر را تأیید می‌کنند (شکل ۱-۴).

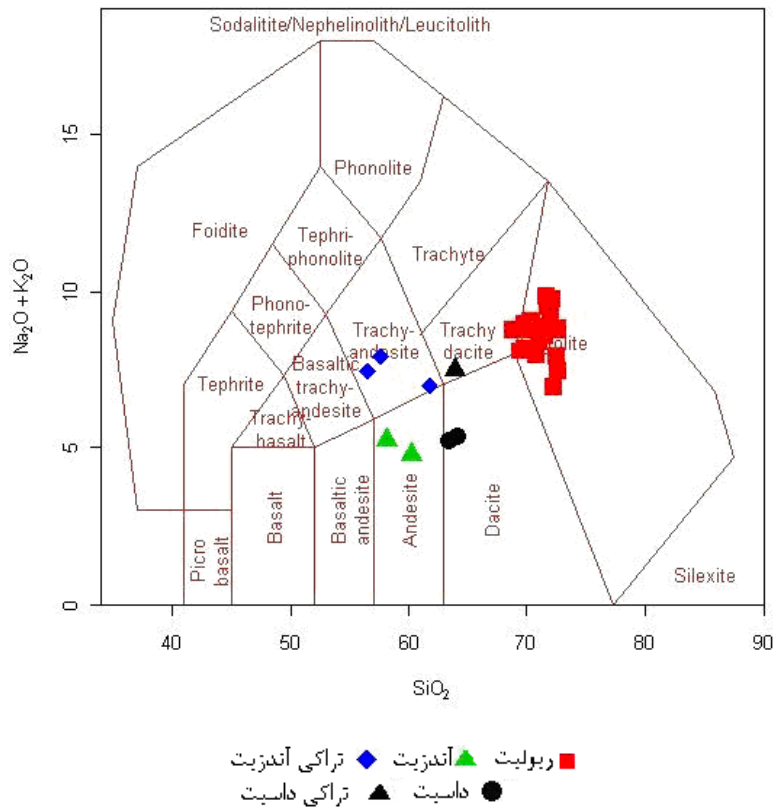


شکل ۱-۴- رده‌بندی سنگهای نیمه عمیق مورد مطالعه با استفاده از ترکیبات نورماتیو و پارامترهای Q' و $Anor$ (اشتریکایزن و لومتر، ۱۹۷۹). این نمودار توسط نرم افزار پتروگراف تهیه و ترسیم شده است.

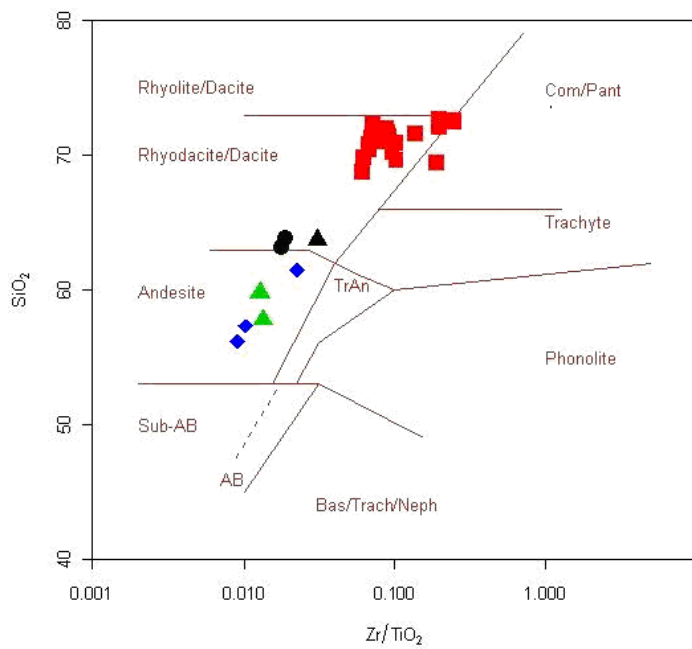
۲-۵-۴- طبقه‌بندی شیمیایی

- در اغلب طبقه‌بندی‌های شیمیایی درصد تعدادی از اکسیدها که در ساختمان کانیهای اصلی سنگ نقش اساسی دارند، مورد توجه قرار می‌گیرند. در برخی دیگر نیز با استفاده از نتایج آنالیز شیمیایی اکسیدهای اصلی سنگ، میزان میلی کاتیون عناصر خاص را محاسبه کرده و سپس نسبت‌های کاتیونی ویژه‌ای را در رده‌بندی‌های سنگهای آذرین به کار می‌برند. با توجه به مطالب ذکر شده، سنگهای نیمه عمیق منطقه مورد مطالعه به دو روش طبقه‌بندی میدلموست (۱۹۹۴) و طبقه‌بندی فلويد و وینچستر (۱۹۷۷) نامگذاری شده‌اند.

- با توجه به نمودار Na_2O+K_2O در مقابل SiO_2 (میدلموست، ۱۹۹۴)، سنگهای مورد مطالعه دارای ترکیب سنگ شناسی ریولیت، داسیت، تراکی‌داسیت، آندزیت و تراکی‌آندزیت می‌باشند (شکل ۲-۴). مشاهدات پتروگرافی نیز این نتیجه‌گیری را تأیید می‌کند. در ضمن، با توجه به نمودار SiO_2 در مقابل Zr/TiO_2 (فلويد و وینچستر، ۱۹۷۷) نمونه‌های سنگی مورد مطالعه در محدوده ترکیبی آندزیت، ریوداسیت و داسیت واقع می‌شوند (شکل ۳-۴).



شکل ۴-۲- نمودار طبقه‌بندی سنگهای آتشفشاری (میدلموست، ۱۹۹۴). به موقعیت نمونه‌های مورد مطالعه بر روی این نمودار توجه نمائید.



شکل ۴-۳- نمودار طبقه‌بندی سنگهای آتشفشاری (فلوید و وینچستر، ۱۹۷۷). موقعیت نمونه‌های مورد مطالعه بر روی این نمودار نشان داده شده است.

۶-۴- بررسی تغییر و تحولات ژئوشیمیایی به کمک نمودارهای تغییرات

با استفاده از نمودارهای تغییرات می‌توان روابط ژئوشیمیایی و پترولوزیکی بین سنگهای موجود در یک منطقه را تعیین کرد. در این نمودارها، حجم زیادی از اطلاعات عددی به طور فشرده نمایش داده می‌شوند. تغییرات مشاهده شده در آنها ناشی از فرایندهایی نظیر تبلور تفریقی، ذوب بخشی، اختلاط ماقمایی یا آلایش و هضم پوسته‌ای است (ویلسون^۳، ۱۹۸۹). روندهای ناشی از عملکرد این عوامل به صورت منفرد و یا همراه با یکدیگر به نمایش گذاشته می‌شوند. در تفسیر روندهای مشاهده شده نمودارهای تغییرات باید جانب احتیاط را رعایت نمود. چون ممکن است در اثر عملکرد فرایندهای متفاوت روندهای مشابهی مشاهده شود.

جهت بررسی تحولات پترولوزیکی در جریان توسعه و تبلور ماقمایی، نمودارهای گوناگونی توسط پترولوزیستها ارائه شده است که از آن جمله می‌توان به نمودارهای عناصر اصلی و کمیاب در مقابل SiO_2 (هارکر، ۱۹۰۹) و نمودارهای درصد اکسید عناصر اصلی و کمیاب در مقابل ضریب تفریق (تورنتن و تانل، ۱۹۶۰) اشاره کرد. این نمودارها روند تحول ماقمایی را از هنگام تشکیل تا زمان جایگزینی نشان می‌دهند.

۶-۴-۱- نمودارهای هارکر

در نگاه اول نکته جالب توجهی که از این نمودارها استنباط می‌شود آن است که یک وقفه ترکیبی بین نمونه‌های دارای ترکیب حد بواسطه متمایل به اسیدی (آندرزیت، تراکی آندزیت، داسیت و تراکی داسیت) و نمونه‌های اسیدی‌تر (ریولیتی) مشاهده می‌شود. اکثر نمونه‌های مورد مطالعه (تعداد ۲۰ نمونه از ۲۸ نمونه آنالیز شده) دارای ترکیب ریولیتی هستند که این نتیجه‌گیری توسط روابط صحرایی نیز تأیید می‌گردد. ریولیتها از طیف ترکیبی بسیار محدودی برخوردار هستند و مقدار SiO_2 آنها از ۷۴ تا ۶۸ درصد متغیر است. در نتیجه، در بسیاری از نمودارهای هارکر محدوده بسیار کوچکی را به خود اختصاص می‌دهند. به همین خاطر روند تغییرات بارزی در آنها مشاهده نمی‌شود ولی با این وجود، در نمودارهای ($\text{K}_2\text{O}/\text{SiO}_2$)^۴ و $\text{Na}_2\text{O}/\text{SiO}_2$ با افزایش SiO_2 تغییرات افزایشی (روند صعودی) محسوسی مشاهده می‌شود. در مقابل در بعضی

^۳- Wilson

اکسیدهای عناصر اصلی نظیر SiO_2 , FeO , MnO , MgO , CaO , TiO_2 و Fe_2O_3 تغییرات نزولی محسوسی مشاهده می‌گردد.

از تغییر و تحولات ذکر شده نتیجه می‌گیریم که بین سنگهای حدواسط متمایل به اسیدی، روند تحولی بارزی وجود دارد. در مقابل، در سنگهای ریولیتی، تغییر و تحولات از گسترش و توسعه کمی برخوردار است. ترکیب کانی شناسی بسیار محدود ریولیتها، مؤید نتیجه‌گیری ذکر شده می‌باشد. با توجه به بررسی این نمودارها، این سؤال پیش می‌آید که چرا بین ریولیتها و سایر ترکیبات سنگی مورد مطالعه وقفه ترکیبی وجود دارد.

- آیا این سنگها از دو منشأ متفاوت هستند؟

- آیا ریولیتها قطب بسیار تفرقی یافته (بخشهای بسیار تفرقی یافته) این سنگها هستند؟

- آیا ریولیتها با سایر ترکیبات سنگی مورد مطالعه دارای اختلاف سنی هستند؟

برای پاسخ دادن به این سؤالات در نظر گرفتن چند نکته ضروری می‌باشد.

- بین سنگهای ریولیتی و سنگهای حدواسط (آندریت، تراکی‌آندریت، داسیت و تراکی‌داسیت) در روی زمین اجتماع بسیار نزدیکی مشاهده نشده است تا بتوان مستقیماً با توجه به شواهد صحرایی در منطقه مورد مطالعه به سؤالات مطرح شده پاسخ داد.

- اکثر سنگهای ریولیتی به صورت گنبدهای نسبتاً مرتفع رخنمون پیدا کرده‌اند، در حالی که سایر ترکیبات سنگی به صورت دایک یا توده‌های نفوذی (نیمه عمیق) ظاهر شده‌اند و از وسعت کمی هم برخوردارند.

- سنگ میزبان همه سنگهای مورد مطالعه وابسته به مجموعه افیولیتی سبزوار هستند و دارای سن تقریباً یکسانی می‌باشند. لذا شواهد صحرایی نمی‌تواند تقدم یا تأخیر آنها را نسبت به یکدیگر تأیید یا تکذیب کند. ولی در خارج از منطقه مورد مطالعه به ویژه در حدفاصل اسپراین-قوچان گنبدهایی با ترکیبات تقریباً مشابه وجود دارند که عمدتاً دارای ترکیب آندزیتی تا داسیتی هستند. در برخی از این گنبدها تزریق ریولیتها به درون داسیتها و آندزیتها مشاهده می‌شود (قاسمی و همکاران، ۱۳۸۳).

خوبی‌ترانه در آخرین بازدید صحرایی که از منطقه ششتمد به عمل آمد مشخص گردید که ترکیبات سنگی مشابه ولی با جایگاه درونی از جمله گرانیت، گرانوودیوریت و دیوریت یا کوارتزدیوریت در این منطقه رخنمون دارند که گرانیتها و گرانوودیوریتها، سنگهای دیوریتی و کوارتزدیوریتی را قطع کرده‌اند. لذا در عین حال

اینکه اندکی جوانتر هستند، عضو تفرقه یافته ماقمای دیوریتی (یا آندزیتی) می‌باشند. از این رو، ارتباط ژنتیکی و سنی بسیار نزدیکی بین سنگهای حدواسط و سنگهای اسیدی بسیار تفرقه یافته وجود دارد (صادقیان، مشاهدات صحرائی).

برای دستیابی به پاسخ سؤالات ذکر شده یک راه میانبر وجود دارد و آن این است که رابطه بین ترکیبات سنگی تفرقه یافته (ریولیتها) و سایر ترکیبات سنگی در محدوده گسترده‌تر مورد بررسی قرار گیرد. در ضمن نتایج آنالیز شیمی مربوط به توده‌های نفوذی چاه سالار، ششتمد و نامن که هر دوی آنها در بین سنگهای وابسته به مجموعه افیولیتی سبزوار نفوذ کرده‌اند را به صورت مقایسه‌ای مورد بحث و بررسی قرار می‌دهیم (شکل ۶-۴). در نمودارهای ارائه شده در این شکل، مشاهده می‌کنیم وقهه ترکیبی بین سنگهای اسیدی و حدواسط به راحتی پر می‌شود و بیانگر منشأ تفرقه ریولیتها از یک ماقمای آندزیتی می‌باشد.

با توجه به نمودارهای (شکل ۶-۴) SiO_2 ، FeO ، Al_2O_3 ، K_2O و Na_2O در مقابل نتیجه می‌گیریم که، وقهه ترکیبی بین سنگهای ریولیتی و سایر ترکیبات حدواسط به خوبی پر می‌گردد و می‌توان نتیجه گرفت که، ریولیتها بخش‌های بسیار تفرقه یافته ماقماهایی با ترکیب آندزیت تا داسیت هستند که پس از تفرقه یافتگی به ترازهای بالاتر پوسته صعود کرده‌اند و به صورت گند جایگزین گردیده‌اند.

تعیین سن‌هایی که توسط اسپایس و همکاران (۱۹۸۳) بر روی برخی از این توده‌های نفوذی یا نیمه نفوذی صورت گرفته طیف وسیعی را دربر می‌گیرند و از ۳ تا ۱۹ میلیون سال در تغییر است. ولی از آنجایی که این تعیین سن‌ها سیستماتیک صورت نگرفته است نتایج بدست آمده با تردیدهایی همراه است و در ضمن برای نقد و بررسی مناسب نیستند. با این وجود با توجه به مشاهدات صحرایی آنها از میوسن جوانتر هستند و جوانترین آنها کنگلومرات پلیوسن را در کنار رستاهای کاهان از توابع سرولایت (قوچان) قطع نموده است. تعیین سن مطلق حدود ۱/۱ تا ۲/۱ میلیون سال نیز برای سنگهای نیمه عمیق داسیتی منطقه گند کاهان بدست آمده است (قاسمی و همکاران، ۱۳۸۳).

۶-۴-۲- نمودارهای هارکر برخی عناصر کمیاب

همانطور که در شکل ۵-۴ مشاهده می‌کنید عناصر Rb ، Cs و U در مقابل افزایش سیلیس روند افزایشی و عناصر Yb و La با افزایش سیلیس روند کاهشی نشان می‌دهند. در نمودارهای Sr/SiO_2 ، Zr/SiO_2 و Hf/SiO_2 واضحی مشاهده نمی‌شود. همچنین وقهه ترکیبی مشاهده شده در نمودارهای قبلی به وضوح در این نمودارها

مشاهده می‌شود. در این نمودارها نیز روند تفریق برای سنگهای نیمه عمیق منطقه مورد مطالعه تأیید می‌شود.

۴-۳-۶- نمودارهای شاخص تفریق

ضریب تفریق برابر است با مجموعه درصد کانیهای روش نورماتیو حاصل از محاسبه نورم که با فرمول شیمیایی، $Dl = Q + Or + Pl + Ne + Luc$ تعریف می‌شود. همانطور که از نمودارهای ارائه شده در شکل ۷-۴ مشهود است، با افزایش شاخص تفریق، مقادیر CaO , FeO , MgO و SiO_2 کاهش و مقادیر Na_2O و K_2O افزایش می‌یابد. این روندها با روند تفریق کاملاً سازگار است. مجموع این تغییرات معرف پیشرفت تفریق ماقمایی، کاهش مقدار کانیهای مافیک و تبلور فلدسپار پتاسیم (سانیدین) و پلازیوکلاز (آلبیت-الیگوکلاز) در مراحل پایانی تبلور تفریقی و تشکیل ماقمای ریولیتی می‌باشند. در مجموع می‌توان گفت گنبدهای نیمه عمیق منطقه متحمل تفریق ماقمایی شده‌اند. در این نمودارها نیز، وقهه ترکیبی ذکر شده در مبحث قبلی به وضوح مشاهده می‌شود.

۴-۴-۶- نمودارهای شاخص انجماد

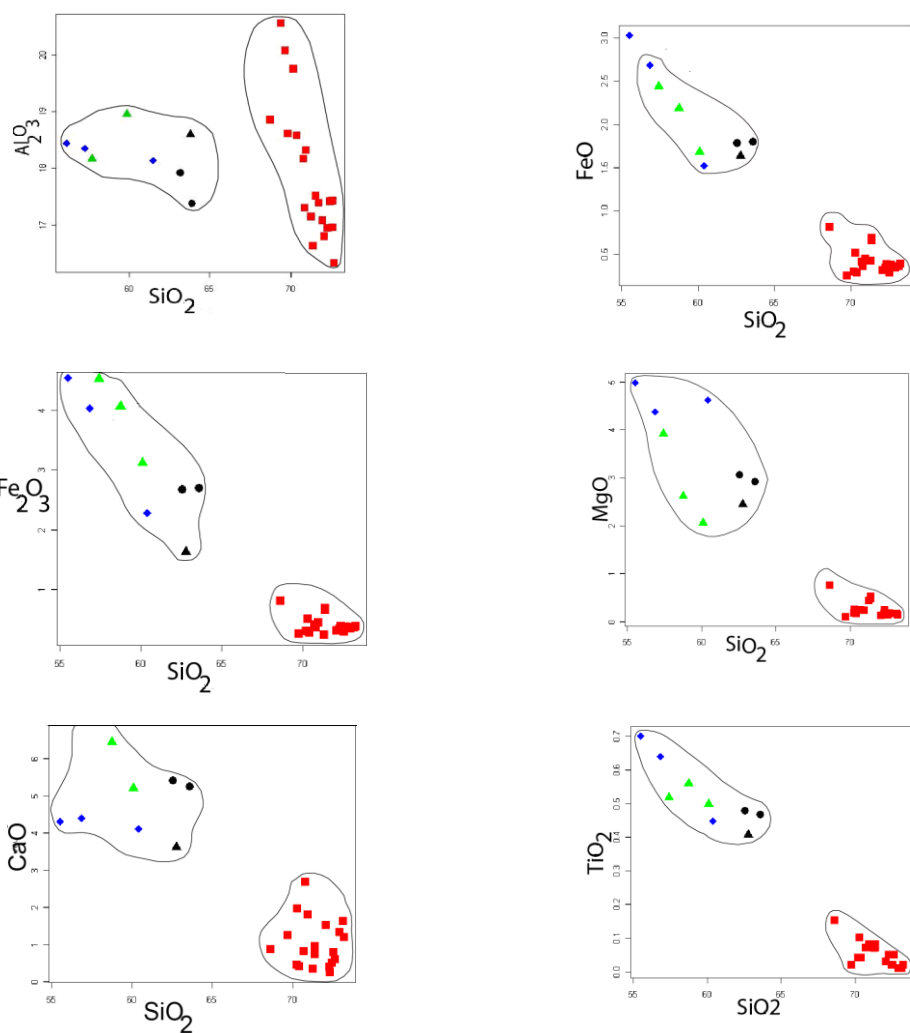
شاخص انجماد با فرمول شیمیایی $S.I = 100 * (MgO / Na_2O + K_2O + FeO_{tot} + MgO)$ تعریف می‌شود. نمودارهای شاخص انجماد برای نمونه‌های مورد مطالعه نیز مورد بررسی قرار گرفت (شکل ۸-۴). در این نمودارها نیز وقهه ترکیبی میان سنگهای اسیدی و حدواست به وضوح مشاهده می‌شود. بررسی این نمودارها نیز از وقوع فرایند تفریق ماقمایی در بین نمونه‌های مورد مطالعه حکایت می‌کند.

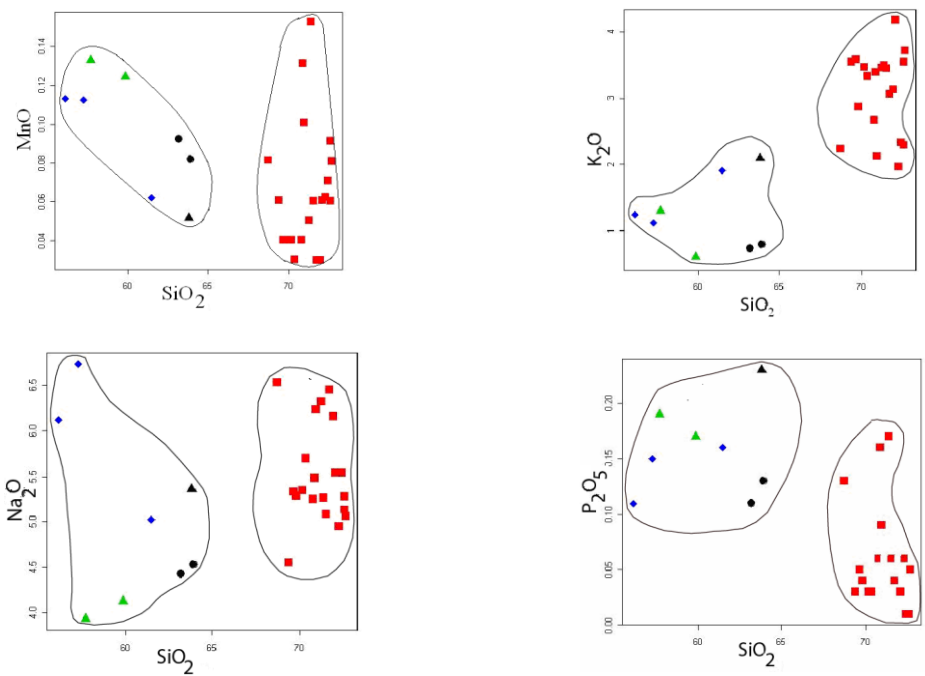
۷-۴- تعیین سری ماقمایی

برای تعیین سری ماقمایی گنبدهای نیمه عمیق منطقه باشتنی از نمودارهای AFM (ایروین و بارگار^۴، ۱۹۷۱) در شکل ۴-۹-الف و $K_2O - SiO_2$ (پکسریلو و تایلور^۵، ۱۹۷۶) در شکل ۴-۹-ب استفاده شده است. براساس موقعیت قرارگیری نمونه‌ها در این نمودارها، نمونه‌های سنگی مورد نظر به سری کالک-آلکالن عادی و کالک-آلکالن پتاسیم بالا تعلق دارند.

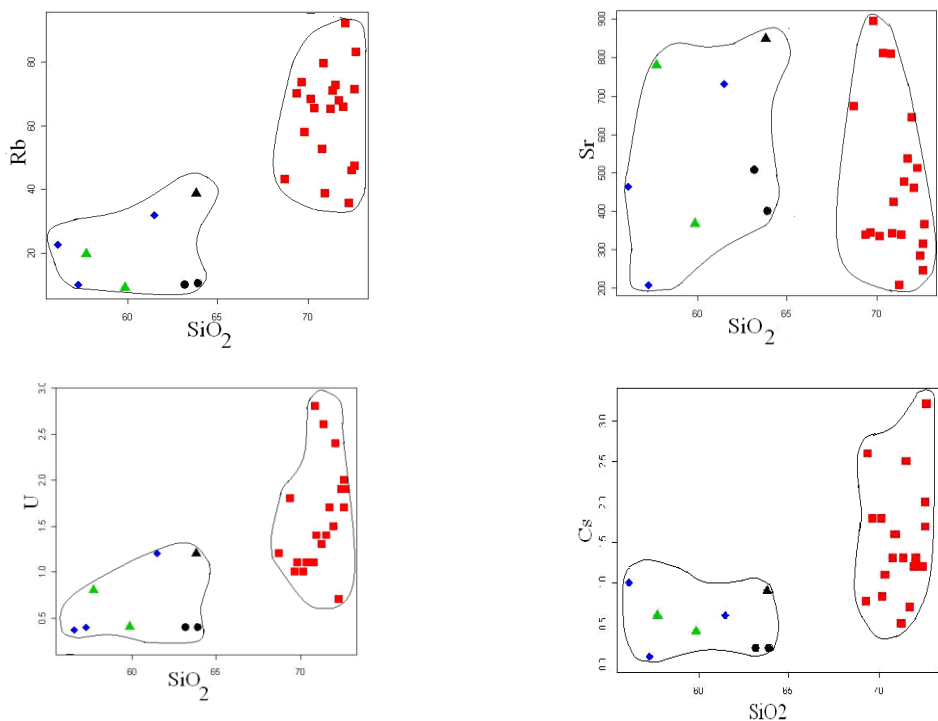
^۴-Irvin &Bargar

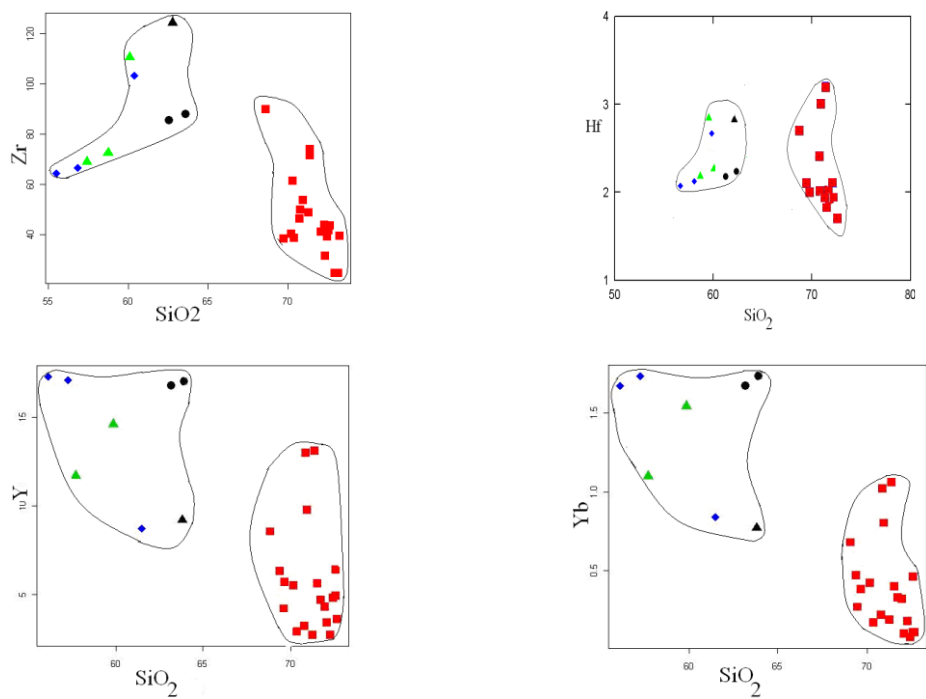
^۵- Peccerillo &Taylor



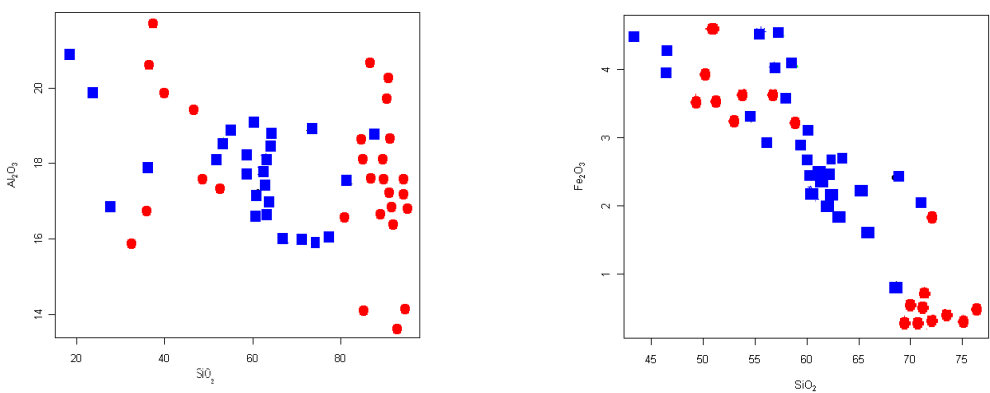


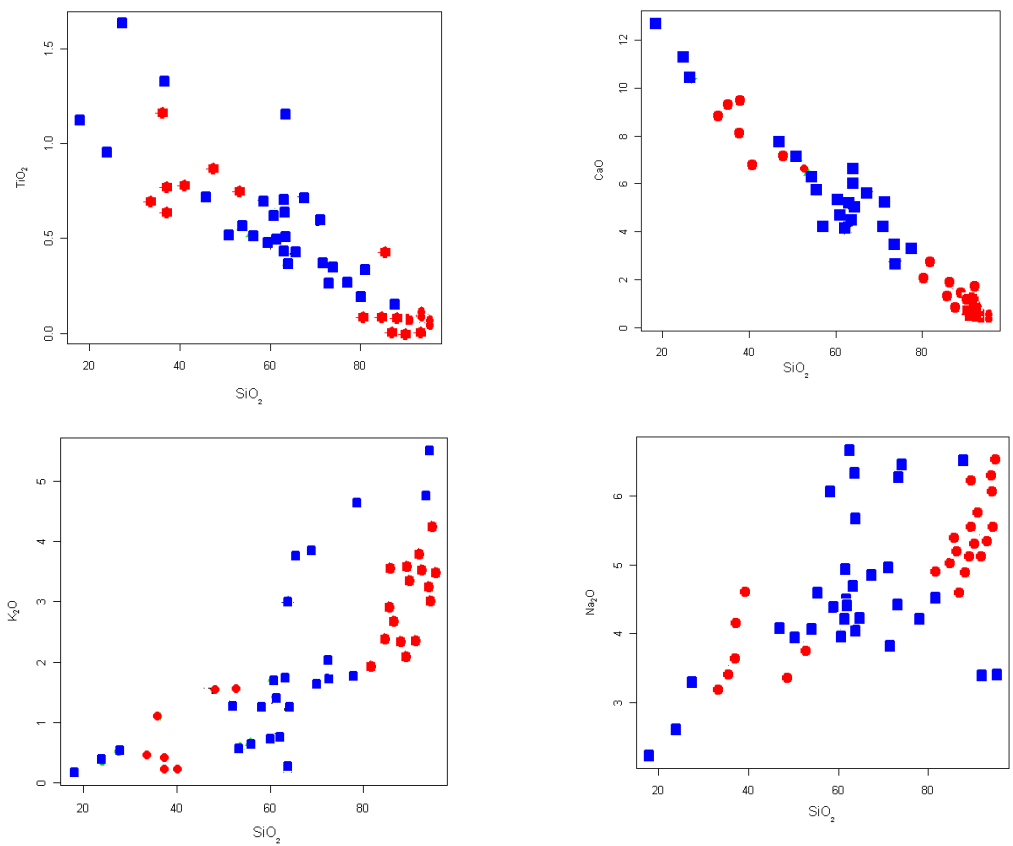
شکل ۴-۴- نمودارهای درصد اکسیدهای عناصر اصلی در مقابل SiO_2 (نمودارهای هارکر) نمونه‌های سنگی مورد مطالعه.





شکل ۴-۵- نمودارهای عناصر کمیاب در مقابل درصد SiO_2

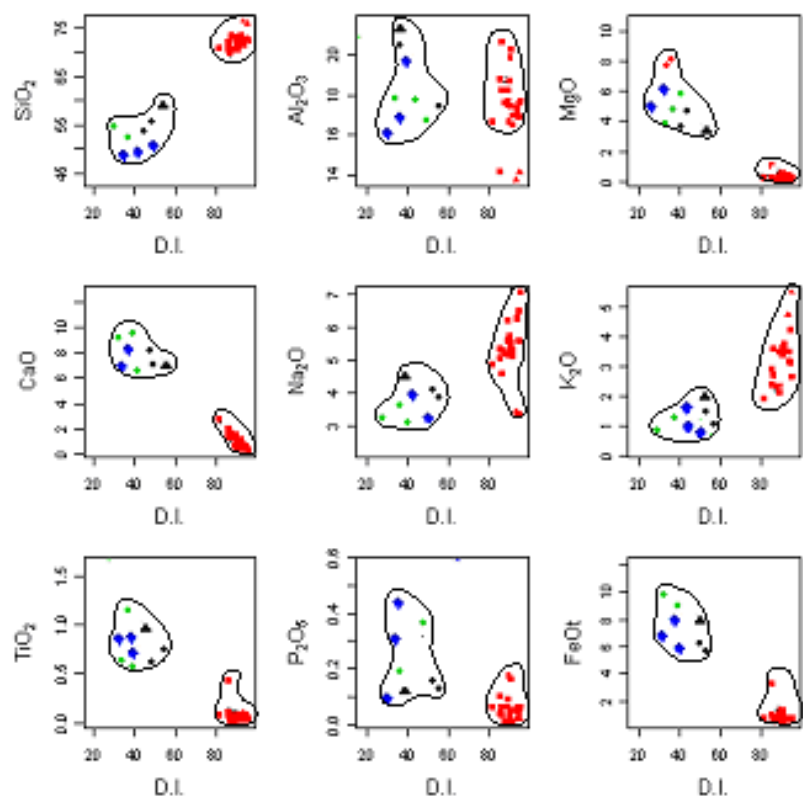




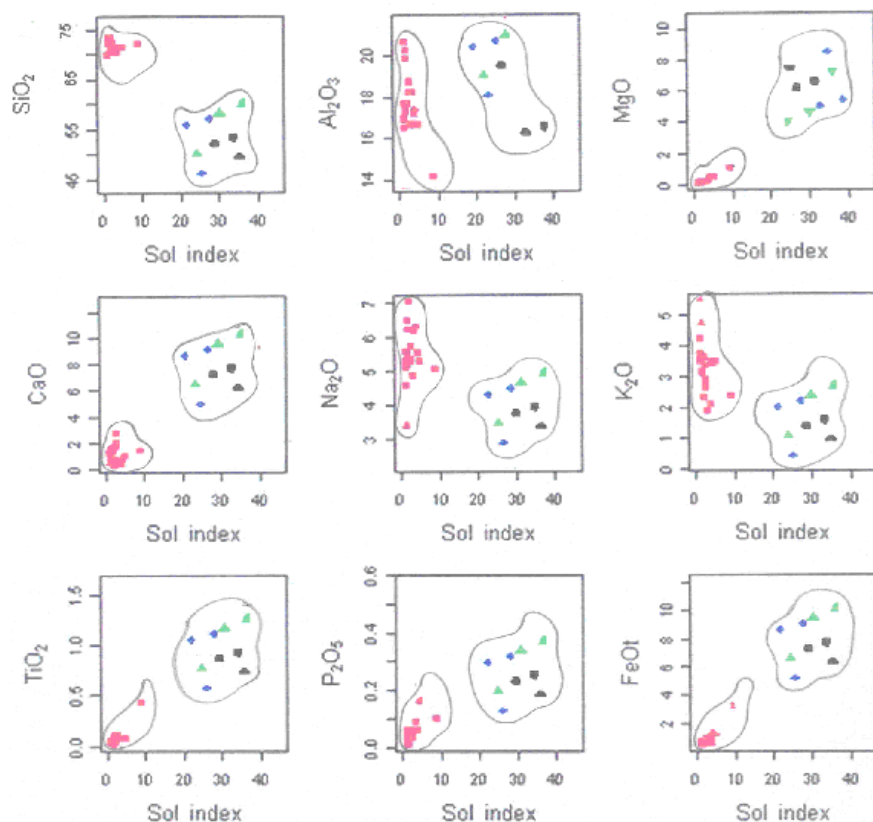
شکل ۴-۶- نمودارهای هارکر مربوط به نمونه‌های نیمه عمیق منطقه مورد مطالعه، همراه با نمونه‌های متعلق به توده‌های نفوذی چاه سالار، ششتمد و نامن. نتایج آنالیز شیمیایی متعلق به توده‌های نفوذی چاه‌سالار از فارسی (۱۳۸۶) و نتایج آنالیز مربوط به توده نفوذی ششتمد از گوهرشاهی (۱۳۸۰) اقتباس شده‌اند.

نمونه‌های سنگی منطقه باشندین.

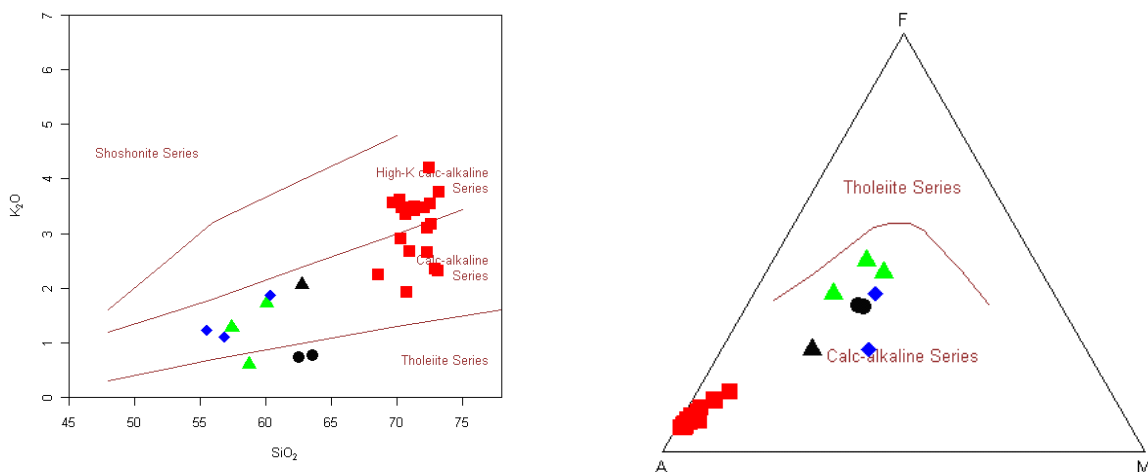
نمونه‌های سنگی متعلق به توده‌های نفوذی چاه سالار، ششتمد و نامن.



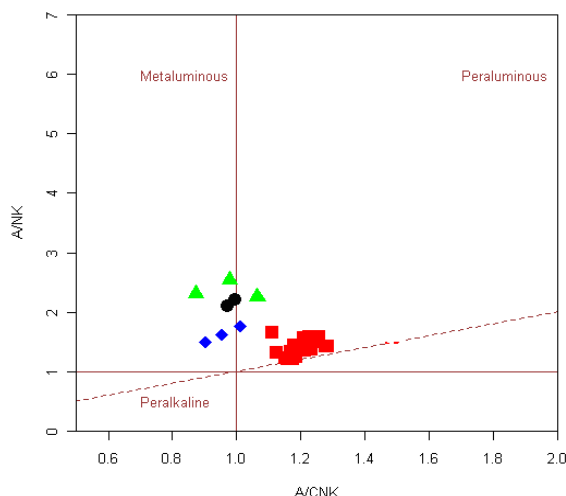
شکل ۷-۴- نمودارهای شاخص تفریق در مقابل درصد وزنی اکسیدهای عناصر اصلی (تورنتن و تانل ۱۹۶۰).



شکل ۸-۴- نمودارهای شاخص انجماد در مقابل درصد وزنی اکسیدهای عناصر اصلی(کونو ۱۹۷۵).



شکل ۴-۹-الف-نمودار AFM برای تعیین سری ماقمایی سنگهای SiO_2 در مقابل K_2O (پکسربیلو و تایلور، ۱۹۷۶) و موقعیت نمونه‌های سنگی منطقه (ایروین و باراگار، ۱۹۷۱) و موقعیت نمونه‌های سنگی منطقه باشتنی بر روی آن. باشتنی بر روی آن.



شکل ۴-۱۰-ب-نمودار A/NK در مقابل A/CNK (شاند، ۱۹۴۳)، که موقعیت

ترکیبی نمونه‌های مورد مطالعه بر روی آن نشان داده شده است.

با توجه به نمودار A/NK در مقابل A/CNK (شاند، ۱۹۴۳)، در شکل ۴-۱۰-ب، سنگهای ریولیتی مورد مطالعه دارای ماهیت پرآلومین ضعیف هستند. ولی داسیتها، تراکی‌داسیتها، تراکی‌آندزیتها و آندزیتها به سمت محدوده متآلومین گرایش نشان می‌دهند. در مجموع نمونه‌های سنگی مورد مطالعه ماهیت متآلومین نشان

می‌دهند و گرایش ضعیف ریولیت‌ها به سمت محدوده پرآلومین از کائولینیتی شدن فلدسپات‌های آلکالن ناشی شده است.

۸-۴- نمودارهای عنکبوتی

بررسی عناصر کمیاب بخش اصلی پترولوزی مدرن بوده و نسبت به عناصر اصلی در تمایز کردن فرایندهای پترولوزی کارایی زیادی دارد.

نمودارهای عنکبوتی به کار رفته برای بررسی رفتار ژئوشیمیایی نمونه‌های مورد مطالعه عبارتند از:

- نمودار عنکبوتی چند عنصری هنجار شده نسبت به متئوریت کندریتی (سان و مکدونالد، ۱۹۸۹).
- نمودار عنکبوتی چند عنصری هنجار شده نسبت به گوشه اولیه و قدیمی (وود و همکاران، ۱۹۷۹).
- نمودار عنکبوتی عناصر کمیاب خاکی (REE) هنجار شده به مقادیر کندریتی (سان و مکدونالد، ۱۹۸۹).
- نمودار عنکبوتی عناصر کمیاب خاکی هنجار شده نسبت به متئوریت کندریتی (۱۹۸۹)، که به صورت گروههای سنگی مورد مقایسه قرار گرفته است.

این نمودارها در شکلهای ۱۱-۴ تا ۱۴-۴ نشان داده شده‌اند.

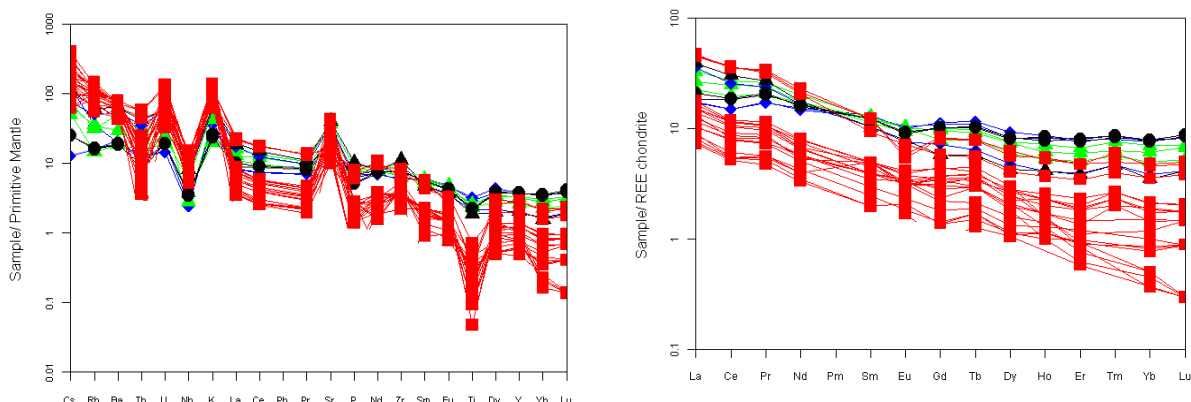
همانطور که از شکل ۱۱-۴ استنباط می‌شود، همه نمونه‌های مورد مطالعه از عناصر کمیاب خاکی LREE غنی‌شدگی و از عناصر کمیاب خاکی سنگین تهی‌شدگی نشان می‌دهند. غنی‌شدگی از LILE و تهی‌شدگی از HFSE، بیانگر ماقمatisیم مربوط به قوس است (پارادا^۷ و همکاران، ۱۹۹۹). حضور فاز گارنت دار، به عنوان فاز برخای مانده، که میزان عناصر خاکی سنگین است، باعث می‌شود در مذاب باقیمانده میزان این عناصر کاهش یابد و مذابی غنی از عناصر LILE و فقیر از HFSE به وجود آید. همچنین عدم آنومالی منفی Eu، در روند این نمودارها مشاهده می‌شود. آنومالی Eu اغلب به وسیله پلازیوکلازها به ویژه در مذاب فلزیک کنترل می‌شود. زیرا Eu (در حالت ۲ ظرفیتی) در پلازیوکلازها و فلدسپار پتابسیم سازگار است. در حالی که سایر REE‌های سه ظرفیتی ناسازگار هستند. با توجه به شکلهای ۱۲-۴ تا ۱۴-۴، نمونه‌های مورد مطالعه از عناصر Ti، Th و آنومالی منفی Nb می‌تواند در اثر آغشتگی و اختلاط ماقمما با مواد پوسته قاره‌ای حاصل شده باشد.

^۷-Parada

(رولینسون^۸، ۱۹۹۳). وجود هورنبلند در منشأ می‌تواند عناصر Ti و Nb را در خود نگه دارد و باعث آنومالی منفی این عناصر در مذاب باقیمانده شود.

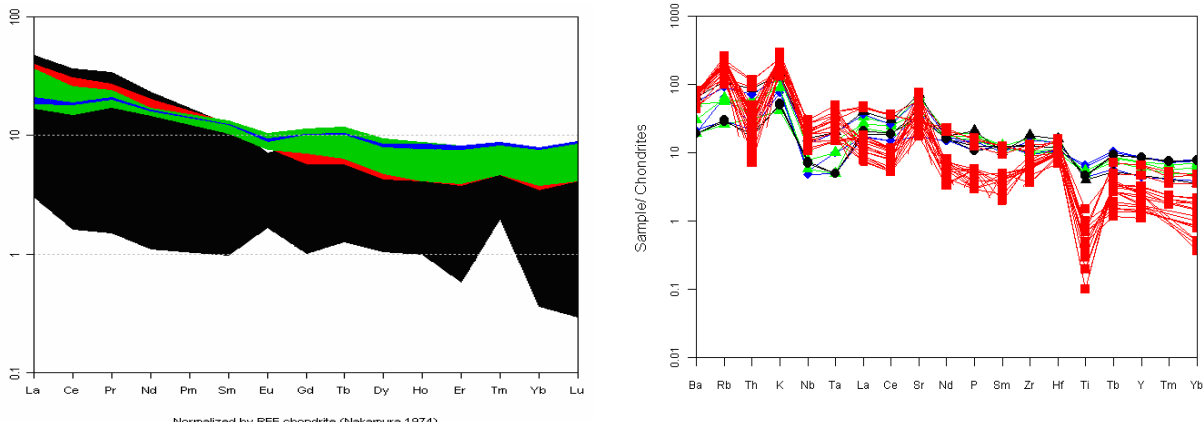
در نمودار عنکبوتی نشان داده شده در شکل ۱۲-۴، نمونه‌های مورد مطالعه از Ti و Nb آنومالی منفی نشان داده و از Sr و K آنومالی مثبت نشان می‌دهند. با توجه به شکل ۱۳-۴ ملاحظه می‌شود، نمونه‌های مورد مطالعه نسبت به گوشه‌های از عناصر Th، Nb و Ti تهی شدگی و از عناصر Ba، K و Sr غنی شدگی نشان می‌دهند. غنی شدگی شدید Sr و U و غنی شدگی نسبی از Cs، Rb، Ba و عناصر نادر سبک می‌تواند با تفریق یافته‌گی یا آلایش پوسته‌ای مانگما در ارتباط باشد که در نمودارهای عنکبوتی مربوط به نمونه‌های مورد مطالعه به وضوح قابل مشاهده است.

همچنین غنی شدگی شدید از عناصر LILE همچون K، Rb و Ba و تهی شدگی از عناصر HFSE همچون Zr، Nb و Yb که مشخصه بارز سنگهای قوس‌های آتش‌شانی است (پیرس و همکاران، ۱۹۸۴ و محمد و همکاران، ۲۰۰۰)، در نمودارهای عنکبوتی نمونه‌های مورد مطالعه مشاهده می‌گردد. همانطور که گفته شد، نمونه‌های مورد مطالعه از عناصر HFSE مانند Sc، V، Nb و عناصر خاکی کمیاب سنگین (HREE) مانند Yb و Er فقیر هستند که این امر یکی از ویژگیهای محیط فرورانش است (ولیسون، ۱۹۸۹). پیک منفی عنصر Nb که به وضوح در نمودارهای مذکور مشاهده می‌شود، شاخص مانگماتیسم کالک-آلکالن موجود در زون فرورانش است و میزان تهی شدگی و یا غنی شدگی آن می‌تواند با میزان تأثیر پوسته در تحولات مانگماتیسم مرتبط می‌باشد (رولینسون ۱۹۹۳). با توجه به شکل ۱۴-۴، در مجموع سنگهای ریولیتی از عناصر کمیاب خاکی سبک غنی شدگی نشان می‌دهند و در مقابل سنگهای آندزیتی و تراکی آندزیتی از عناصر کمیاب خاکی سنگین غنی‌تر می‌باشند.



^۸- Rowlinson

شکل ۱۱-۴- نمودار عنکبوتی عناصر کمیاب خاکی (REE) هنجار شکل ۱۲-۴- نمودار عنکبوتی جند عنصری هنجارشده نسبت به گوشه اولیه و قدیمی (وود و همکاران، ۱۹۷۹). شده به مقادیر متئوریت کندریتی (سان و مکدونالد، ۱۹۸۹).



شکل ۱۳-۴- نمودار عنکبوتی چند عنصری هنجار شده نسبت به متئوریت کندریتی (سان و مکدونالد، ۱۹۸۹). موردن مقایسه قرار گرفته است (سان و مکدونالد، ۱۹۸۹).

داسیت	■	ریولیت	■
تراکی آندزیت	■	آندرزیت	■

۹-۴- بررسی ویژگیهای ژئوشیمیایی سنگهای نیمه عمیق

در راستای مطالعه ژئوشیمی سنگهای مورد مطالعه و مقایسه آنها با منابع علمی منتشر شده، مشخص گردید که سنگهای مورد مطالعه دارای شباهت بسیار زیادی با آداکیتها هستند. از این رو ویژگیهای ژئوشیمیایی سنگهای مورد مطالعه با ویژگیهای ژئوشیمیایی آداکیتها (کاستیلو^۹، ۲۰۰۶)، مقایسه شده و در جدول ۴-۴ ارائه گردیده است. نتیجه این مقایسه نشان می‌دهد که سنگهای نیمه عمیق منطقه باشتنی بسیاری از ویژگیهای ژئوشیمیایی مشابه آداکیتها را دارند و با تمام موارد احتیاطی، می‌توان آنها را آداکیت نامید.

جدول ۴-۴- مقایسه ویژگیهای ژئوشیمیایی سنگهای مورد مطالعه با ویژگیهای ژئوشیمیایی مطرح شده توسط کاستیلو (۲۰۰۶).

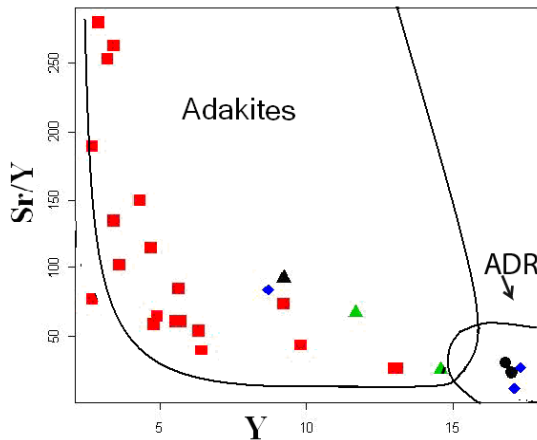
مقادیر محاسبه شده برای آداکیتها سیزوار	معیارهای شناخت آداکیتها
$\text{SiO}_2 > 69.3$	$\text{SiO}_2 > 56$

^۹-Castillo

$\text{Al}_2\text{O}_3 \geq 17.66$	$\text{Al}_2\text{O}_3 \geq 15$
$\text{MgO} < 0.82$	$\text{MgO} < 3$
$\text{Sr} > 497.2$	$\text{Sr} > 300$
فقدان آنومالی منفی Eu	فقدان آنومالی منفی Eu
$\text{Y} < 15$	$\text{Y} < 15$
$\text{Sr/Y} > 20$	$\text{Sr/Y} > 20$
$\text{Yb} < 1.9$	$\text{Yb} < 1.9$
$\text{La/Yb} > 16$	$\text{La/Yb} > 20$
مقدار کم	HFSE (Nb, Ta)
محاسبه نشده است.	$\text{Sr}^{86}/\text{Sr}^{87} < 0.7040$
میانگین ۵/۶	مقدار کم K/La
میانگین ۱۰/۵	مقدار کم Rb/La
میانگین ۸۱/۲	مقدار کم Ba/La

به منظور دستیابی به نتیجه‌ای مطمئن از نمودار Y/Sr (ppm) در مقابل (کاستیلو، ۲۰۰۶) استفاده گردید. همانطور که در نمودار شکل ۱۵-۴ مشاهده می‌کنید، نمونه‌های سنگی مورد مطالعه عمدتاً در محدوده ترکیبی معرف آداسیتها قرار می‌گیرند و تعداد محدودی از آنها نیز در محدوده سنگهای آداسیتی یا به عبارتی شبیه آداسیتی (ADR) واقع می‌شوند و آداسیتی بودن آنها را تأیید می‌کنند.

= آندزیتها (A)، داسیتها (D) و ریولیتهای (R) مربوط به قوسهای آتشفسانی ADR



شکل ۴-۱۵- نمودار نسبت Sr/Y در مقابل Y (ppm) (کاستیلو، ۲۰۰۶)، که موقعیت ترکیبی نمونه‌های مورد مطالعه بر روی آن نشان داده است.

۱-۹-۴- تقسیم‌بندی آداقیت‌ها

ماگماهای آداقیتی، بر اساس میزان سیلیس به دو گروه غنی از سیلیس و فقیر از سیلیس تقسیم می‌شوند (کاستیلو، ۲۰۰۶). جهت تمایز آداقیت‌های غنی از سیلیس و فقیر از سیلیس، نمودارهایی توسط مارتین^{۱۱} و همکاران (۲۰۰۲) ارائه شده است که به شرح زیر می‌باشند:

- نمودار MgO در مقابل SiO_2

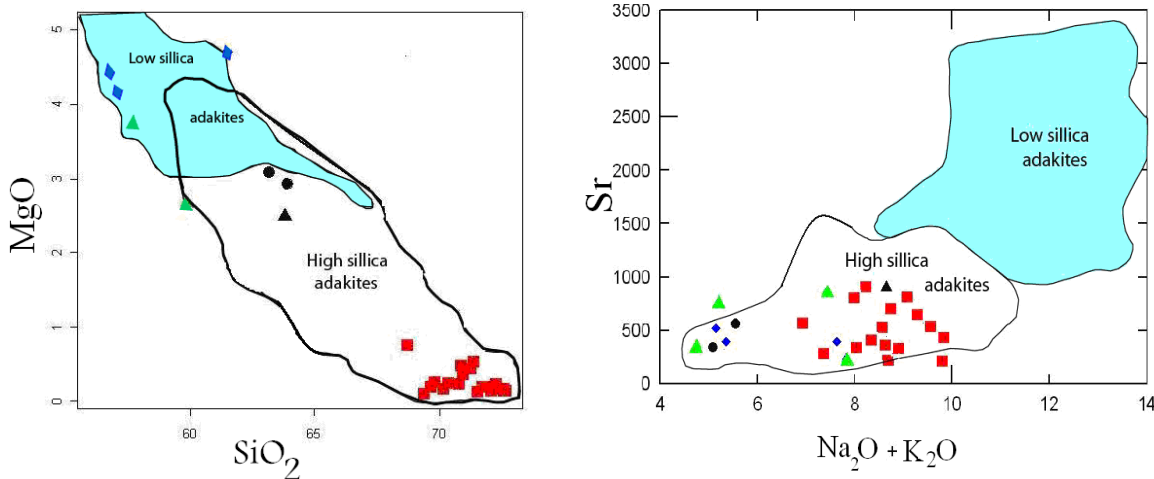
- نمودار Sr در مقابل $\text{Na}_2\text{O} + \text{K}_2\text{O}$

همانطور که در شکل ۱۶-۴-الف و شکل ۱۶-۴-ب مشاهده می‌کنید، آداقیت‌های مورد مطالعه از نوع آداقیت‌های غنی از سیلیس می‌باشند.

نتایج حاصل از بررسی نمودارهای عنکبوتی سنگ‌های مورد مطالعه نیز با معیارهای ژئوشیمیایی آداقیت‌ها مطابقت نشان می‌دهند. در این نمودارها، غنی‌شدگی از عناصر لیتوفیل بزرگ یون با وجود گارنت در منشأ تشکیل آنها در ارتباط می‌باشد، به طوری که عناصر HFSE در گارنت تمرکز پیدا می‌کنند و فاز مذاب از Fcیر و از عناصر بزرگ یون LILE غنی می‌شود. عناصر Nb، Zr و Ti در ماگمای آداقیتی تهی‌شدگی نشان می‌دهند ولی Sr و همچنین عناصر لیتوفیل بزرگ یون از جمله K و Ba در مذاب باقیمانده جمع شده و

^{۱۱}- Martin

غنى شدگی نشان مى دهند. اين ويزگيهای ژئوشيميايی، در مورد ماقماي آداکيتی منطقه باشتین نيز صدق مى کند.



ب- نمودار درصد وزنی MgO در مقابل SiO_2

الف- نمودار (Na_2O+K_2O) (ppm) در مقابل Sr

شكل ۱۶-۴- نمودارهای متمایز کننده آداکیتهای غنی از سیلیس و فقیر از سیلیس (مارتین و همکاران، ۲۰۰۲) و موقعیت نمونههای منطقه باشتین بر روی آن.

۱۰-۴- نتیجه‌گیری

- سنگهای مورد مطالعه طیف ترکیبی ریولیت، داسیت، تراکی‌دانسیت و آندزیت را پوشش می‌دهند ولی عمدتاً دارای ترکیب ریولیتی هستند.

- در مجموع با بررسی نمودارهای هارکر می‌توان گفت: سنگهای مربوط به منطقه مورد مطالعه تقریباً در دو گروه جای می‌گیرند و یک وقفه ترکیبی ۲ تا ۴ درصدی (SiO_2 بین ۶۵ تا ۶۹ درصد) بین آنها مشاهده می‌شود. در نمونههایی که دارای بیش از ۶۸ درصد SiO_2 هستند، به علت تفریق یافتنگی زیاد، تغییرات ترکیبی و کانی شناسی اندکی مشاهده می‌شود و نمونه‌ها از همگرایی ترکیبی وسیعتر می‌باشد. در ترکیبات سنگی دارای ۵۵ تا ۶۵ درصد وزنی SiO_2 دامنه تفریق یافتنگی بیشتری مشاهده می‌شود و با افزایش مقدار SiO_2 اکسیدهای FeO , TiO_2 , CaO , MnO , MgO , Fe_2O_3 روند کاهشی محسوسی نشان می‌دهند. در مجموع این شواهد مبین تفریق ماقمایی و تبلور تفریقی گستردگی باشند که این امر با شواهد پتروگرافی نیز تأیید می‌گردد. همچنین نتایج بررسی نمودارهای ضریب تفریق و ضریب انجماد برای نمونه‌های مورد مطالعه این نتیجه‌گیری را تأیید می‌کند.

- سنگهای سازنده گنبدهای نیمه عمیق منطقه باشتن، دارای ویژگیهای ژئوشیمیایی آدکیتها می‌باشند و در گروه آدکیتها غنی از سیلیس قرار می‌گیرند.

- سنگهای نیمه عمیق مورد مطالعه دارای ماهیت کالک-آلکالن پتابسیم متوسط تا بالا بوده و در مجموع دارای ماهیت متالومین می‌باشند.

- با توجه به الگوی تغییرات عناصر نادر خاکی (REEs)، عناصر لیتوفیل بزرگ یون (LILE) و عناصر با قدرت میدانی بالا (HFSE)، سنگهای مورد مطالعه از عناصر خاکی نادر سبک و عناصر لیتوفیل بزرگ یون غنی‌شدگی نشان می‌دهند که می‌تواند در اثر تبلور تفریقی یا آلایش پوسته‌ای حاصل شده باشد. در ضمن آنومالی منفی Nb و Ti مشاهده شده نیز ممکن است، در اثر آغشتگی و اختلاط ماقما با مواد پوسته‌ای حاصل شده باشد. ماقماهای ایجاد شده در زونهای فرورانش، دارای آنومالی منفی شاخص از عناصر با قدرت میدانی بالا (HFSE) هستند که از مرکز شدن این عناصر در فازهای دیرگذار ناحیه منشأ و عدم مشارکت آنها در مذاب حاصل، ناشی گردیده است. روندهای مشاهده شده در نمودارهای عنکبوتی با معیارهای ژئوشیمیایی ماقماهای سازنده آدکیتها سازگار است. غنی‌شدگی از عناصر LREE در مقایسه با HREE در نمودارهای عنکبوتی، آنومالی منفی Nb و مقادیر بالای آلومینیم ویژگی بارز ماقماهایی است که در مناطق فرورانش تشکیل می‌شوند.

- با توجه به ویژگیهای سنگهای نفوذی و نیمه عمیق مناطق مشابه همچو از جمله توده گرانیتوئیدی چاه سالار، توده گرانیتوئیدی ششتمد و دایکها یا گنبدهای تراکی آندزیتی قطع کننده آن، وجود یک منشأ گارت آمفیبولیتی ذوب شده برای تشکیل سنگهای مورد مطالعه، امری معقول و منطقی به نظر می‌رسد. این منشاء گارت آمفیبولیتی می‌تواند در اثر فرورانش ورقه اقیانوسی و رسیدن آن به عمقی که در آن شرایط دما و فشار تشکیل چنین سنگی مهیا باشد، تشکیل شده باشد. سپس ذوب بخشی این سنگهای گارت آمفیبولیتی همراه با تبلور تفریقی و تا حدودی آلایش ماقمایی (که توسط حضور آنکلاوهایی با ماهیت ژئوشیمیایی مختلف تأیید می‌گردد)، طیف ترکیبی گسترده سنگهای مورد مطالعه را به وجود آورده‌اند. در این ارتباط در فصل بعد بیشتر بحث خواهد شد.

۱-۵- مقدمه

در فصل چهارم پس از بحث و بررسیهای متعدد مشخص گردید که سنگهای نیمه عمیق مورد مطالعه، در واقع آدکیت می‌باشند. از این رو، در این فصل ضمن معرفی اجمالی آدکیتها به بحث و بررسی بیشتر در مورد روشن شدن پتروژن و جایگاه تکتونیکی سنگهای مورد مطالعه می‌پردازم.

۲-۵- آدکیت چیست؟

تعاریف متعددی، برای ماگمای آدکیتی از دیدگاههای مختلف پترولوزی، ارائه شده است که برخی از آنها به قرار زیر می‌باشند:

- اصطلاح آدکیت برای تعریف سنگهای آذرین درونی و بیرونی غنی از سیلیکات با نسبتهای Y/La و Sr/Yb زیاد که در اثر ذوب بخشی پوسته اقیانوسی فرورونده به زیر کمان آتشفسانی در مناطق فرورانش جوان شکل می‌گیرند به کار برده می‌شود (کاستیلو، ۲۰۰۶).

- آدکیتها، ماگماهایی با ترکیب اسیدی تا حد واسط می‌باشند که عموماً در اثر ذوب بخشی ورقه اقیانوسی فرورونده حاصل می‌شوند (دوفان و درومون^{۱۲}، ۱۹۹۰ و سن^{۱۳} و همکاران، ۱۹۹۴).

- آدکیت نوعی ماگمای اسیدی غنی از آب می‌باشد که در شرایط فشار بخار آب بالا تشکیل شده است (پروتو^{۱۴} و همکاران، ۱۹۹۹).

^{۱۲}- Defant & Drummond

^{۱۳}- Sen

^{۱۴}- Prouteau

- آداسیت ماقمایی است، غنی از عناصر لیتوفیل بزرگ یون (LREE) و همچنین سرشار از عناصر Na، Sr و Al (پیکاک،^{۱۵} ۱۹۹۴).

آداسیتها به وسیله یک سری ویژگیهای ژئوشیمی خاص شناخته می‌شوند که عبارتند از: Al_2O_3 و Na_2O تقریباً مشخص، غنی‌شدگی از عناصر LREE و تهی‌شدگی از عناصر خاکی نادر سنگین و همچنین^۷. این ماقم در اثر ذوب بخشی ورقه اقیانوسی جوان تشکیل می‌شود (کای^{۱۶}، ۱۹۷۸).

اما طبق نظر کاستیلو (۲۰۰۶)، آداسیت را می‌توان به شرح زیر معرفی کرد:

آداسیت یک اصطلاح پترولوزیکی است که ۱۶ سال پیش توسط دوفان و درومون معرفی گردید و برای سنگهای نفوذی یا خروجی قوسهای سنوزوئیک همراه با فروزانش لیتوسفر اقیانوسی جوان (با سن کمتر یا مساوی ۲۵ میلیون سال) استفاده شده است. در واقع این سنگها دارای ترکیب و منشأ متفاوت می‌باشند، اما در تعریف جهانی دوفان و درومون واژه آداسیت برای سنگهای اسیدی تا حد واسط که غالباً ترکیب ریولیت تا آندزیت دارند، به کار می‌رود که در اثر ذوب بخشی ورقه اقیانوسی فرورونده و تبلور تفریقی ماقمای حاصله در فشار بالا به وجود آمداند یا ماقمای حاصل از ذوب گوه گوشه‌ای متساماتیسم شده‌ای هستند که بالای ورقه اقیانوسی فرورانده شده قرار دارند. مطالعات اخیر نشان می‌دهد، تشکیل ماقمای آداسیتی از لحاظ ژنتیکی با کانسارسازی مس و طلا مرتبط است و بیش از نیمی از مناطق آداسیتی جهان پتانسیل اقتصادی فلزات مس و طلا را به همراه دارند، اما در منطقه مورد مطالعه با وجود گسترش آداسیتها، کانسارسازی (طلا و مس) مشاهده نمی‌شود. عدم کانسارسازی در آداسیتهای منطقه باشتنی می‌تواند دلیل داشته باشد.

۱- ماقمای اولیه فقیر از این عناصر بوده است.

۲- سیال کافی برای تفکیک و جداشی این عناصر وجود نداشته است.

با توجه به اینکه آلتراسیون به طور گسترده در سنگهای منطقه مشاهده می‌شود، در نتیجه می‌توان دلیل اول (فقیر بودن مذاب از عناصر طلا و مس) را عامل عدم کانسارسازی در منطقه دانست. در ضمن همانطور که گفته شد، مناطق آداسیتی نیز در جهان وجود دارند که با کانسارسازی همراه نیستند، از جمله آداسیتهای مشاهده شده در غرب تبت جنوبی و شمال تانزانیا. در جریان تشکیل ماقمای آداسیتی، با ذوب بخشی سنگ

^{۱۵}-Peacock
^{۱۶}- Kay

منشأ (سنگهای متابازیک)، پلاژیوکلаз ذوب شده و وارد محیط مذاب می‌گردد، در نتیجه مقدار $5r$ افزایش می‌یابد. در مقابل به علت دیرگداز بودن گارنت، این کانی ذوب نمی‌شود و ۷ موجود در آن نیز در خود گارنت محفوظ باقی می‌ماند و در نتیجه مقدار ۷ فاز مذاب کاهش می‌یابد (گومز^{۱۷} و همکاران، ۲۰۰۳).

۵-۲-۱- تقسیم بندی آداسیتها بر اساس میزان سیلیس

بررسی ژئوشیمیایی آداسیتها نشان می‌دهد که این مجموعه سنگی را می‌توان به دو دسته غنی از سیلیس و فقیر از سیلیس تقسیم کرد:

- ماجمای آداسیتی نوع غنی از سیلیس

- ماجمای آداسیتی نوع فقیر از سیلیس

نمودارهایی جهت تفکیک این ماجما از دیگر سنگهای مناطق فرورانش، توسط محققین مختلف پیشنهاد گردیده است. این نمودارها شامل نمودار $5r/2$ در مقابل ۷ (جهت تفکیک این ماجما از دیگر سنگهای مناطق فرورانش) و نمودار MgO در مقابل SiO_2 و نمودار Sr در مقابل Na_2O+K_2O (جهت تفکیک آداسیتها غنی از سیلیس و فقیر از سیلیس) می‌باشند. همانطور که در فصل ۴ شرح داده شد، با توجه به موقعیت نمونه‌های مورد مطالعه در نمودارهای مذکور (به شکلهای ۴-۱۶-۱۶-۴-الف و ۴-۱۶-۴-ب رجوع کنید)، آداسیتهای منطقه باشتن در محدوده آداسیتهای غنی از سیلیس قرار می‌گیرند.

- ماجمای آداسیتی نوع غنی از سیلیس

ویژگیهای ژئوشیمیایی این ماجما با ماجمای نوع TTG مشابه نشان می‌دهد (مارتین، ۱۹۹۴). ماجمای آداسیتی غنی از سیلیس از ماجمای حاصل از ذوب ورقه فرورونده ایجاد می‌شود که ممکن است با گوه گوشته‌ای نیز واکنش داده باشد.

- ماجمای آداسیتی نوع فقیر از سیلیس

این ماجما در اثر متاسوماتیسم گوه گوشته‌ای حاصل می‌شود و ویژگیهای ژئوشیمیایی آنها شبیه به ماجمای نوع سانکیتوئید می‌باشند (هانسون، ۱۹۹۱).

^{۱۷}- Gomez

TTG = تونالیت (T)، ترنجمیت (T) و گرانیت (G)

جهت تمایز ماقمای آدکیتی از دیگر ماقماهای مشابه (TTG و ساناکیتوئید)، بر اساس ویژگیهای ژئوشیمیایی این ماقماها، جدولی توسط کای (1978)، مارتین (1994) و هانسون^{۱۸} (1991) ارائه شده است که در جدول ۱-۵ تلفیق گردیده‌اند.

جدول ۱-۵- مقایسه ویژگیهای ژئوشیمی آدکیتها با ماقماهای مشابه.

Magma	Adakite	TTG	Sanukitoid
SiO ₂	>56	Av=70%	55-60
#Mg	Av=0.51	Av= 0.43	>0.60
Ni	Av=24	Av=14	>100ppm
Cr	Av=36	Av=29	>200ppm
Sr	>400	>400	>500
Sr/y	>40	>40	Av=50
REE	شدیداً تفریق یافته	شدیداً تفریق یافته	شدیداً تفریق یافته
Yb و Y	Yb<1.9 و Y<18	Yb<1.6 و Y<15ppm	Yb _{Av} =1 و Y _{Av} =17
Refrence	Kay (1978)	Martin (1994)	Hanson (1991)

۲-۵- تقسیم‌بندی آدکیتها بر اساس ژنز

بر اساس تنوع پتروژنز، آدکیتها را به ۴ دسته تقسیم می‌کنند:

- آدکیتهای حاصل از ذوب ورقه اقیانوسی فرورونده (سورنسن^{۱۹}، ۱۹۸۹).

- آدکیتهای مشتق شده از ذوب پوسته ضخیم تحتانی (آترتون و پتغورد^{۲۰}، ۱۹۹۳).

¹⁸-Hanson
^{۱۹}- Sornsen
^{۲۰}- Atherton

- آداسیتهای حاصل از واکنش مذاب مربوط به ورقه فرورونده با پریدوتیت گوشهای (درومون و همکاران، ۱۹۹۶).

- آداسیتهای مشتق شده از ذوب پوسته تحتانی و واکنش مواد حاصل با پریدوتیت گوشهای (کای و همکاران، ۱۹۹۳).

مدلهای دیگری نیز در منابع مختلف برای پتروژنر آداسیتها پیشنهاد شده است که برخی از آنها به شرح زیر می‌باشند:

- ذوب گوه گوشهای و سپس تفریق ماقمای حاصل در فشار بالا (مکفرسون^{۲۱}، ۲۰۰۶) و یا وقوع فرایند تفریق همراه با آلودگی (گاریسون و دیویدسون^{۲۲}، ۲۰۰۳).

- ذوب پریدوتیت گوشهای تحت شرایط آبدار (استرن و همکاران، ۱۹۹۶).

- کاستیلو (۲۰۰۵)، تأکید زیادی برای ذوب بخشی ورقه اقیانوسی فرورونده و رخداد فرایند AFC (تبلور تفریقی همراه با هضم) برای تشکیل ماقمای آداسیتی دارد و در واقع تحولاتی که ماقما طی فرایند متحمل می‌شود را دلیل ژئوشیمی متفاوت آداسیتها با بقیه ماقماهای مناطق فرورانش می‌داند.

در واقع تمایز سنگهای آداسیتی حاصل از ذوب پوسته تحتانی با آداسیتهای مشتق شده از ذوب ورقه اقیانوسی فرورونده تا حدودی مشکل است. زیرا ممکن است ماقمای حاصل از ذوب ورقه فرورونده در حین صعود با پوسته آلایش پیدا کند و کمبود عناصر پوستهای را در ماقما جبران کند (گوچر و همکاران^{۲۳}، ۲۰۰۰). با این حال فاکتورهایی جهت تمایز نسبی آنها وجود دارد:

- فوگاسیته اکسیژن که در ماقمای حاصل از ذوب پوسته تحتانی نسبت به ماقمای مشتق شده از

^{۲۱}- Macpherson

^{۲۲}- Garison & Davison

^{۲۳}- Gutsher

ذوب ورقه اقیانوسی فرورونده کمتر می‌باشد. در نمونه‌های مورد مطالعه فوگاسیته بالای اکسیژن (وفور اکسیدهای آهن و تیتانیوم از جمله مگنتیت و تیتانومگنتیت) می‌تواند شاهدی برای منشأ ذوب ورقه اقیانوسی برای سنگهای منطقه باشتن باشد.

- آداکیتهای حاصل از ذوب پوسته تحتانی Th/Ce و Th بیشتری نسبت به آداکیتهای حاصل از ذوب بخشی ورقه فرورونده دارند. همانطور که در نمودارهای عنکبوتی در فصل ۴ مشخص شد، نمونه‌های مورد مطالعه دارای آنومالی منفی از Th هستند. بدین خاطر این ممکن است، این منشأ برای تشکیل آنها صدق نکند.

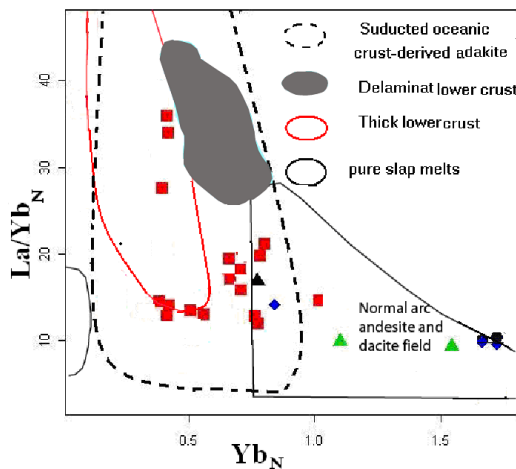
- سنگهای آداکیتی مشتق شده از ذوب پوسته تحتانی از توانایی زیادی برای داشتن کانسارهای مس و طلا برخوردار هستند که در مورد آداکیتهای منطقه باشتن این امر صدق نمی‌کند، ولی در مناطق

همجوار به ویژه در شمال معلمان- ترود این گونه سنگها با کانسارسازی گسترده طلا، مس، فیروزه، سرب و روی همراه هستند.

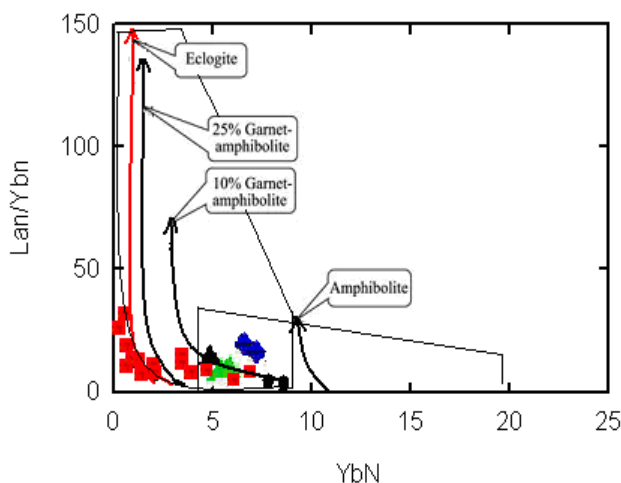
اکنون به بررسی تفصیلی پتروژنز نمونه‌های سنگی مورد مطالعه می‌پردازیم.

۲-۵-۲-الف- نمودار_N (La/Yb) در مقابل_N (Yb)

برای سنگهای مورد مطالعه، جهت تفکیک محدوده‌های نامبرده، نمودار_N (La/Yb) در مقابل_N (Yb) (دوفان و درومون، ۱۹۹۵) استفاده شده است. با توجه به آنکه در مذاب آداکیتی عناصر لیتوفیل بزرگ یون از جمله La جمع شده و Yb به یک عنوان عنصر خاکی نادر در این مذاب (در فاز دیر گداز گارنت جمع شده است) حضور دارد، این نمودار پیشنهاد شده است. همانطور که در نمودار شکل ۱-۵ مشاهده می‌کنید، نمونه‌های آداکیتی منطقه باشتن بر روی منحنی ذوب بخشی ورقه اقیانوسی فرورونده قرار می‌گیرند. این نتیجه‌گیری با شواهد پتروگرافی (وفور هورنبلند در سنگهای حدواسط منطقه مورد مطالعه و مناطق همجوار) تأیید می‌شود. موقعیت نمونه‌های آداکیتی منطقه باشتن در این نمودار مشخص می‌کند که آداکیتهای منطقه باشتن در اثر ذوب ورقه اقیانوسی فرورونده حاصل شده‌اند.



شکل ۱-۵- نمودار La/Yb_N در مقابل Yb_N (دوفان و درومون، ۱۹۹۵) و موقعیت نمونه‌های مورد مطالعه بر روی آن.



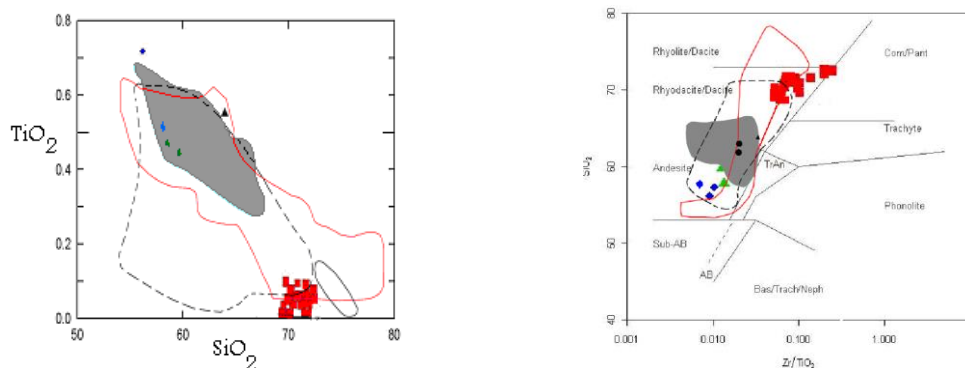
شکل ۲-۵- نمودار $(\text{La}/\text{Yb})_N$ در مقابل $(\text{Yb})_N$ (دوفان و درومون (۱۹۹۰)

و موقعیت نمونه‌های مورد مطالعه بر روی آن.

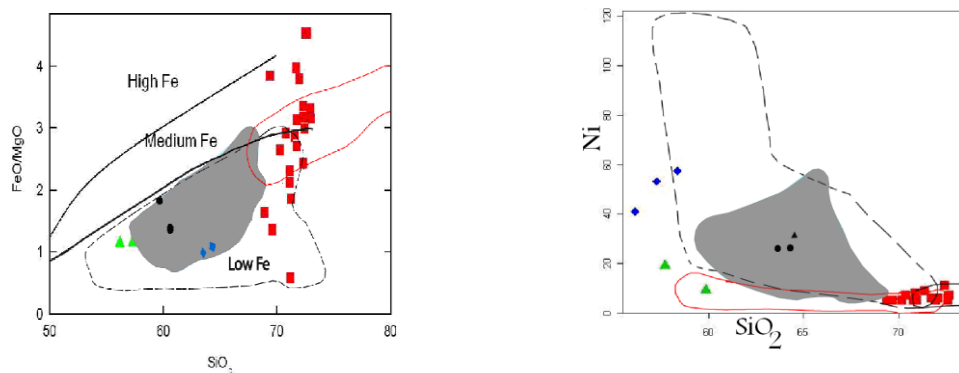
به علاوه همانطور که در نمودار شکل ۲-۵ مشاهده می‌کنید، نمونه‌های مورد مطالعه با ذوب بخشی یک منشأ گارنت آمفیبولیتی با نرخ حدود ۲۵ درصد یا اندکی بیشتر مطابقت می‌نمایند.

۲-۲-۵- نمودارهای ژو و همکاران

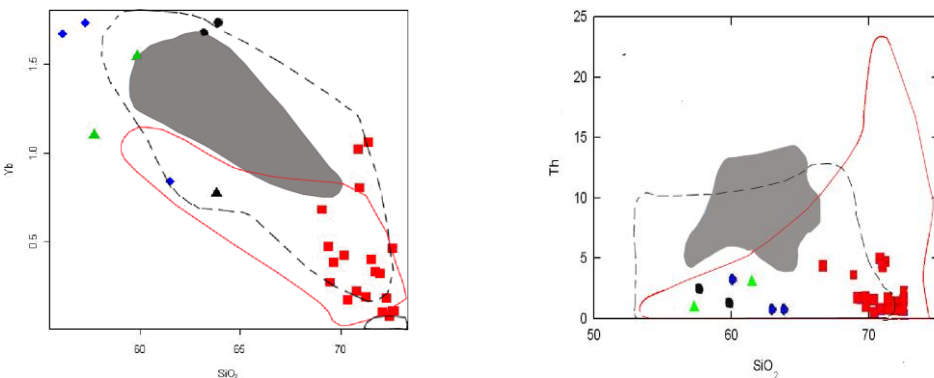
ژو^۴ و همکاران (۱۹۸۳)، از برخی نمودارهای هارکر (SiO_2 در مقابل TiO_2)، برخی از نمودارهای هارکر عناصر کمیاب (نمودار Zr/TiO_2 - SiO_2 برای پی بردن به منشأ آداسیت‌ها استفاده کردند. این نمودارها با توجه به آنومالی متفاوت عناصر (اکسیدهای عناصر اصلی و عناصر کمیاب) در لایه‌های مختلف زمین (گوشته و پوسته)، برای منشأ مانعهای آداسیتی ارائه شده است. همانطور که در شکل‌های ۳-۵ تا ۸-۵ (گوشته و پوسته)، برای منشأ مانعهای آداسیتی در محدوده ذوب بخشی ورقه اقیانوسی فرورونده قرار می‌گیرند.



شکل ۳-۵ - نمودار SiO_2 - Zr/TiO_2 (ژو و همکاران، ۱۹۸۳) و SiO_2 - Fe/Mg (ژو و همکاران، ۱۹۸۳) و موقعیت نمونه‌های مورد مطالعه بر روی آن.



شکل ۵-۵-نمودار Yb در مقابل SiO_2 (ژو و همکاران، ۱۹۸۳) و شکل ۵-۶-نمودار FeO/MgO در مقابل SiO_2 (ژو و همکاران، ۱۹۸۳) و موقعیت نمونه‌های مورد مطالعه بر روی آن.

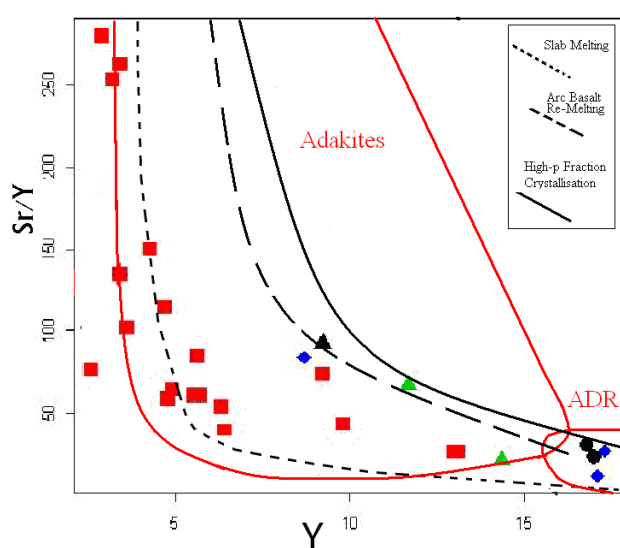


شکل ۵-۷-نمودار Th در مقابل SiO_2 (ژو و همکاران، ۱۹۸۳) و شکل ۵-۸-نمودار Yb در مقابل SiO_2 (ژو و همکاران، ۱۹۸۳). و موقعیت نمونه‌های مورد مطالعه بر روی آن.

	Seducted oceanic crust-derived adakite		Thick lower crust
	Delaminated lower crust		pure slab melts

۲-۲-۵-نمودار Y در مقابل Sr/Y (دوفان و درومون، ۱۹۹۰)

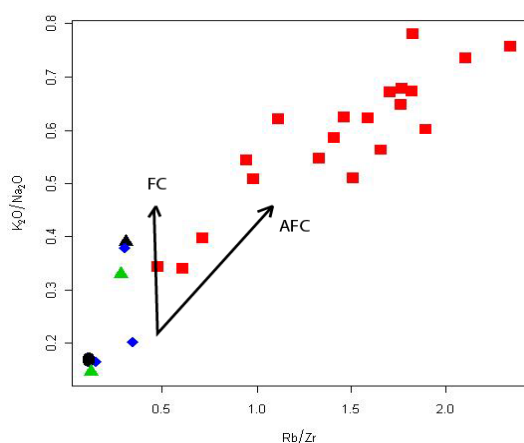
با توجه به نمودار Y/Sr در مقابل Y (شکل ۹-۵)، نمونه‌های مورد مطالعه، در محدوده آداکیت‌ها واقع می‌شوند و از روند ذوب بخشی ورقه فرورونده تبعیت می‌کنند.



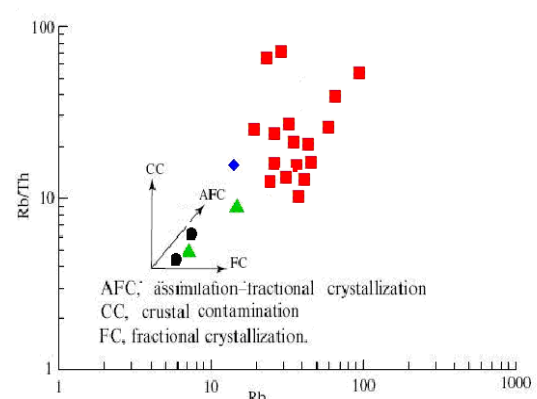
شکل ۹-۵-نمودار Y/Sr در مقابل Y (دوفان و درومون، ۱۹۹۰)

۳-۵- بررسی نقش هضم، آلایش و تفریق ماقمایی در تحول سنگهای نیمه عمیق مورد مطالعه

وجود آنکلاوهای بهترین شاهد آلایش پوسته‌ای و اختلاط ماقمایی محسوب می‌شوند (هیبارد و ساباتیه^{۲۵} ۱۹۹۸). در منطقه مورد مطالعه سنگهای نیمه عمیق دارای آنکلاوهای فراوان با ترکیب متنوع (هارزبورژیتی، توفی-سیلتستونی و توفی-شیلی) هستند. بنابراین در تشکیل ماقمای سازنده گنبدهای نیمه عمیق منطقه باشتن فرایند آلایش ماقمایی نقش داشته است. همچنین افزایش پتابسیم و روبیدیم در سنگهای مختلف می‌تواند دلیلی برای آلایش پوسته‌ای ماقمای آن منطقه باشد. با توجه به نمودارهای نسبت Rb/Th در مقابل Rb (دوپائولو^{۲۶}، ۱۹۶۰) و K₂O/Na₂O^{۲۷} (اسپرانسا^{۲۷} و همکاران، ۱۹۹۲) در شکلهای ۱۰-۵-الف و ۱۰-۵-ب، نمونه‌های سنگی مورد مطالعه از روند (AFC) تبعیت می‌کنند و این روند نشان دهنده آن است که فرایند تفریق بلوری همراه با هضم و آلایش بر روی نمونه‌های مربوط به گنبدهای مورد مطالعه اثر گذار بوده است. بررسی جزئی تر در روند مشاهده شده، نشان می‌دهد که همه نمونه‌های ریولیتی دقیقاً در امتداد روند AFC قرار گرفته‌اند. بنابراین می‌توان نتیجه گرفت ماقمای آداسیتی تفریق یافته در طی صعود به ترازهای بالاتر پوسته با سنگهای میزان آلایش یافته است. شواهد صحرایی (حضور آنکلاوهای پریدوتیتی و توفی-سیلتستونی)، شواهد پتروگرافی (حضور میکروآنکلاوهای) و شواهد ژئوشمیایی (غنى شدگی از عناصر کمیاب خاکی سبک) مؤید این امر است.



ب



الف

^{۲۵}- Hibard & Sabatiye
^{۲۶}- Depaolu
^{۲۷}- Esperanca

نمودار نسبت Rb/Zr در مقابل نسبت K₂O/Na₂O (اسپرانسا و

همکاران، ۱۹۹۲).

نمودار نسبت Rb/Th در مقابل Rb (دوپائولو، ۱۹۶۰).

شکل ۱۰-۵

۴-۵- بررسی جایگاه تکتونیکی آداسیت‌ها

از لحاظ پترولوزی و ژئوشیمی مagmaهای مربوط به مناطق فرورانش متنوع می‌باشند و طیف گسترهای را در بر می‌گیرند (گیل، ۱۹۸۱،^{۲۸}). magmaهای آداسیتی نیز نوعی magma است که تا کنون

غالباً در مناطق فرورانش قوسهای سنوزوئیک و جوان مشاهده شده است. magmaهای آداسیتی از نظر تکتونیکی در حاشیه‌های قاره‌ای فعال (آترتون و پتفورد، ۱۹۹۳) و زونهای برخوردي (ژو و همکاران، ۱۹۸۳) تشکیل می‌شوند. کای (۱۹۷۸) معتقد است، magmaهای آداسیتی غالباً در اثر ذوب بخشی ورقه اقیانوسی جوان تشکیل می‌شود. اما استرن و همکاران (۱۹۹۶) معتقدند که magmaهای آداسیتی در محل فرورانش قدیمی و ورقه اقیانوسی سرد نیز یافت می‌شوند. گائو^{۲۹} و همکاران (۲۰۰۶) نیز تشکیل magmaهای آداسیتی را منحصر به مناطق فرورانش نمی‌دانند. در واقع آداسیت‌ها دارای یک سری ویژگیهایی هستند که به راحتی نمی‌توان محیط تکتونیکی آنها را مشخص کرد. این magmaها از ذوب بازالت‌های آبدار (دگرگون شده) شکل می‌گیرند که این بازالت آبدار می‌تواند تحت فشار موجود در اعماق پوسته یا گوشته بالایی پایدار باشد (گاریسون و دیویدسون، ۲۰۰۳).

پابلو^{۳۰} (۲۰۰۵)، با مطالعات خود بر روی جایگاه تکتونیکی و نحوه تشکیل مجموعه آداسیتی اکوادور در شمال زون ولکانیکی آند، شش منشأ احتمالی برای تشکیل آداسیت‌ها را مورد بررسی قرار دادند که به قرار زیر می‌باشند:

۱- فرورانش سریع ورقه اقیانوسی فرورونده (یوگوزینسکی^{۳۱} و همکاران، ۱۹۹۵)

۲- تشکیل آداسیت در مراحل اولیه فرورانش (ساجونا^{۳۲} و همکاران، ۲۰۰۰)

۳- شکستگی و خردشیدگی ورقه فرورونده و ذوب آن (آبراتیس^{۳۳} و همکاران، ۲۰۰۱)

^{۲۸}- Gill

^{۲۹}- Gao

^{۳۰}- Pablo

^{۳۱}- Yogodzinski

^{۳۲}- Sajona

^{۳۳}- Abratis

۴- وجود ورقه‌های باقیمانده در موقعیت قوس- قوس (موری^{۳۴}، ۱۹۹۵)

۵- ورقه کم شیب به وجود آمده توسط فرورانش پشته میان اقیانوسی (بیت^{۳۵} و همکاران، ۲۰۰۱)

۶- ذوب پوسته بازالتی تحتانی در مناطق تکتونیکی مربوط به قوس‌های آتشفشاری (آترتون و پتفورد، ۱۹۹۳)

دوفان و درومون (۲۰۰۲) در بررسی نحوه تشکیل ماغمای آداسیتی، جایگاه تکتونیکی آنها را قوس‌های سنوزوئیک مناطق فرورانش جوان معرفی کردند. در حالی که گاربسون و دیویدسون (۲۰۰۳) معتقد هستند که ویژگیهای ژئوشیمیایی آداسیتیها معرف محیط تکتونیکی خاصی نمی‌تواند باشد و وجود ماغمای آداسیتی در یک منطقه، صرفاً بیانگر ذوب بازالت دگرگون شده آبدار می‌باشد که تفاله گارنت آمفیبولیت را بر جای گذاشته و ماغمای آداسیتی با یک سری ویژگیهای ژئوشیمیایی خاص صعود می‌کند. این بازالت آبدار می‌تواند در محیط‌های تکتونیکی مختلفی وجود داشته باشد.

ماگماتیسم محیط‌های قوسی ممکن است، در اثر تفریق مذابهای جبه و یا مذابهای حاصل از صفحه فرورونده بوجود آید. تحول مذابهای حاصل از ذوب بخشی صفحه فرورونده، در شرایط خاص باعث تشکیل ماغماهایی با محتوى آب بالا و O_2 بالا (ماگمای آداسیتی) می‌شوند (اویارزون^{۳۶} و همکاران، ۲۰۰۱). در جایگاه تکتونیکی قوس، محل تشکیل ماغما توسط دمای محل برخورد ورقه فرورونده و گوه گوشه‌ای کنترل می‌شود. زمانی که گرادیان زمین گرمایی در زون بنیوف بالا باشد، ورقه فرورونده قبل از اینکه آب خود را کاملاً از دست دهد ماگمای آداسیتی حاصل می‌شود (پیکاک، ۱۹۹۶). برای تشکیل ماغمای آداسیتی، ورقه اقیانوسی تا اعمق حدود ۶۰ تا ۷۰ کیلومتری در گوشه‌های فرورفته و سپس بازالت آبدار مربوط به ورقه فرورونده دگرگون می‌شود. برای ذوب بخشی سنگهای دگرگون شده دمایی بالای ۱۰۰۰ درجه سانتیگراد نیاز است. براساس کارهای تجربی که توسط اسکایه^{۳۷} و همکاران (۲۰۰۲) انجام شده است، فشار لازم برای تشکیل این ماغما حدود 220 MPas ($190 \pm 50 \text{ MPas}$) می‌باشد. همانطور که در تعریف آداسیت مطرح شد، آداسیت‌ها ماغمای غنی از آب می‌باشند. این آب می‌تواند توسط فرایندهای آبزدایی از ورقه اقیانوسی و از شکسته شدن سرپانتیت‌های موجود در لایه زیرین پوسته اقیانوسی تأمین گردد (اشمیت و پلی^{۳۸}، ۱۹۹۵).

^{۳۴}- Muri

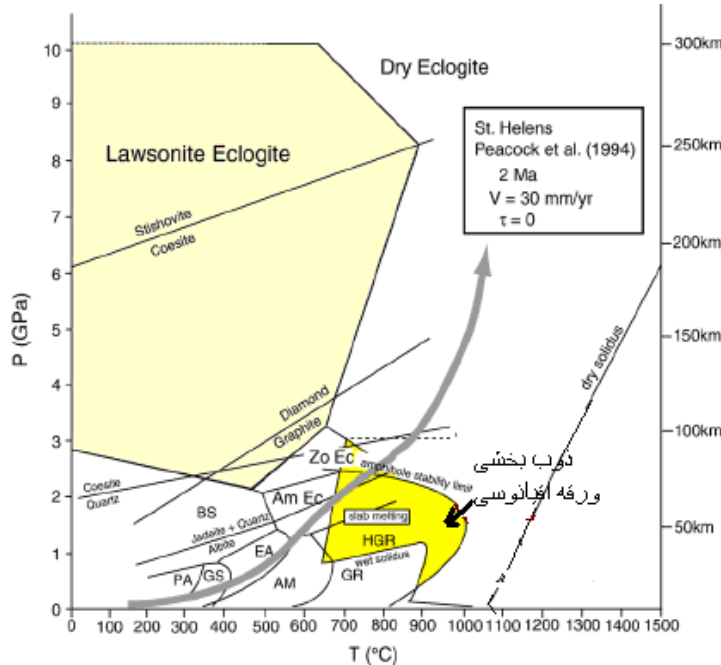
^{۳۵}- Beate

^{۳۶}- Oyarzun

^{۳۷}- Scaillet

2- Schmidt & Poli

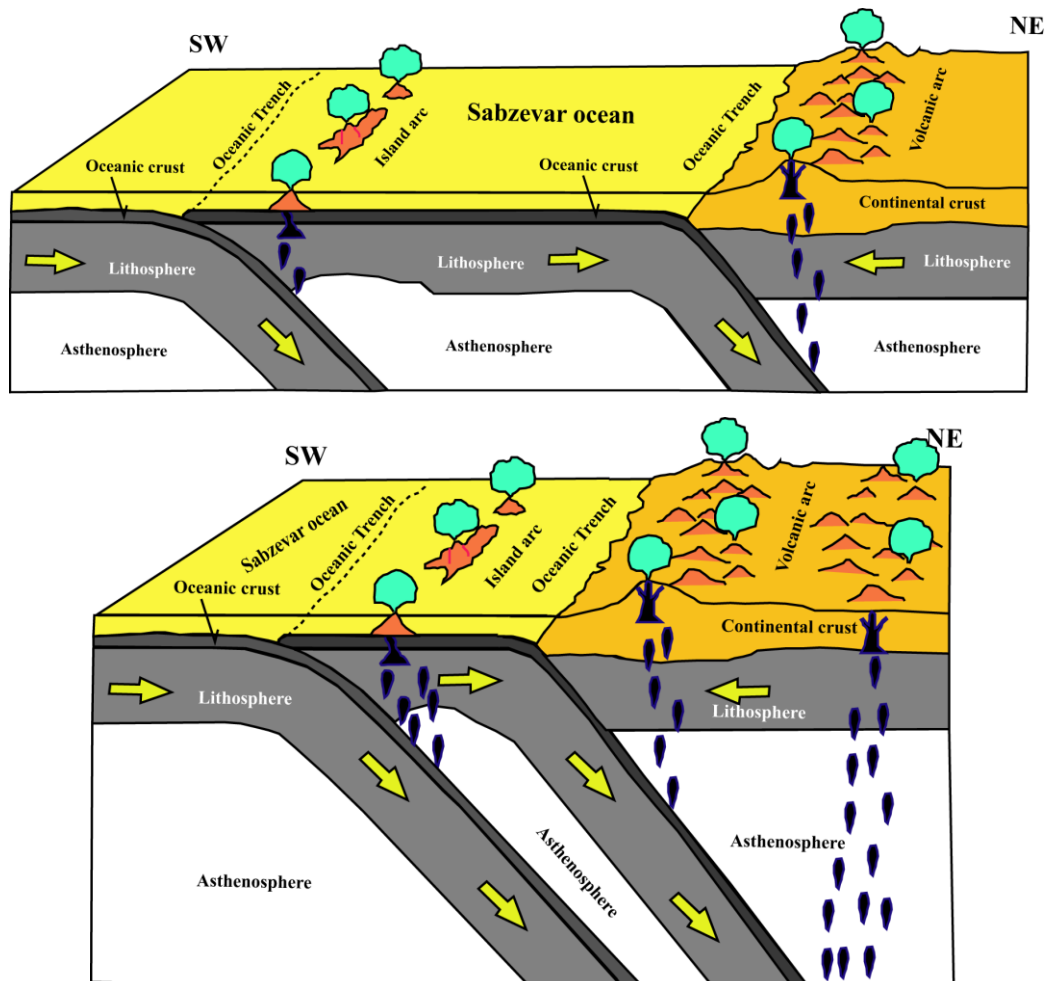
شرایط دما و فشار تشکیل مagma آدکیتی برای ذوب بخشی ورقه فرورونده و تشکیل مذابی اسیدی تا حد واسط (آدکیت) بر اساس کارهای تجربی پیکاک (۱۹۹۴) در شکل ۱۱-۵ نشان داده است.



شکل ۱۱-۵- محدوده شرایط دما و فشار لازم برای ذوب ورقه اقیانوسی جوان (پیکاک، ۱۹۹۴).

۵-۵- مدل تکتونیکی تشکیل magma آدکیتی مورد مطالعه

درباره پتروژنی سنگهای آتشفسانی مربوط به قوس‌های فرورانش می‌توان گفت: پوسته اقیانوسی تا اعماق بیش از ۱۰۰ کیلومتر در گوشه‌های فرو رفته و در زون بنیوف، آنجا که فشار و دما برای تشکیل سنگهای متابازیک لازم است، آبزدایی و دگرگون می‌شود. پس از آن در دمای بالای ۱۰۰۰ درجه سانتیگراد سنگهای متابازیک (فاز دگرگون شده) شروع به ذوب شدن می‌کنند و magma مایه اکثراً کالک-آلکالن، غنی از عناصر لیتوفیل بزرگ یون و غنی از آب تشکیل می‌شوند. این magma در طی صعود می‌تواند در ترازهای بالاتر، فرایندهای مختلفی را پشت سر بگذارد که با توجه به شواهد موجود در منطقه مورد مطالعه، فرایند تفریق magma همراه با آلایش پوسته‌ای این magma را متحول کرده است. برای نحوه تشکیل آدکیتهای سبزوار مدل فرورانش شکل ۱۲-۵ ارائه می‌شود.



شکل ۱۲-۵- مدل تکتونیکی تشکیل مagmaهای سازنده تودههای نفوذی چاه سالار، ششتمد، نامن و آدکیتهای مورد مطالعه (صادقیان و همکاران، چاپ نشده).

برای دستیابی به ماهیت پتروژنز سنگهای منطقه، چندین مورد از آدکیتهای موجود در سایر نقاط جهان مورد بررسی قرار گرفت، که در ذیل به آنها اشاره می‌شود:

- کمپلکس آدکیتی مربوط به قوس ولکانیکی منطقه فرورانشی واقع در غرب نیوزیلند (آمریکا)، (استونسون^{۳۹} و همکاران، ۲۰۰۰).
- گنبدهای نیمه عمیق آندزیتی تا داسیتی واقع در جنوب آلاسکا (آمریکای شمالی) (رونالد^{۴۰} و همکاران، ۲۰۰۴).

^{۳۹}-Stevenson
^{۴۰}- Ronald

- ولکانیسم آداسیتی در زون ولکانیکی آناتولی (در جنوب غربی آنکارا، مرکز ترکیه)، (وارول^{۴۱}، ۲۰۰۷).
- ولکانیک آداسیتی در قوس آتشفسانی جنوب غربی مکزیک (پلیت کوکوس در حاشیه اقیانوس آرام واقع در شمال آمریکا (آرون^{۴۲} و همکاران، ۲۰۰۳).
- نفوذی‌های آداسیتی (سنگ‌های اسیدی تا حدود میانی) در غرب تبت جنوبی واقع در جنوب هیمالیا (هو^{۴۳} و همکاران، ۲۰۰۴).
- گرانیت‌های پروتروزوئیک مرتبط با افیولیت ملانژهای Bou-Azzar واقع در حاشیه کراتون غرب آفریقا (بروز^{۴۴}، ۲۰۰۳).
- آداسیت‌های پرفیری (داسیت و ریولیت) در منطقه دکسینگ واقع در جنوب چین (ونگ و همکاران، ۴۵ ۲۰۰۴).
- ماجماتیسم آداسیتی (آندرزیت تا داسیت) در زون ولکانیکی واقع در جنوب اکوادور (پابلو و همکاران، ۴۶ ۲۰۰۵).
- توده‌های نفوذی (گرانوپوریتی) منطقه کیوشو واقع در جنوب شرقی ژاپن (کینوشیتا^{۴۶}، ۲۰۰۰).
- توده‌های نفوذی (گرانیت) آداسیتی رخنمون یافته در افیولیت‌های شمال شرقی جیانسکی واقع در جنوب چین (ایکسیان^{۴۷}، ۱۹۹۴).
- گنبدهای نیمه عمیق پس از میوسن واقع در شمال غربی ایران (تبریز، شمال میشو) (جهانگیری و همکاران، ۴۸ ۲۰۰۶).
- توده‌های نفوذی، مرتبط به معدن طلای پورفیری خارونا در گلپایگان (سیاه کوهی، ۱۳۸۳).
- توده‌های گرانیت‌های میزان معدن مس سونگون در اهر (جهانگیری، ۴۹ ۲۰۰۴).
- برخی توده‌های نفوذی و گرانیت‌های الیگومیوسن واقع در غرب زاهدان (کوهستانیان، ۱۳۷۶).

^{۴۱}- Varol

^{۴۲}- Aaron

^{۴۳}- Hou

^{۴۴}- Beraaouz

^{۴۵}- Wang

^{۴۶}- Kinoshita

^{۴۷}- xian

- توده‌های نفوذی و گرانیتوئیدی میزبان مس پورفیری سرچشمہ (به سن میوسن) واقع در غرب شهربابک (درگاهی، ۱۳۸۶).

اکنون به مقایسه آداسیتیهای مورد مطالعه با سایر آداسیتیهای جهان می‌پردازیم.

با توجه به بررسی نتایج آنالیز شیمیایی و مقایسه آداسیتیهای منطقه سبزوار با برخی مناطق دیگر جهان، مشخص شد آداسیتیهای منطقه سبزوار از لحاظ ژئوشیمی، پتروگرافی، جایگاه تکتونیکی و پتروژنز با آداسیتیهای شمال غرب ایران واقع در شمال تبریز (شمال میشو) شباهت زیادی نشان می‌دهند. آداسیتیهای شمال غرب ایران (شمال تبریز، شمال میشو)، بر روی یک قوس ولکانیک جوان به صورت گنبدهای نیمه عمیق ریولیتی و داسیتی رخنمون دارند. این گنبدها تشابه ژئوشیمیایی با گنبدهای منطقه سبزوار نشان می‌دهند.

چندین منطقه آداسیتی دیگر نیز در جهان وجود دارند که آداسیتیهای آنها مانند آداسیتیهای سبزوار، درون افیولیها نفوذ نموده‌اند و کم و بیش از نظر ویژگیهای ژئوشیمی، پتروژنز و جایگاه تکتونیکی مشابه آداسیتیهای منطقه سبزوار هستند، که دو مورد از آنها عبارتند از:

- گرانیتی‌های آداسیتی رخنمون یافته در افیولیتی‌های شمال شرقی جیانسگی واقع در جنوب چین.

- گرانیتوئیدهای پروتروزوئیک مرتبط با افیولیت ملانژهای Bou-Azzar واقع در حاشیه کراتون غرب آفریقا (ماهیت متاآلومین و کالک-آلکالن متوسط تا بالا).

ویژگیهای ژئوشیمیایی برخی مناطق آداسیتی مذکور و نتایج مقایسه آنها با آداسیتیهای سبزوار در جدول ۲-۵ آمده است.

جدول ۵-۲- مقایسه ویژگیهای رئوشیمیایی آدکیتهای مورد مطالعه با دیگر مagmaهای آدکیتی جهان.

منطقه	گندهای داسیتی ریولیتی و آندزیتی رخنمون یافته در مجموعه افیولیتی غرب سبزوار (باشتین).	گرانیت-وئیدهای پروتروزوئیک در ارتباط با افیولیت ملانژهای Bou-Azzar واقع در حاشیه کرتون غرب آفریقا.	نفوذیهای آدکیتی (سنگهای اسیدی تا حدود است) در غرب و شرق تبت جنوبی.	تودههای نفوذی و ولکانیکهای (داسیت و گرانیت با سدیم بالا) رخنمون یافته در کمریند سنگهای سبز موسوماً- مارا واقع در شمال تازایا.
SiO_2	$\text{SiO}_2 > 69.3$	>65	65-70	62
Al_2O_3	$\text{Al}_2\text{O}_3 \geq 17.66$	16-20	$\text{Av}=15$	$\text{Av}=17$
MgO	$\text{MgO} < 0.82$	<2.5	<2	0.3-0.4
Sr	$\text{Sr} > 497.2$	$\text{AV}=460$	$\text{Av}=600$	700-1000
عدم آنومالی منفی Eu	✓	✓	✓	✓
Y	$(\text{Y}) < 15$	<20	<6	<20
Sr/Y	$(\text{Sr/Y}) > 20$	$\text{Av}=38$	$\text{Av}=80$	20-131
Yb	$(\text{Yb}) < 1.9$	<1.8	<0.5	۱/۶ میانگین
La/Yb	$(\text{La/Yb}) > 16$	8.9-12.6	10-50	11-80
تهی شدگی از HFSE و (Th و Ti .Nb)	✓	✓	✓	✓

✓ = صادق است.

$^{86}\text{Sr}/\text{Sr}^{87}$	محاسبه نشده	محاسبه نشده	0.707-0.7049	محاسبه نشده
جایگاه تکتونیکی	قوس سنوزوئیک	در مرحله ای از فعالیتهای قوس	آدکیتهای پتاسیک موجود در غرب کمریند کوهزایی هیمالیا (تبت جنوبی) که در اثر برخورد صفحه هند و آسیا حاصل شده‌اند.	فعالیت زون فرورانش (نئوارکن) در حاشیه اقیانوسی فعال
سن	بعد از انومن	615 Ma >	اواسط میوسن	2.60-3 Ga
پتروژنز	ذوب بخشی ورقه اقیانوسی فرورونده (سیزاوار) و سپس تفریق بلوری و آلاش پوسته ای .(AFC)	آبزدایی و ذوب ورقه اقیانوسی (پوسته تحتانی که گارنت در آن فاز پایدار می‌باشد.	ذوب بخشی پوسته تحتانی و ضخیم یا ذوب بخشی ورقه اقیانوسی فرورونده	ذوب بخشی ورقه اقیانوسی فرورونده با ترکیب آمفیبولیت±گارنت
Na_2O	4-6	3-5	3-4	Av=4.2
K_2O	Av=3	Av=4.5	0.8-2.6	Av=2.5
Rb/La	Av=10.5	Av=12	Av=14	Av=2.5
Ba/La	Av=81	AV=65	Av=102	Av=20.2
Refrence		Beraaouz, 2003	Hou ,2004	Zhai, 2004

ادامه جدول ۳-۵

منطقه	نفوذیهای آدکیتی (ترکیب سنگها گرانیت) رخنمون یافته در افیولیتهای شمال شرقی منطقه جیانسگی واقع در جنوب چین.	توده‌های نفوذی منطقه کیوشو در جنوب شرقی ژاپن (ترکیب سنگها گرانوڈیوریت).	کمپلکس آدکیتی (ترکیب سنگها از آندزیت تا داسیت) زون ولکانیکی در چین (ترکیب سنگها جنوب اکوادور.	آدکیتهای پورفیری (جایگاه تکتونیکی دکسینگ در جنوب چین (ترکیب سنگها داسیت و ریولیت).	ولکانیسم آدکیتی (گبدهای ساب ولکانیک ریولیت، داسیت و آندزیت) شمال غربی ایران (تبریز).
SiO_2	59-65	63-68	59-60	58-65	65-72
Al_2O_3	15-17	15.15	Av=13	Av=14	13-15
MgO	1.5-2.9	<4.5	16-36	<2.5	<3
Sr	383-920(ppm)	439-730	Av=500	800-180	300-700

عدم آنومالی منفی Eu	✓	✓	✓	✓	✓
Y	1.75-2.7	Av=20	Av=6.5	<13	10-20
Sr/Y	166-444	20-80	Av=80	Av=120	20-58
Yb	AV=0.2	<1	<0.8	<1	<1.5
La/Yb	Av=15	Av=25	10-40	Av=40	20-45
HFSE تهی شدگی از (Th و Ti ,Nb)	✓	✓	✓	✓	✓
⁸⁶ Sr/Sr ⁸⁷	محاسبه نشده	محاسبه نشده	0.703-0.705	0.6-0.705	محاسبه نشده
جایگاه تکتونیکی	سنوزوئیک (منطقه فرورانش جوان).	قوس تکتونیکی در منطقه کیوشو جنوب شرقی ژاپن.	منطقه پشت قوس واقع در شرق کوردیلرا.	فرورانش شمال غربی ورقه اقیانوس آرام به زیر ورقه آسیا.	بر روی منطقه قوس ولکانیکی و در امتداد گسلهای بزرگ (نوع ولکانیسم پس از برخورد).
سن	10 Ma	کرتاسه	کمتر	50-70 Ma	میوسن
پتروژنز	ذوب بخشی ورقه اقیانوسی فرورونده با نرخ ذوب بخشی کم، در فشار زیاد (فشار لازم برای تشکیل گارنت آمفیبولیت).	ذوب بخشی پوسته تحتانی مافیک (فرورانش ورقه و آبودگی پوستهای و همچنین تفریق بلوری پلازیوکلاز و هورنبلند.	ذوب ورقه اقیانوسی فروروننده و متساویاتیسم گوشهای.	از ذوب (بدون آب) پوسته تحتانی در شرایط گوشهای فشار بالای ۱/۲ گیگا پاسکال با باقیمانده آمفیبولیت گارنت.	ذوب بخشی ورقه اقیانوسی فروروننده و سپس تبلور تغیری همراه با آلایش پوستهای (AFC).
Na ₂ O	7.3-8.5	3.6-4.10	Av=4	2-4	3-5
K ₂ O	0.2-0.6	<2	<3	<3	2-3.5
Rb/La	Av=3.5	Av=2.2	Av=2.5	Av=4	Av=2.5
Ba/La	Av=58	Av=14	AV=45	AV=50	AV=48
refrence	Xian, 1994	Kinoshita, 2001	Pablo, 2005	Wang, 2005	Jahangiry, 2004

۵-۶- نتیجه‌گیری

- واژه آداسیت غالباً برای سنگهای اسیدی تا حد واسط (با ترکیب ریولیت و داسیت تا آندزیت) که دارای یک سری ویژگیهای ژئوشیمیایی خاص هستند، به کار می‌رود. منشأ مagmaهای آداسیتی متعدد بوده اما غالباً در اثر ذوب بخشی ورقه اقیانوسی فرورونده و تبلور تفریقی magmaهای به وجود آمده در فشار بالا حاصل می‌شوند.

- مطالعات این تحقیق نشان می‌دهند، magmaهای سازنده سنگهای نیمه عمیق منطقه مورد مطالعه از ذوب بخشی ورقه اقیانوسی فرورونده (فررورانش ورقه اقیانوسی سبزوار به زیر ورقه اقیانوسی دیگر) در یک زون فرورانش قوسی، از طریق نرخ ذوب بخشی متوسط و تبلور تفریقی در فشار بالا حاصل شده است. همچنین بررسی‌ها نشان می‌دهد که ترکیب سنگ منشأ، سنگهای متابازیک (گارنت آمفیبولیت) است. این نتیجه‌گیری با شواهد پتروگرافی نیز تأیید می‌شود.

- magmaهای آداسیتی تفریق یافته در طی صعود به ترازهای بالاتر پوسته با سنگهای میزان آلایش یافته است. شواهد صحرایی (حضور آنکلاتهای پریدوتیتی و توفی - سیلتستونی) و شواهد پتروگرافی (حضور آنکلاتهای میکروگرانولار مافیک) مؤید این امر هستند. شواهد ژئوشیمیایی (مقادیر زیاد پتاسیم و سایر عناصر لیتوفیل بزرگ یون از جمله Sr و Rb) نیز وقوع فرایند آلایش را در magmaهای سازنده این سنگها تأیید می‌کند. بنابراین magmaهای سازنده گنبدها در طی صعود به ترازهای بالاتر یا جایگزینی در نوار افیولیتی متحمل فرایندهای تفریق توأم با آلایش magmaی (AFC) شده‌اند.

نتیجه‌گیری نهایی

- منطقه باشتنی واقع در غرب سبزوار، بخشی از زون افیولیتی سبزوار است که تعداد زیادی گنبدهای نیمه عمیق با ترکیب متعدد در آن زون نفوذ کرده‌اند. قطعاتی از سنگهای میزان شامل توفهای سیلتستونی، ولکانی کلاستها و هارزبورزیتها به صورت آنکلاؤ در این گنبدها یافت می‌شوند.

- ترکیب سنگ شناسی توده‌های نیمه عمیق، از ریولیت، داسیت، تراکی‌داسیت تا آندزیت و تراکی‌آندزیت متغیر است. گنبدهای عمدتاً ریولیتی شامل زردکوهی، ساروق، کلاته‌سادات، کوه سفید، مهر و سفید نهر

می باشند و همچنین گنبدهای شادمان، جفتای، آبرود و جلمبادان دارای ترکیبات آندزیتی، تراکی آندزیتی، داسیتی و تراکی داسیتی می باشند.

- حضور حجم زیادی از قطعات تخریبی نشأت گرفته از این گنبدها در کنگلومرای پلیوسن - پلیستوسن و عدم حضور آنها در واحدهای مارنی میوسن نشان می دهد که این گنبدها در مرز زمانی میوسن - پلیوسن یعنی حدود ۱۲ میلیون سال پیش در سطح زمین رخنمون یافته اند.

- کوارتزهای درشت (با حاشیه خلیج خوردگی) بیوتیتها رشته ای (پیج و تاب خورده) و همچنین هورنبلندهای شکل دار با حاشیه سوخته، از ویژگیهای سنگهای نیمه عمیق منطقه هستند.

- حضور آنکلاوهایی با ترکیب متنوع (ترکیب سنگ میزان)، شواهد پتروگرافی (حضور آنکلاوهای میکروگرانولار مافیک) و شواهد ژئوشیمیایی (غنى شدگی از عناصر پوسته ای) نشان می دهد، مآگمای سازنده گنبدها در طی صعود به ترازهای بالاتر یا جایگزینی در نوار افیولیتی متحمل فرایندهای تفریق و آلایش مآگمایی شده اند.

- سنگهای مورد مطالعه دارای ویژگیهای ژئوشیمیایی آداکیتیها هستند. این آداکیتیها به گروه آداکیتیهای غنی از سیلیس تعلق دارند. آنها دارای ماهیت متالومین هستند و به سری کالک-آلکالن پتاسیم متوسط تا بالا تعلق دارند.

- بررسیهای جامع ویژگیهای زمین شناسی صحرایی، پتروگرافی و ژئوشیمیایی حکایت از آن دارند که مآگمای سازنده گنبدهای نیمه عمیق از طریق ذوب بخشی ورقه یا ورقه های اقیانوسی فرورانده شده (دارای ترکیب سنگ شناسی گارنت آمفیبولیت) ایجاد شده و سپس از طریق تبلور تفریقی و آلایش مآگمایی (AFC) تحول یافته است.

پیشنهادات

- به منظور شناخت کاملتر گنبدهای نیمه عمیق منطقه مورد مطالعه، مطالعات تکمیلی زیر پیشنهاد می گردد:

- انجام آنالیز شیمی نقطه ای برای تعیین ترکیب شیمیایی دقیق کانیها.

- انجام آنالیزهای ایزوتوبی به منظور تعیین سن و منشأ تشکیل سنگهای مورد مطالعه.
- بسط و توسعه دادن بررسیهای صحرایی و آزمایشگاهی به مناطق همچوار و مشابه برای دستیابی به نتیجه‌گیری مطمئن‌تر و دقیق‌تر.

Abstract

Bashtin area, with 150 km² extension is located in the west of Sabzevar, in the Khorasan Razavi provinence. This area is a part of the Sabzevar ophiolitic zone. The mentioned ophiolitic zone and associated rocks intruded by many Andesitic to rhyolitic domes. Some fragments of host rocks which include tuffaceous shale and sandstone, volcaniclastic rocks and harzburgites are found such as enclaves. The presence of a huge volume detritic fragments that originated from these domes, in the Pliocene-Pleistocene conglomerates and their absence in Miocene marl units indicate that the studied domes probably outcropped around the Miocene-Pliocene boundary age. Of course, there are subvolcanic domes with the same composition but younger (up to 2 million years ago) in the north parts means toward Sfaryan– Ghuchan volcanic belt. Subvolcanic or extrusive rocks are so fine grain that, it isn't possible to distinguish the rock forming minerals by unaided eye. The studied rocks mainly show porphyry, gelomeroporphry, microlitic porphyry, porphyroidic and microgranular textures. The mentioned rocks have geochemical characteristics of adakites and belong to high-silica adakites. These rocks have metaluminous nature and belong to high-K calc-alkaline and normal calc- alkaline series. Have been observed trends in different geochemical diagrams (harker diagrams, Index differentiations diagrams and...) confirms the occurrence of fractional crystallization for evolution of the studied rocks. Petrogenetic investigations indicate that these rocks have been produced by medium rate partial melting and fractional crystallization under high pressure conditions. Also, magma producing of the studied rocks have been supposed assimilation and fractional crystallization during ascent to higher levels of the crust or emplacing in the ophiolitic

belt. The presence of the polygenetic enclaves from host rocks in the studied domes, confirms this suggestion.

Keyword: petrology, subvolcanic, domes, adakite, Bashtin, Sabzevar.



Shahrood University of Technology

Faculty of Earth Sciences

MSc thesis

**Petrological and Geochemical investigation of
Subvolcanic domes of Bashtine area (SW of Sabzevar)**

By

Hamideh Salehi Nejad

Supervisors:

Dr. M. Sadeghian

Dr. H. Ghasemi

Advisor:

Dr. F. Fardoost

Spring 2008

منابع فارسی

- آقانباتی، ع، ۱۳۸۳، زمین شناسی ایران، انتشارات سازمان زمین شناسی و اکتشافات معدنی کشور، ۶۲۰ صفحه.
- ادهمی، ف، ۱۳۷۶، پتروگرافی و پترولوزی افیولیت‌های باعجر (سبزوار)، پایان نامه کارشناسی ارشد، دانشگاه تربیت معلم تهران.
- اکرمی، م. عسکری، ع، ۱۳۷۵، نقشه زمین شناسی ۱:۱۰۰۰۰ سلطان آباد، انتشارات سازمان زمین شناسی و اکتشافات معدنی کشور.
- امینی، ا، ۱۳۷۸، گزارش بررسی‌های کانه‌آرایی و فراوری کانسنگ آنتیموان ارغش، طرح اکتشاف طلا، انتشارات سازمان زمین شناسی و اکتشافات معدنی کشور.
- ایدون، م، ۱۳۶۹، مطالعه پتروگرافی نوار افیولیتی شمال سبزوار، دانشگاه شهید چمران اهواز، دانشکده علوم، گروه زمین شناسی، ۱۳۷ صفحه.
- ایزدپناه، پ، ۱۳۷۷، بررسی دورسنجی محدوده ورقه ۱:۱۰۰۰۰ سبزوار، ۳۵ صفحه.

- بازوبندی، م، ۱۳۷۹، مطالعه پتروگرافی و پتولوژی مجموعه دگرگونی سلطان آباد در ارتباط با مجموعه افیولیت ملاتر سبزوار، پایان نامه کارشناسی ارشد، دانشگاه تهران.

- بغدادی، ا، ۱۳۷۹، ویژگی‌های ژئوشیمیایی و پتولوژی در تعیین موقعیت ولکانیک‌های فرومد (شمال غرب سبزوار)، ۳۵ صفحه.

- بهروdi، ا. عمرانی، ج، ۱۹۹۹، نقشه زمین شناسی ۱:۱۰۰۰۰ باشتین، انتشارات سازمان زمین‌شناسی و اکتشافات معدنی کشور.

- تقی‌پور، ش. شیرکوند، م. قناد، ع. دزفولی، ف. ظهرازداده، م. ایزدبان‌فر، ا، ۱۳۶۹، پتروگرافی نوار افیولیتی سبزوار - فرومد، ۱۶۷ صفحه.

- چنانی، ح. سعدونی، ج. کریمی، م. ر، مالگرد، ش، ۱۳۶۹، زمین شناسی و سنگ شناسی محدوده افیولیتی ناحیه سبزوار، دانشگاه شهید چمران اهواز، ۱۱۱ صفحه.

- حسنی پاک، ا، ۱۳۷۷، گزارش اکتشافات ژئوشیمی سیستماتیک در محدوده ورقه ۱:۱۰۰۰۰ سبزوار، ۲۴ صفحه.

- حمزه‌پور، ب، ۱۳۷۹، مختصری راجع به زمین شناسی نیمه جنوبی چهارگوش سبزوار، سازمان زمین شناسی و اکتشافات معدنی کشور، ۳۵ صفحه.

- درگاهی، س، ۱۳۸۶، مآگماتیسم پس از تصادم میوسن در گستره سرچشمه- شهربابک: نقش مآگماتیسم آدکیتی در توسعه کانی‌زایی مس، دانشکده علوم، دانشگاه شهید باهنر کرمان.

- رادفر، ج، ۱۳۸۰، نقشه زمین شناسی ۱:۱۰۰۰۰ آباد، انتشارات سازمان زمین شناسی و اکتشافات معدنی کشور.

- سازمان فضایی کشور، داده‌های دورسنجی منطقه باشتین سبزوار.

- سودی شعار، م، ۱۳۷۵، بررسی پتانسیل یابی کرومیت و بررسی افیولیت سیاه کوه (شمال غرب سبزوار)، رساله کارشناسی ارشد، دانشگاه تهران.

- علیزاده، م. رئیسی، ع، ۱۳۸۱، آزمایش پر عیار سازی انجام شده بر روی منگنز جنوب غربی سبزوار، ۶۰ صفحه.

- فارسی، ز، ۱۳۸۶، پترولوزی و ژئوشیمی توده گرانیتوئیدی چاه سالار (جنوب غرب نیشابور)، پایان نامه کارشناسی، دانشگاه صنعتی شاهرود.

- قاسمی، ح. فتاحی، ا، ۱۳۸۳ ماگماتیسم نئوژن در منطقه سرولايت جنوب قوچان، مجموعه مقالات هشتمین همایش زمین شناسی ایران، دانشگاه صنعتی شاهرود، ۲۹۲-۳۰۲ صفحه.

- قریب، ف. فتویی، ع، ۱۳۸۲، نقشه زمین شناسی ۱:۱۰۰۰۰ جاجرم، انتشارات زمین شناسی و اکتشافاتمعدنی کشور.

- کوهستانیان، ع، ۱۳۷۶، بررسی توده های نفوذی و گرانیتوئیدی الیکومبیوسن کوله سنگی واقع در شمال غرب زاهدان، پایان نامه کارشناسی ارشد، دانشکده علوم، دانشگاه تهران.

- گوهرشاهی، ر، ۱۳۸۰، پترولوزی، ژئوشیمی و تکتونیک توده گرانیتوئیدی مجاور کوه میش واقع در جنوب سبزوار، دانشکده علوم، دانشگاه تربیت معلم، ۱۵۴ صفحه.

- مجیدی، ج، ۱۳۷۸، نقشه زمین شناسی ۱:۱۰۰۰۰ سبزوار، انتشارات سازمان زمین شناسی و اکتشافاتمعدنی کشور.

- مصلحی، ز، ۱۳۸۳، کانی شناسی و پترولوزی رودنژیت های بخشی از افیولیتهای سبزوار (مناطق باجر و سلیمانیه)، پایان نامه کارشناسی ارشد، دانشگاه صنعتی شاهرود.

منابع لاتين

- Aaron, H.N., Beate, K., 2003. Assimilation of granite by basaltic magma at Burnt Lake Lava flow, Medicine Lake volcano, Northern California: decoupling of heat and mass transfer. *Contrib, Mineral, Petrol.*, vol. 99, pp. 320-343.
- Abratis, M., Worner, G., 2001. Ridge collision, slab window formation and flux of Pacific asthenosphere into the Caribbean realm. *Journal of Geology*, vol. 29, pp. 127-130.
- Alavi Tehrani, N., 1975. On the metamorphism in the ophiolitic rock in the Sabzevar region (NE-Iran), report presented Tehran symposium on the geodynamics of southwest Asia.
- Alavi Tehrani, N., 1976. Geology and petrography in the ophiolite range NW of Sabzevar (Khorasan-Iran) with special regard to metamorphism and genetic relation to Iranian ophiolite suite, report No. 15. , pp . 567-599.
- Alavi Tehrani, N., 1977. Sedimentary and structural characteristics of the paleoTethys remnants in northeastern Iran. *Journal of Geology. Soc. of Amer Bull*, Vol. 103, pp. 983-992.
- Alavi Tehrani, N., 1991. Geology and petrography in the ophiolite range NW of Sabzevar (Khorasan-Iran) with special regard to metamorphism and genetic relation to Iranian ophiolite suite, report No. 15. , pp . 567-599.
- Atherton, M.P., Petford, N., 1993. Generation of sodium rich magmas from newly under plated basaltic crust. *Earth and Planetary Science Letters*, vol. 192, pp. 561-570.
- Beate, K., Monzier, M., Spiking, R., Cotton, J., Silva, J., Bourdon, E. Eissen, J.-P., 2001. Mio-Pliocene adakite generation related to flat subduction in Southern Ecuador: the Quimsacocha volcanic center. *Earth and Planetary Science Letters*, vol. 192, pp. 561–570.
- Beraaouz, E.H., 2003. Neoproterozoic granitoids associated with the Bou-Azzer ophiolitic melange (Anti-Atlas, Morocco): evidence of adakitic magmatism in an arc segment at the NW edge of the West-African craton. *Journal of African Earth Sciences*, vol. 39, pp. 285–293.
- Castillo, P.R., 2006. An over view of adakite petrogenesis, Chinese science bulletin, report No. 24, pp. 257-268.
- Condie, K.C., 2005. TTG and adakites: are they both slab melts? In: Ramo, O.T. (Ed.), Granitic Systems– Ilmari Haapala Special Issue. *Lithos*, vol. 80, pp. 33–44.
- Davidson, J.P., De Silva, S.L., Holden, P. Holliday, A.N., 1990. Small-Scale disequilibrium in a magmatic inclusion and its more silicic host. *Journal of Geophysics. Res.*, vol. 95, pp. 17661-17675.
- Defant, M.J., Drummond, M. S., 1995. Mount St. Helens: potential example of the partial melting of the subducted lithosphere in a volcanic arc, *Journal of Geology*, vol. 66. pp 343-345.
- Defant, M.J., Drummond, M.S., 1990. Mount St. Helens: potential example of the partial melting of the subducted lithosphere in a volcanic arc, *Journal of Geology*, vol. 45. PP 575–598.

- Defant, M.J., Drummond, M.S., 1993. Adakites: Some variations on a theme. *Acta Petrologica Sinica*, vol. 23, pp. 189–190.
- Defant, M.J., Kepezhinkas, P., Wang, Q., Zhang, Q. Xiao, L., 2002. Adakites: some variations on a theme. *Acta Petrologica., Sinica*, vol.18, pp. 129–142.
- DePaolu, D.J., 1960. Trace element and isotopic effects of combined wall rock assimilation and fractional crystallization. *Earth and Planetary Science Letters*, vol. 53, pp. 189–202.
- Esperanca, S., Crisci, M., derosa, R., Mazuli R., 1992. The role of The crust in The magmatic evolution of The Island lipari (Aeolian island, Italy). Contributions to Mineralogy to Island Arc. *Journal of Geology*. vol. 86, PP. 323-334.
- Fattah, M., 2003. *Earth and planetary A1193. Science Letters*, vol. 245, pp. 673-684.
- Floyd, p. A., Winchester, J. A., 1975. Magma type and tectonic setting discrimination using immobile elements. *Earth planet. Scince. Letter*, vol. 27, pp. 211-218.
- Froster, H.,1968. Associations of volcanic rocks in the mountain South of Sabzevar (NE-Iran), international geological congress, vol. 2, PP 197-212.
- Gao, S., Rudnick R. L., Yuan H.L., Liu X.M., Liu Y.S., Xu, W.L., Ling W.L., Ayers J., Wang X.C., and Wang Q.H, 2006. Racy cling lower continental crust in the North China craton. *Nature* ,vol. 432, PP. 892–897.
- Garrison, J.P., Davidson, J.M., 2003. Dubious case for slab melting in the Northern volcanic zone of the Andes. *Journal of Geology*, vol. 31, pp. 565–568.
- Gill, J., 1981. Orogenic Andesites and Plate Tectonics. Springer, Berlin, report No.26, pp 390.
- Ghasemi, H. 2006, Petrology and geochemistry of Markooh Neogene volcano, South Quchan, Northeast Iran International conference on continental IAVCEI2006,Guangzhou, China. Plo3.
- Gomez, A., Lagatta, A., Langmuir, C., Goldstein, S., Ortega-Gutierrez, F., Carrasco-Nunez, G., 2003. Temporal control of subduction magmatism in the eastern Trans-Mexican contamination. *Geochem., Geophys., Geosyst.*, vol. 61, pp. 456-459.
- Gutscher, M.A., Maury, R., Eissen, J., Bourdon, E., 2000. Can slab melting be caused by flat subduction? *Journal of Geology*, vol. 28, PP. 535-538.
- Hanson, N., 1991. Petrogenesis of Archean trondhjemites, tonalities and granodiorites from eastern Finland: major and trace element geochemistry. *Journal of Petrol.* vol. 28, pp. 921-953.
- Harker, A., 1909. The natural history of igneous rock, Methuen Co. London.
- Henderson, p., 1982. Rare earth element geochemistry Elsevier science. Publishing company Inc. Evidence from mantle interaction-evidence from mantle xenoliths in the north Kamchatka arc. *Journal of petrology*. vol. 36 , pp 1505-1527.

- Hibbard, M., Sabatiye, J., 1998. The magma mixing origin of mantle feldspars. *Contrib. Mineral. Journal of Petrol.* Vol. 79, pp. 158-170.
- Hou, Z.Q., Gao, Y.F., Qu, X.M., Rui, Z.Y. Mo, X.X. 2004. Origin of adakitic intrusives generated during mid-Miocene east-west extension in southern Tibet. *Earth and Planetary Science Letters* . vol 220. pp 139-155.
- Irvine, T.N., Baragar, W.R.A., 1971. A guide to the chemical classification of the common volcanic rocks can. *Journal of Earth Science*, vol 8. pp. 523–548.
- Jahangiri, A., 2004. Petrological and Geochemical Area Ahar Songoon Granitoids in the NW Iran. *Journal of petrology*. vol. 20, pp. 345-351.
- Jahangiri, A., 2006. Geochemical and geodynamic implications Post-collisional Miocene adakitic volcanism in NW Iran. *Journal of petrology*. vol. 34, pp. 456-467.
- Johnson, K., Barnes, C.G. Miller., C.A., 1997. Petrology, geochemistry, and genesis of high-Al tonalite and trondhjemites of the Cornucopia stock, Blue Mountains, Northeastern Oregon. *Journal of Petrology*, vol. 38, pp.1585-1611.
- Kay, R.W., 1978. Aleutianma gnesian andesites-melts from subducted Pacific ocean crust. *Journal of Volcanol., Geotherm.*, Res. vol. 4, pp. 117–132.
- Kay, R.W., Kay, S.M., 1993. Delamination and delamination magmatism. *Tectonophysics* vol. 219, pp. 177-189.
- Kinoshita, O.S., 2000. Possible manifestations of slab window magmatisms in Cretaceous southwest Japan. *Journal of Petrology*, vol. 38, pp. 1585-1611.
- Kuno, Hisachi., 1975. Differentiation of Hawaiian magmas, japan-nese. *Journal of Geology and Geography*, vol. 28, pp. 193-194.
- Liu, J., Davis, G.A., Lin, Z., 2005. The liaonan metamorphic core complex, southeastern Liaoning province, north China: likely contributor to cretaceous rotation of eastern Liaoning, Korea and Contiguous areas. *Tectonophysics*, vol. 407, pp. 65—80.
- Macpherson, R., 2006. Reaction between slab-derived melts and peridotite in the mantle wedge: experimental constraints at 3-8 GPa. *Chemical Geology*, vol. 160, pp. 335-356.
- Martin, H., 1987. Petrogenesis of Archean trondhjemites, tonalities and granodiorites from eastern Finland: major and trace element geochemistry. *Journal Petrol.* vol. 28, pp 921-953.
- Martin, H., 1994. The Archaean grey genesises and the genesis of continental crust. In: Condie, K.C. (Ed.), Archaean crustal evolution. *Elsevier, Amsterdam*, vol. 27, pp. 205-259.

- Martin, H., Smithies, R.H., Rapp, R., Moyen, J.F., Champion, D., 2002. An over view of adakite, tonalite–trondhjemite–granodiorite (TTG), and sanukitoid: relationships and some implications for crustal evolution. *Lithos*, vol. 79, pp667-689.
- Middlemost, E.A.K., 1994. Naming materials in the magma/igneous rock system Longman Groun. U.K., pp.73-86.
- Mohammad, A. Hassanen, Said, A., 1995. Geochemistry and petrogenesis of Pan-African I-type granitoids at Gable Iglo Ahmar, eastern desert, egypt. *Journal of African Earth sciences*, vol. 22, PP. 29-42.
- Muri, R.J., Weaver, S.D., Bradshaw, J.D., Eby, G.N. Evans., J.A, 1995. Geochemistry of the cretaceous separation point batholith, New Zealand: granitoid magmas formed by melting of mafic lithosphere. *Journal of the Geological Society, London*, vol. 152, pp. 689-701.
- Nagudi, N.O.K., Oberl, C.H., Kurat, G., 2003. Petrography and geochemistry of the Syenogranite, Uganda and implications for its origine. *Journal of African earth Sciences*. Vol. 35, pp. 51-59.
- Oyarzun, R., Marquez, A., Lillo, J., Lopez, I., Rivera, S., 2001. Giantvs small porphyry copper deposits of Cenozoic age in northern Chile: adakitic vs normal calc-alkaline magmatism. *Mineralitzation deposite*. vol.36, pp. 794-798.
- Pablo. S., 2005. Temporal evolution of magmatism in the northern volcanic zone of the Andes: the geology and petrology of cayambe volcanic complex (Ecuador), *Journal of petrolog*, vol. 48 ,pp. 987-994.
- Parda, F., Molnar, P., 1999. Relative motion of the Nazca (Farallon) and South American Plates since Late Cretaceous time. *Tectonics*, pp.233–248.
- Peacock, S.M., 1996. Thermal and petrological structure of subduction zones. In: Bebout, G. E., (Eds) Subduction: Top to Bottom. *Monograph American Geophysical Union*, vol. 96, pp.119–133.
- Peacock, S.M., Rushmer, T., Thompson, A.B., 1994. Partial melting of subducting oceanic crust. *Earth and Planetary Science Letter*, vol. 121, pp. 227-244.
- Pearce .J. A., Harris. B.W., Tindle , A.G.,1984. Trace element of discrimination diagrams for tectonic interpretation of granitic rock . *Journal of petrology* ,vol. 25 , pp. 950-983.
- Peccerillo, R. Taylor S.R., 1976. Geochemisrty of Eocene calc-alkaline volcanic rocks from the Kastamonu area, northern Turkey. *Contrib., Mineral. Petrol*, vol. 58, pp. 63-81.
- Petford, N., Atherton, M., 1996. Na-rich partial melts from newly under plated basaltic crust: the Cordillera Blanca Batholith, Peru. *Journal of Petrol*, Vol. 37, pp. 1491–1521.
- Prouteau, G., Pichavant, M., Maury, R.C., 1999. Evidence for mantle metasomatism by hydrous silicic melts derived from subducted oceanic crust. *Nature*, vol.410,pp. 197–200

- Rahgoshay, M.S., H., 2002. The Nain's ophiolite as an indicator of a paleo-Tethys segment in central Iran. *Journal of Faculty of Earth Sciences, Shahid Beheshti University*, vol. 9, pp. 45-52.
- Richards, J.P., 2002. Discussion on Giant versus small porphyry copper deposits of Cenozoic age in northern Chile: Adakitic versus evidence from mantle interaction-evidence from mantle xenoliths in the north Kamchatka arc. *Juornal of petrology*. vol. 34, PP. 1505-1527.
- Ronald, B., Sterve, W., Nelson, Paule W. Layer Peter J., 2004. Eocene volcanism above a depleted mantle slab. window in southern Alaska Porphyry Copper (Molybdenum) Deposits of China, Beijing, *Journal of Geological Publishing House*, vol. 150, pp. 1-350
- Rowilnson, H.R., 1993. using geochemical data: Evalusion, presentation, And interpretation: *Exess, England, Longman scientcific and The chemical*, 325 pp.
- Sadredine, E., 1974. Geology and petrography in mitteleil des ophiolithzuges nordilich Sabzevar/Khorasan (Iran), pp. 120.
- Sajona, F.G., Maury, R.C., Pubellier, M., Leterrier, J., Bellon, H., Cotton, J., 2000. Magmatic source enrichment by slab-derived melt in a yong post-collision setting centeral Mindano (Philippines). *Lithos*, vol. 54, pp. 173-206.
- Scaillet, M., Evans, G., 1999. Scaillet, B., Evans, J., The 15 June 1999. eruption of Mount Thermal and petrological structure of subduction zones. In: Bebout Subduction: Top to Bottom. *Monograph. American Geophysical Union*, vol.96 , pp. 119–133.
- Schmidt, M.W. Poli, S., 1995. Experimentally based water budget for dehydrating slabs and consequences for arc magma generation. *Earth and Planetary Science Letters*, vol. 163, pp. 361–379.
- Sen, N., Dunn, N.G., 1994. Dehydration melting of a basaltic composition amphibolite at 1.5 and 2.0 Gpa: implications for the origin of adakites, *Contrib., Mineral., Petrol.* vol. 117, pp. 394–409.
- Shand. S.J., 1943. Eruptive rocks their genesis, composition, classification and their relation to ore deposits. Thomas Murby and Co., London, pp. 488.
- Shaw, D.M., 1970. Trace element fractionation during anatexis. *Geoduica et Cosmocluimica Acta*, vol. 34, pp. 273-243.
- Shibata, T., DeLong, S.E., Lyman, p., 1981. Petrographic and chemical characteristics of abyssal tholeiites from Deep sea drilling project leg 63 off Baja California. In: Yeats, R.S., et al., (Eds), Initial Reports of the DSDP, U.S.A, Govt. printing Office, Washington, pp. 987-699.
- Shojaat, B., Hassanipak, A.A., Mobasher, K., Ghazi, A. M., 2003. Petrology geochemistry and tectonics of the Sabzevar ophiolite, north centeral Iran. *Jorunal of Asian Earth Sciences*, vol. 34, pp. 1-15.
- Sorensen, S.S. Grossman, J.N., 1989. Enrichment of trace elements in garnet amphibolites from a paleo-subduction zone: Catalina schisat, southern California. *Geochimica et al, Cosmochimica Acta*, vol. 53, pp. 3155-3177.

- Spies. O., Lencsh. G., Mihm, A., 1980. Geochemistry of the post-ophiolitic tertiary volcanics between Sabzevar and Guchan/NE-Iran. Internal report of geological and mining exploration of Iran, pp. 248-263
- Stern, C.R. Kilian, R., 1996. Role of the subducted slab mantle wedge and continental crust in the generation of adakites from the evidence from mantle interaction-evidence from mantle xenoliths in the north Kamchatka arc. *Journal of petrology*, vol. 36, pp.1505-1527.
- Stevenson, J.R, Sorensen, S.S. 2000. Geochemistry of late Paleozoic mafic igneous rocks from the Kuerti area, Xinjiang, northwest China: implications for backarc mantle evolution. *Journal of Petrology*, vol. 33, pp.156–169.
- Sun, S.S., McDonough, W.F., 1989. Chemical and isotopic systematics of oceanic basalts; implications for mantle composition and processes. In: Saunders, A.D., Norry, M.J. (Eds.), magmatism in the ocean Basins. *Geol. Soc. London Special Publication*, vol.42, pp.313-345.
- Thoronton, C.P., Tattele. O.F., 1960. Chemistry of igneous rocks: Differentiation index, Am. *Journal of Scince*. vol. 258. pp. 664-684.
- Varol, S., 2007. Igneous Petrogenesis, Tectonic Approach Islan arc Anatoly (Ankara), adakitic rock. *Journal of geology*, vol. 43. pp. 46-49.
- Wang, Y.J., Liao, C. L., Fan, W. Peng, T.P., 2004. Early Mesozoic OIB-type alkaline in basalt in central Jiangxi Province and its tectonic implication .*Journal of Geochemica*, vol. 33, pp. 109-117.
- Wilson, M., 1989. Igneous petrogenesis: a global tectonic approach. London: Chapman and Hall, pp. 466.
- Wood, D.A., 1979. A variably veined sub oceanic upper mantel-genetic significance for mid-ocean ride basalts from geochemical evidence. *Journal of Geology*, vol.7, pp.499-503.
- Xian, X.L., Li, X.H., Xu, J.F., Li, W.X., Zhao, Z.H., Wang, Q., 1994. Extremely high-Mg adakite-like magmas derived from alkali-rich basaltic underplate: the late cretaceous Zhantang andesites in the Huichang Basin, SE China. *Journal of Geochemistry*, vol.37, PP.233-252.
- Yogodzinski, G.M., Kay, R.W., Volynets, O.N., Koloskov, A.V. Kay, S.M., 1995. Magnesian andesite in the western Aleutian Komandorsky region: implication for slab melting and process in the mantle wedge. *Journal of Geology*, vol. 107, pp. 505-519.
- Zhai, M.G., 2004. Time range of Mesozoic tectonic regime inversion in eastern North China Block. *Scince China Ser D-Earth Scince*, vol. 47, pp.151—159.
- Zhu, G., Wang, D.X., 1983. Petrogenesis of adakitic porphyries in an extensional Tectonic Setting: Dexing, South China: Implications for the Genesis of Porphyry Copper Mineralization. *Journal of petrology*, vol. 17, pp. 457-459

[

